

UNIVERSITÉ DU QUÉBEC

MÉMOIRE PRÉSENTÉ À  
L'UNIVERSITÉ DU QUÉBEC À TROIS-RIVIÈRES

COMME EXIGENCE PARTIELLE  
DE LA MAÎTRISE EN ÉLECTRONIQUE INDUSTRIELLE

PAR  
LOUIS LEMIRE

ÉTALONNAGE STATIQUE D'UN SYSTÈME DE MESURE À FIBRE OPTIQUE

DÉCEMBRE 1994

Université du Québec à Trois-Rivières

Service de la bibliothèque

Avertissement

L'auteur de ce mémoire ou de cette thèse a autorisé l'Université du Québec à Trois-Rivières à diffuser, à des fins non lucratives, une copie de son mémoire ou de sa thèse.

Cette diffusion n'entraîne pas une renonciation de la part de l'auteur à ses droits de propriété intellectuelle, incluant le droit d'auteur, sur ce mémoire ou cette thèse. Notamment, la reproduction ou la publication de la totalité ou d'une partie importante de ce mémoire ou de cette thèse requiert son autorisation.

***"À MES PARENTS ET À MON FRÈRE"***

## RÉSUMÉ

Dans un processus de mesure, la reconstruction d'une mesurande consiste en une série de transformations du résultat de conversion du signal de mesure (résultat brut de mesure) en résultat final de mesure (conversion N/N). Dans des cas de mesure plus sophistiqués, les méthodes numériques de la reconstitution sont utilisées par exemple, pour l'amélioration de la qualité des données spectrométriques, la correction dynamique des capteurs, l'interprétation des données sismiques et l'égalisation dans des canaux de télécommunications. L'élément clef dans la reconstitution est le modèle mathématique de la relation entre des signaux  $x$  et  $y$ . La reconstitution est en général, basé sur le modèle mathématique de la relation entre le résultat brut de mesure et la mesurande. Ce modèle est identifié et estimé pendant le processus d'étalonnage.

Ce projet de recherche est dédié à l'application des fonctions spline à l'étalonnage d'un système de mesure électrique de la pression, utilisant les nouveaux capteurs polarimétriques à fibres optique. Le cas étudié représente un cas statique fortement non-linéaire.

La première partie de ce mémoire est consacrée à la description du système de mesure étudié, utilisant trois capteurs à fibre optique dont les signaux de sortie convertis en tension électrique, constituent la base numérique pour la reconstitution de la pression mesurée.

Par la suite, nous présenterons un résumé de différentes méthodes numériques permettant l'étalonnage d'un système de mesure dans un cas statique et non-linéaire.

Les développements des différents algorithmes basés sur les fonctions spline pour l'étalonnage statique du système et leur étude, constituent la partie principale du travail. La validation à l'aide des données synthétiques, a permis de déterminer l'algorithme le plus performant. Par la suite, cet algorithme fut testé avec des données expérimentales.

Les résultats de ce travail ont confirmé l'efficacité de l'approche à l'étalonnage d'un système de mesure statique non-linéaire basé sur les fonctions spline. Les résultats obtenus ont servi dans le projet de recherche (UQAH/UQTR/CRSNG) concernant le développement des systèmes de mesure utilisant les capteurs en fibres optiques et ils ont permis de compléter un article concernant l'étalonnage de ce système de mesure, publié dans l'IEEE Transactions on Instrumentation and Measurement (avril 1992). Ces résultats peuvent être aussi utiles pour l'étalonnage d'autres systèmes de mesure dans le cas statique et non-linéaire.

## **REMERCIEMENTS**

Je tiens d'abord à remercier mon directeur de thèse, Pr Andrzej Barwicz, ainsi que mon co-directeur, Pr Roman Z. Morawski, pour les conseils qu'ils m'ont donnés tout au long de ce travail.

Je remercie également M. Daniel Massicotte , M. Jean-Caude Desgagné et M. Nicolas Bonnet pour les encouragements et le soutien moral qu'ils ont su m'apporter tout au long de ce travail.

Enfin je désire exprimer ma reconnaissance pour les organismes qui m'ont supporté financièrement lors de mes études sur ce projet soit les fonds F.C.A.R. et les fonds du C. E. U. .

## TABLE DES MATIÈRES

RÉSUMÉ .....	iii
REMERCIEMENTS .....	v
TABLE DES MATIÈRES .....	vi
LISTE DES FIGURES .....	ix
LISTE DES TABLEAUX .....	xviii
 INTRODUCTION.....	 1
 CHAPITRE 1: DESCRIPTION DU SYSTÈME DE MESURE DE PRESSION À FIBRE OPTIQUE .....	  4
1.1) Description du capteur de pression à fibre optique.....	4
1.2) Stratégie de mesure .....	8
1.3) Description du système de mesure .....	11
1.4) Sources d'erreurs .....	13
 CHAPITRE 2: MÉTHODES D'ÉTALONNAGES STATIQUES.....	 16
2.1) Méthodes d'étalonnages dites paramétrées.....	19
2.1.1) Méthodes des moindres carrés linéaires .....	19
2.1.2) Méthode des moindres carrés non-linéaires.....	21
2.2) Méthodes d'étalonnages dites non-paramétrées .....	24

2.2.1) Méthodes non-paramétrées avec données non bruitées .....	25
2.2.1.1) Interpolations polynômiales.....	25
2.2.1.2) Interpolation spline.....	29
2.2.2) Méthodes non paramétrés avec données bruitées.....	34
2.2.2.1) Splines de lissage .....	34
2.2.2.2) Spline moindre carré .....	41
 CHAPITRE 3: ALGORITHMES D'ÉTALONNAGE BASÉS SUR LES FONCTIONS SPLINES .....	45
3.1) Description des algorithmes d'étalonnage .....	45
3.2) Description de la méthode d'évaluation des algorithmes.....	59
3.3) Résultats obtenus pour les procédures PCR1, PCR2 et PCR3 .....	63
3.4) Choix d'un algorithme.....	73
 CHAPITRE 4: RÉSULTATS PRATIQUES.....	74
4.1) Présentation des données réelles.....	74
4.2) Utilisation des données réelles .....	75
4.3) Résultats pratiques obtenus pour la procédure PCR3.....	77
4.4) Discussion.....	79
 CONCLUSION .....	81
 BIBLIOGRAPHIE.....	83



ANNEXE A .....	87
ANNEXE B .....	158

## **LISTE DES FIGURES**

Figure 1.1	Les axes et le plan de propagation de la lumière par une fibre optique .....	4
Figure 1.2	Configuration d'un capteur à fibre optique .....	5
Figure 1.3	Signal électrique en fonction de la pression pour deux longueurs de fibres différentes .....	6
Figure 1.4	Représentation de l'erreur de mesure de la pression .....	7
Figure 1.5	Caractéristique du capteur pour différentes températures et une pression constante .....	8
Figure 1.6	Caractéristique des trois capteurs nécessaires pour le calcul de la pression .....	9
Figure 1.7	Sensibilité du guide et d'un capteur face aux variations de température .....	10
Figure 1.8	Représentation de l'erreur relative avec deux capteurs déphasés de 90° .....	10

Figure 1.9	Décomposition fonctionnelle du système de mesure de pression .....	12
Figure 2.1	Système à identifier, ici $n$ est le nombre d'observations .....	16
Figure 2.2	Interpolation polynômiale .....	26
Figure 3.1	Caractéristique des trois capteurs de pression pour une certaine température .....	49
Figure 3.2	Tension en fonction de la température pour le capteur choisit .....	50
Figure 3.3	Tension en fonction de la température pour le guide .....	50
Figure 3.4	Tension en fonction de la pression pour le capteur choisit .....	50
Figure 3.5	Tension en fonction de la pression pour le guide .....	50
Figure 3.6	Caractéristique monotone de deux capteurs de références .....	53
Figure 3.7	Caractéristique monotone combinée des deux capteurs .....	53
Figure 3.8	Graphique représentant différents fragments de caractéristique pour différentes températures .....	56

Figure 3.9	Graphique représentant la reconstruction de la pression à partir de la température.....	56
Figure 3.10	Dépendance de l'erreur relative limite en fonction du nombre de pressions (NP) utilisées pour l'étalonnage par PCR1: $\Delta p=0.0$ MPa, $\Delta T=0.0$ °C, $\Delta v=0.0$ V.....	64
Figure 3.11	Dépendance de l'erreur relative limite en fonction du nombre de températures (NT) utilisées pour l'étalonnage par PCR1: $\Delta p=0.0$ MPa, $\Delta T=0.0$ °C, $\Delta v=0.0$ V.....	64
Figure 3.12	Dépendance de l'erreur relative limite en fonction du nombre de pressions (NP) utilisées pour l'étalonnage par PCR1: $\Delta p=0.01$ MPa, $\Delta T=0.01$ °C, $\Delta v=0.002$ V.....	65
Figure 3.13	Dépendance de l'erreur relative limite en fonction du nombre de températures (NT) utilisées pour l'étalonnage par PCR1: $\Delta p=0.01$ MPa, $\Delta T=0.01$ °C, $\Delta v=0.002$ V.....	65
Figure 3.14	Dépendance de l'erreur relative limite en fonction du nombre de pressions (NP) utilisées pour l'étalonnage par PCR1: $\Delta p=0.0$ MPa, $\Delta T=0.0$ °C, $\Delta v=0.0$ V.....	65

- Figure 3.15 Dépendance de l'erreur relative limite en fonction du nombre de températures (NT) utilisées pour l'étalonnage par PCR1:  
 $\Delta p=0.0 \text{ MPa}$ ,  $\Delta T=0.0 \text{ }^{\circ}\text{C}$ ,  $\Delta v=0.0 \text{ V}$ .....65
- Figure 3.16 Dépendance de l'erreur relative limite en fonction du nombre de pressions (NP) utilisées pour l'étalonnage par PCR1:  
 $\Delta p=0.01 \text{ MPa}$ ,  $\Delta T=0.01 \text{ }^{\circ}\text{C}$ ,  $\Delta v=0.002 \text{ V}$ .....66
- Figure 3.17 Dépendance de l'erreur relative limite en fonction du nombre de températures (NT) utilisées pour l'étalonnage par PCR1:  
 $\Delta p=0.01 \text{ MPa}$ ,  $\Delta T=0.01 \text{ }^{\circ}\text{C}$ ,  $\Delta v=0.002 \text{ V}$ .....66
- Figure 3.18 Dépendance de l'erreur relative limite en fonction du nombre de pressions (NP) utilisées pour l'étalonnage par PCR1:  
 $\Delta p=0.01 \text{ MPa}$ ,  $\Delta T=0.01 \text{ }^{\circ}\text{C}$ ,  $\Delta v=0.002 \text{ V}$ .....66
- Figure 3.19 Dépendance de l'erreur relative limite en fonction du nombre de températures (NT) utilisées pour l'étalonnage par PCR1:  
 $\Delta p=0.01 \text{ MPa}$ ,  $\Delta T=0.01 \text{ }^{\circ}\text{C}$ ,  $\Delta v=0.002 \text{ V}$ .....66
- Figure 3.20 Dépendance de l'erreur relative limite en fonction du nombre de pressions (NP) utilisées pour l'étalonnage par PCR1:  
 $\Delta p=0.05 \text{ MPa}$ ,  $\Delta T=0.05 \text{ }^{\circ}\text{C}$ ,  $\Delta v=0.002 \text{ V}$ .....67

- Figure 3.21 Dépendance de l'erreur relative limite en fonction du nombre de températures (NT) utilisées pour l'étalonnage par PCR1:  
 $\Delta p = 0.05 \text{ MPa}$ ,  $\Delta T = 0.05 \text{ }^{\circ}\text{C}$ ,  $\Delta v = 0.002 \text{ V}$  .....67
- Figure 3.22 Dépendance de l'erreur relative limite en fonction du nombre de pressions (NP) utilisées pour l'étalonnage par PCR2:  
 $\Delta p = 0.0 \text{ MPa}$ ,  $\Delta T = 0.0 \text{ }^{\circ}\text{C}$ ,  $\Delta v = 0.0 \text{ V}$  .....68
- Figure 3.23 Dépendance de l'erreur relative limite en fonction du nombre de températures (NT) utilisées pour l'étalonnage par PCR2:  
 $\Delta p = 0.0 \text{ MPa}$ ,  $\Delta T = 0.0 \text{ }^{\circ}\text{C}$ ,  $\Delta v = 0.0 \text{ V}$  .....68
- Figure 3.24 Dépendance de l'erreur relative limite en fonction du nombre de pressions (NP) utilisées pour l'étalonnage par PCR2:  
 $\Delta p = 0.01 \text{ MPa}$ ,  $\Delta T = 0.01 \text{ }^{\circ}\text{C}$ ,  $\Delta v = 0.002 \text{ V}$  .....68
- Figure 3.25 Dépendance de l'erreur relative limite en fonction du nombre de températures (NT) utilisées pour l'étalonnage par PCR2:  
 $\Delta p = 0.01 \text{ MPa}$ ,  $\Delta T = 0.01 \text{ }^{\circ}\text{C}$ ,  $\Delta v = 0.002 \text{ V}$  .....68
- Figure 3.26 Dépendance de l'erreur relative limite en fonction du nombre de pressions (NP) utilisées pour l'étalonnage par PCR2:  
 $\Delta p = 0.0 \text{ MPa}$ ,  $\Delta T = 0.0 \text{ }^{\circ}\text{C}$ ,  $\Delta v = 0.0 \text{ V}$  .....69

- Figure 3.27 Dépendance de l'erreur relative limite en fonction du nombre de températures (NT) utilisées pour l'étalonnage par PCR2:  
 $\Delta p = 0.0 \text{ MPa}$ ,  $\Delta T = 0.0 \text{ }^{\circ}\text{C}$ ,  $\Delta v = 0.0 \text{ V}$  ..... 69
- Figure 3.28 Dépendance de l'erreur relative limite en fonction du nombre de pressions (NP) utilisées pour l'étalonnage par PCR2:  
 $\Delta p = 0.01 \text{ MPa}$ ,  $\Delta T = 0.01 \text{ }^{\circ}\text{C}$ ,  $\Delta v = 0.002 \text{ V}$  ..... 69
- Figure 3.29 Dépendance de l'erreur relative limite en fonction du nombre de températures (NT) utilisées pour l'étalonnage par PCR2:  
 $\Delta p = 0.01 \text{ MPa}$ ,  $\Delta T = 0.01 \text{ }^{\circ}\text{C}$ ,  $\Delta v = 0.002 \text{ V}$  ..... 69
- Figure 3.30 Dépendance de l'erreur relative limite en fonction du nombre de pressions (NP) utilisées pour l'étalonnage par PCR2:  
 $\Delta p = 0.01 \text{ MPa}$ ,  $\Delta T = 0.01 \text{ }^{\circ}\text{C}$ ,  $\Delta v = 0.002 \text{ V}$  ..... 70
- Figure 3.31 Dépendance de l'erreur relative limite en fonction du nombre de températures (NT) utilisées pour l'étalonnage par PCR2:  
 $\Delta p = 0.01 \text{ MPa}$ ,  $\Delta T = 0.01 \text{ }^{\circ}\text{C}$ ,  $\Delta v = 0.002 \text{ V}$  ..... 70
- Figure 3.32 Dépendance de l'erreur relative limite en fonction du nombre de pressions (NP) utilisées pour l'étalonnage par PCR2:  
 $\Delta p = 0.05 \text{ MPa}$ ,  $\Delta T = 0.05^{\circ}\text{C}$ ,  $\Delta v = 0.002 \text{ V}$  ..... 70

Figure 3.33	Dépendance de l'erreur relative limite en fonction du nombre de températures (NT) utilisées pour l'étalonnage par PCR2: $\Delta p=0.05$ MPa, $\Delta T=0.05$ °C, $\Delta v=0.002$ V.....	70
Figure 3.34	Dépendance de l'erreur relative limite en fonction du nombre de pressions (NP) utilisées pour l'étalonnage par PCR3: $\Delta p=0.1$ MPa, $\Delta T=0.05$ °C, $\Delta v=0.002$ V.....	71
Figure 3.35	Dépendance de l'erreur relative limite en fonction du nombre de températures (NT) utilisées pour l'étalonnage par PCR3: $\Delta p=0.1$ MPa, $\Delta T=0.05$ °C, $\Delta v=0.002$ V.....	71
Figure 3.36	Dépendance de l'erreur relative limite en fonction du nombre de pressions (NP) utilisées pour l'étalonnage par PCR3: $\Delta p=0.01$ MPa, $\Delta T=0.01$ °C, $\Delta v=0.002$ V.....	72
Figure 3.37	Dépendance de l'erreur relative limite en fonction du nombre de températures (NT) utilisées pour l'étalonnage par PCR3: $\Delta p=0.01$ MPa, $\Delta T=0.01$ °C, $\Delta v=0.002$ V.....	72
Figure 4.1	Données réelles pour un capteur de référence: tension de sortie en fonction de la pression pour différentes températures.....	75



Figure 4.2	Données réelles pour un capteur de référence: tension de sortie en fonction de la température pour différentes pressions.....	75
Figure 4.3	Courbes obtenues à partir de splines créées à partir de données réelles. Ces courbes représentent la tension en fonction de la pression pour différentes températures.....	76
Figure 4.4	Courbes obtenues à partir de splines créées à partir de données réelles. Ces courbes représentent la tension en fonction de la température pour différentes pressions.....	76
Figure 4.5	Dépendance de l'erreur relative limite en fonction du nombre de pressions réelles (NP) utilisées pour l'étalonnage: $\Delta p = 0.01 \text{ MPa}$ , $\Delta T = 0.01 \text{ }^\circ\text{C}$ , $\Delta v = 0.002 \text{ V}$ .....	77
Figure 4.6	Dépendance de l'erreur relative limite en fonction du nombre de températures réelles (NT) utilisées pour l'étalonnage: $\Delta p = 0.01 \text{ MPa}$ , $\Delta T = 0.01 \text{ }^\circ\text{C}$ , $\Delta v = 0.002 \text{ V}$ .....	77
Figure 4.7	Dépendance de l'erreur relative limite en fonction du nombre de pressions réelles (NP) utilisées pour l'étalonnage $\Delta p = 0.05 \text{ MPa}$ , $\Delta T = 0.01 \text{ }^\circ\text{C}$ , $\Delta v = 0.002 \text{ V}$ .....	78

- Figure 4.8 Dépendance de l'erreur relative limite en fonction du nombre de températures réelles (NT) utilisées pour l'étalonnage:  
 $\Delta p = 0.05 \text{ MPa}$ ,  $\Delta T = 0.01 \text{ }^{\circ}\text{C}$ ,  $\Delta v = 0.002 \text{ V}$  .....78
- Figure 4.9 Dépendance de l'erreur relative limite en fonction du nombre de pressions réelles (NP) utilisées pour l'étalonnage:  
 $\Delta p = 0.1 \text{ MPa}$ ,  $\Delta T = 0.01 \text{ }^{\circ}\text{C}$ ,  $\Delta v = 0.002 \text{ V}$  .....78
- Figure 4.10 Dépendance de l'erreur relative limite en fonction du nombre de températures réelles (NT) utilisées pour l'étalonnage:  
 $\Delta p = 0.1 \text{ MPa}$ ,  $\Delta T = 0.01 \text{ }^{\circ}\text{C}$ ,  $\Delta v = 0.002 \text{ V}$  .....78

**LISTE DES TABLEAUX**

TABLE 1.	Valeur des paramètres du modèle (3.44) pour les capteurs	
	C1, C2, Cg .....	60

## INTRODUCTION

L'homme, depuis l'aube des temps, cherche à comprendre son environnement. Cette quête du savoir l'a obligé à développer des systèmes lui permettant de convertir des grandeurs physiques en unités numériques et traitables. Ces systèmes sont appelés ***systèmes de mesure***. La grandeur physique qui caractérise un objet de la mesure est désigné comme le mesurande [ASC87] . L'ensemble des opérations expérimentales qui concurent à la connaissance de la valeur numérique du mesurande constitue son mesurage. Lorsque la mesure utilise des moyens électroniques de traitement du signal, il est nécessaire de produire à partir du mesurande une grandeur électrique qui en soit une représentation aussi exacte que possible, ceci est un signal de mesure. D'où un signal de mesure représente une information accessible et traitable sur un phénomène physique.

Pour avoir la capacité d'interpréter le signal de mesure, il faut pour cela déterminer une relation reliant le signal de mesure au mesurande, bref il faut un moyen d'identifier un modèle mathématique du système. Ceci est l'étalonnage du système. D'où l'étalonnage est un processus permettant d'aboutir à des lois mathématiques reliant le signal de mesure au mesurande. L'étalonnage peut se faire de différentes façons soit par exemple par une corrélation mathématique, par un calcul de paramètres, une convolution de deux signaux , etc. Lorsque le temps n'est pas impliqué dans le modèle mathématique reliant le signal de mesure au

mesurande, l'étalonnage est dit statique et ce modèle a la forme d'une fonction qui doit être approximée.

Les méthodes d'approximation prirent formellement naissance au début du 18<sup>ième</sup> siècle . Plus particulièrement en 1823 quand Gauss publia un ouvrage intitulé "*Theoria Combinationes* " . Cet ouvrage présenta la méthode des moindres carrés. Cet méthode est à la base de plusieurs techniques d'approximation dites modernes.

Le but de cet ouvrage est d'étalonner un transducteur de pression composé de trois capteurs à fibre optique. Comme la caractéristique statique d'un capteur est hautement non-linéaire, son approximation se fera à l'aide d'une méthode non-paramétrée de type spline. Un principe de mesure utilisant trois capteurs de pressions à fibre optique fût présenté dans [BAR90a]. Ce principe sera repris et ajusté pour qu'il puisse être utilisé avec des méthodes non-paramétrées.

Donc la problématique consiste à élaborer différents algorithmes permettant d'approximer le mesurande à l'aide de signaux de mesure provenant de trois capteurs de pression, d'évaluer les performances de ces algorithmes et vérifier l'algorithme le plus performant en utilisant des données réelles.

Cet ouvrage est divisé en quatre chapitres. Le premier chapitre concerne la description du système de mesure avec les capteurs à fibre optique. Le deuxième chapitre porte sur les différentes méthodes d'étalonnages. Le troisième compare différents algorithmes d'étalonnage basés sur les fonctions splines pour le capteur de pression à fibre optique. Finalement le quatrième chapitre présente

les résultats pratiques obtenues pour l'algorithme présentant le meilleur résultat de l'étude comparative du chapitre 3.

## CHAPITRE 1

### DESCRIPTION DU SYSTÈME DE MESURE DE PRESSION À FIBRE OPTIQUE

#### 1.1) Description du capteur de pression à fibre optique

Le capteur de pression est une fibre optique hautement biréfringente qui peut être vue comme une fibre interférométrique de type Mach-Zehnder qui possède deux modes de polarisations différents [BOC89].

Les fibres hautement biréfringentes (HB) peuvent maintenir un état de polarisation linéaire seulement si la lumière est émise dans un plan parallèle à un des deux axes principaux de la fibre. Ces axes possèdent un indice de réfraction légèrement différent. Par conséquent les deux plans perpendiculaires de polarisation ont différentes constantes de propagation ( figure 1.1). Pour une

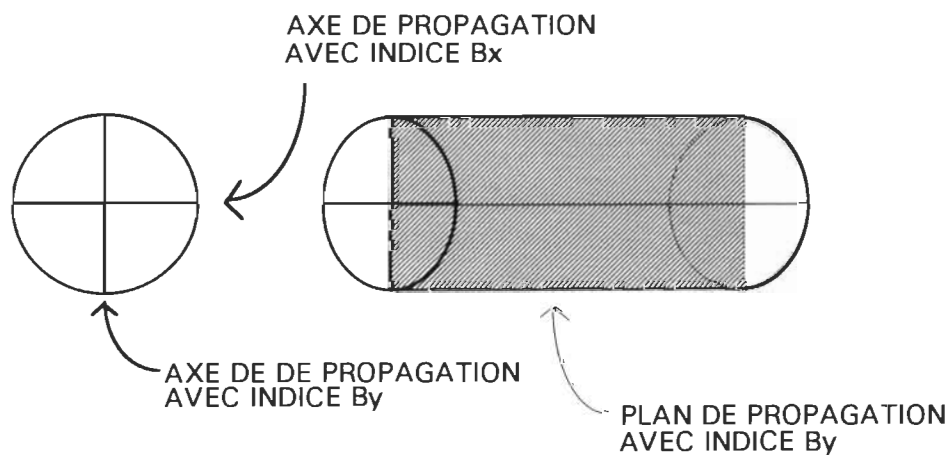


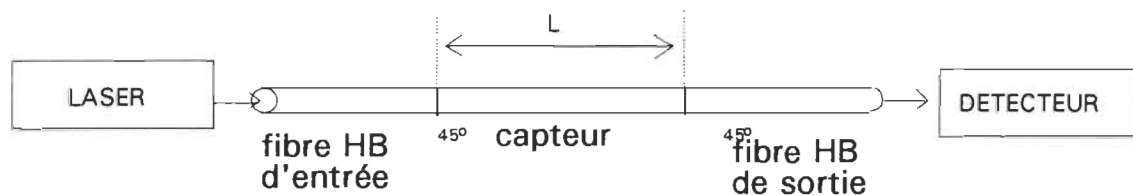
Figure 1.1 Les axes et le plan de propagation de la lumière par une fibre optique

direction de polarisation différente des deux axes de polarisation, la fibre HB est caractérisée par un indice de biréfringence  $B$  et une longueur de battement  $L_b$  définies de façon suivante:

$$B = \frac{\lambda}{L_b}, \quad L_b = \frac{2\pi}{\beta_x - \beta_y} \quad (1.1)$$

où  $\lambda$  est la longueur d'onde de la lumière,  $\beta_x$  et  $\beta_y$  sont les constantes de propagation pour les deux modes de polarisation linéaire et orthogonale de la fibre. L'état de la polarisation tourne suivant la direction de propagation de la lumière. Ici  $L_b$  est un paramètre représentant la longueur de battement et est défini par deux points d'égale phase sur la fibre. La longueur de battement  $L_b$  rend la fibre sensible à la pression et lorsqu'une pression est appliquée, cette pression augmente ou diminue la biréfringence de la fibre. D'où, si la lumière suit un plan différent des deux plans de propagation, l'intensité de la lumière devient sensible à la pression [BOC90].

La figure 1.2 montre une configuration possible pour l'utilisation du capteur.

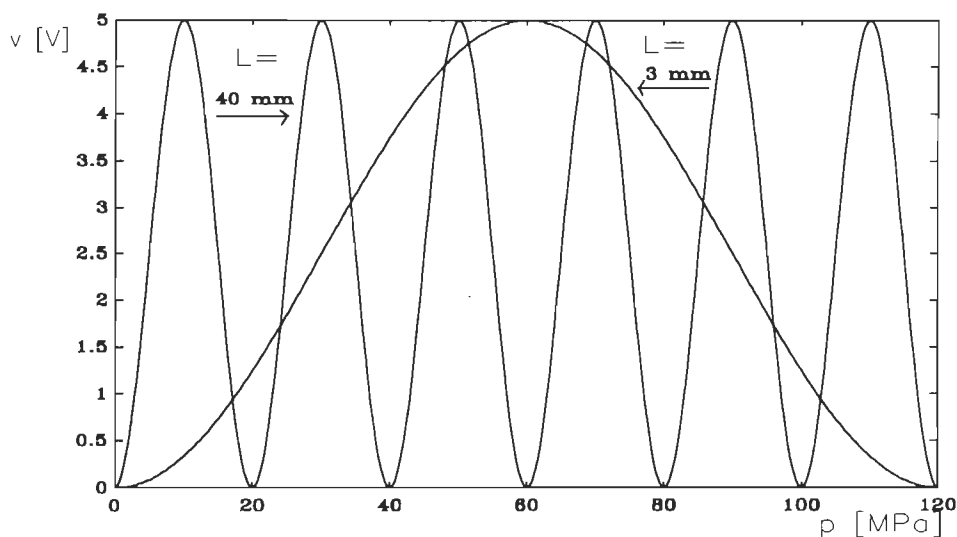


**Figure 1.2** Configuration d'un capteur à fibre optique

Le fonctionnement du capteur est comme suit: Le laser envoie une lumière monochromatique qui suit un des plans de polarisation de la fibre. Ceci est représenté sur la figure 1.2 par la partie *fibre HB d'entrée* [BOC89]. Par ce fait la



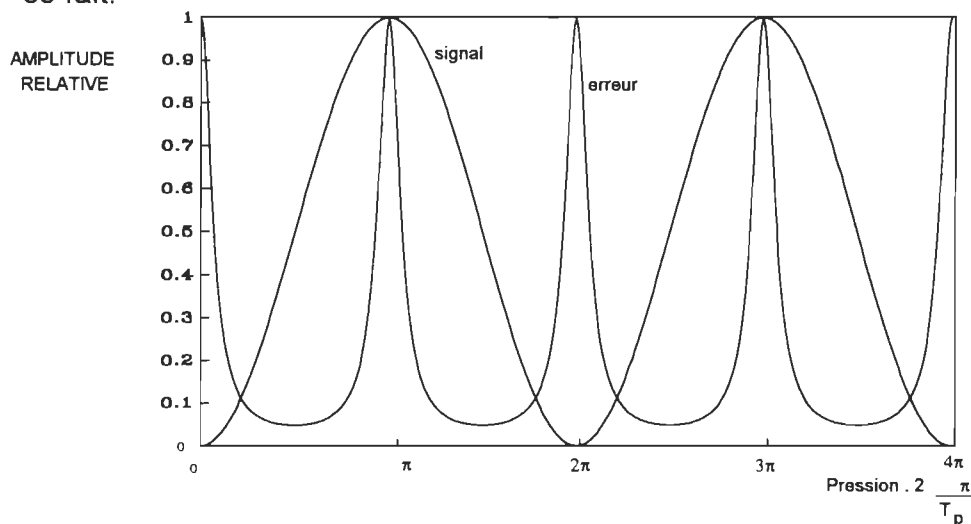
lumière est faiblement affectée par la pression. Lorsqu'une longueur  $L$  de fibre est ajoutée avec un angle de  $45^\circ$  entre les axes de polarisation, ceci fait que la lumière suit un axe de propagation qui est à  $45^\circ$  des axes principaux et en conséquence l'intensité de la lumière devient sensible aux perturbations tel la pression. Pour récupérer le signal lumineux, on ajoute une fibre avec  $-45^\circ$  entre les axes de polarisation de la fibre  $L$  et de la fibre HB de sortie. Le signal lumineux recueilli par le détecteur est transformé en un signal électrique. La dépendance de ce signal en fonction de la pression est quasi-sinusoïdale et la période de la sinusoïde est fonction de la longueur  $L$  de la fibre. Pour les besoins de simulation nous allons considérer cette caractéristique comme étant sinusoïdale. La figure 1.3 montre le signal électrique en fonction de la pression pour deux longueurs  $L$  différentes.



**Figure 1.3** Signal électrique en fonction de la pression pour deux longueurs de fibre différentes

Comme notre but est de mesurer la pression, alors il faut considérer la possibilité d'inverser la caractéristique  $v=f(p)$ . Si nous observons la figure 1.3,

nous observons deux contraintes importantes. La première contrainte est que la caractéristique n'est pas monotone. Ceci fait qu'il est impossible d'inverser  $f(p)$ . La deuxième contrainte est que la fonction possède des extrémums et que ces extrémums engendrent une grande erreur de calcul. Ceci peut être résonné de la façon suivante: Si la tension recueillie possède une erreur de mesure  $\Delta v$ , alors cette erreur de mesure engendre une erreur de calcul sur la pression de valeur  $\Delta p$  et cette erreur sur la pression est d'autant plus élevée que la pente du signal est faible. Si nous observons la figure 1.3 nous constatons que les endroits où la pente est minimale sont aux extrémums du signal. La figure 1.4 représente bien ce fait.

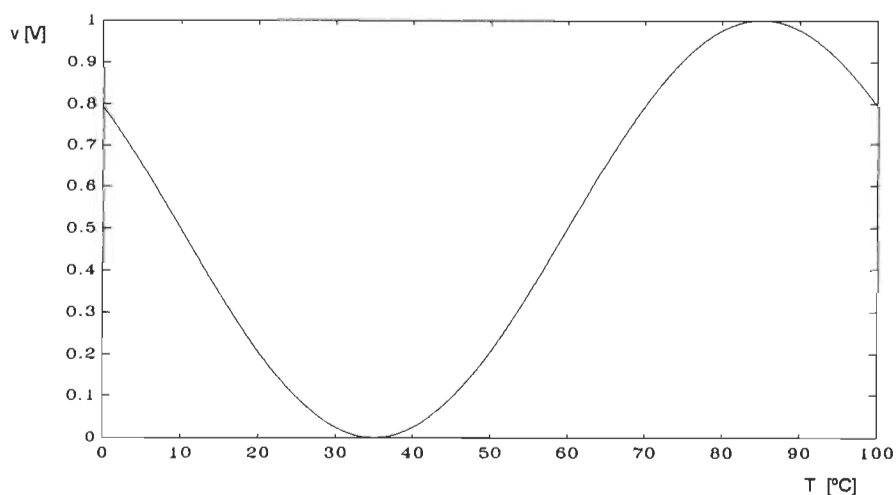


**Figure 1.4** Représentation de l'erreur de mesure de la pression

La figure 1.4 montre que l'erreur est maximale aux extrémums du sinus. Donc si un système de mesure est développé avec uniquement un capteur, l'erreur sur la mesure de la pression ne sera pas la même pour une plage de pression considérée. Ceci est inacceptable parce qu'un bon système de mesure doit fournir une valeur du mesurande avec une erreur relativement constante sur la

plage de mesure. La prochaine section présente une façon adéquate de contourner ce problème.

Comme nous venons de le montrer, le capteur à fibre optique est sensible à la pression, ce qui est essentiel lorsqu'on veut développer un système pour la mesure de pressions. Mais en plus d'être sensible à la pression, il est sensible à la température et de façon non négligeable [BOC89]. La figure 1.5 présente la variation de la tension en fonction de la température pour une pression donnée.



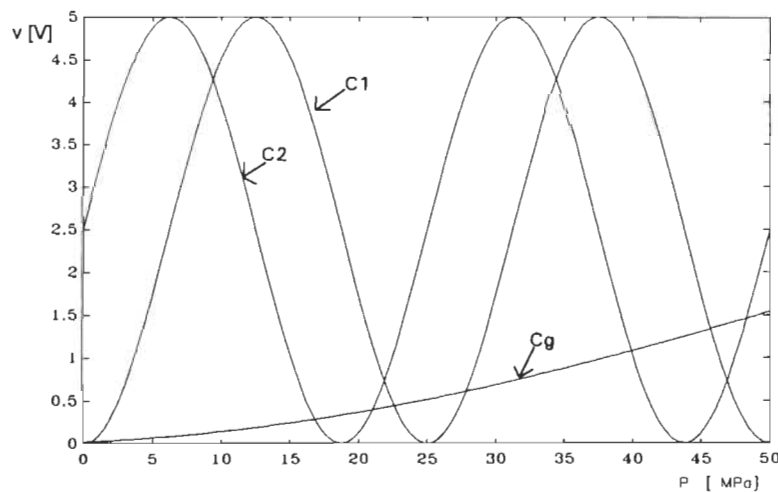
**Figure 1.5** Caractéristique du capteur pour différentes températures et une pression constante

Donc pour bien étalonner le système, il nous faudra considérer la température dans la construction des fonctions.

## **1.2) Stratégie de mesure**

Comme spécifié plus haut, l'erreur sur la pression est plus élevée aux extrêmes de la caractéristique statique du capteur à fibre optique. L'idée ici consiste à enlever ces régions. Plus précisément ces extrêmes ne doivent pas

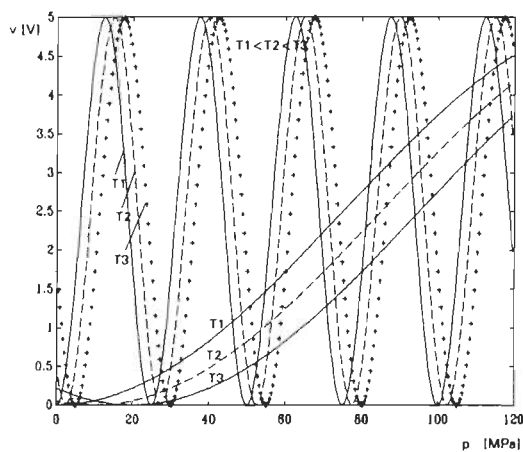
être employés lors du calcul de la pression. Pour ce faire nous allons utiliser un deuxième capteur de pression ayant la même caractéristique statique que le premier sauf qu'elle sera déphasé de  $90^\circ$ . D'où lors du calcul de la pression, le capteur choisit sera celui qui possèdera la pente la plus élevée pour une pression à mesurer. Comme le montre la figure 1.6, les caractéristiques des capteurs C1 et C2 sont périodiques alors non inversibles: plusieurs valeurs de pressions correspondent à une valeur de tension. Donc pour pouvoir calculer adéquatement la pression à partir de ces capteurs il faut faire une première approximation de la pression par un troisième capteur ayant une caractéristique monotone. Ce capteur Cg, que nous nommons guide, permettra de choisir la pression correcte parmi les pressions possibles calculées à partir de la tension du capteur C1 ou C2.



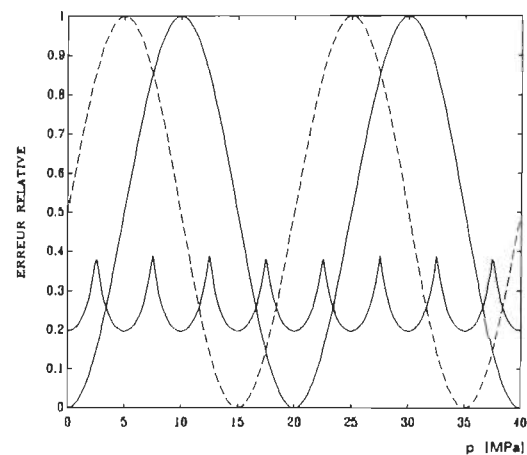
**Figure 1.6** Caractéristique des trois capteurs nécessaires pour le calcul de la pression

L'utilisation de deux capteurs et d'un guide pour calculer la pression a pour conséquence d'augmenter l'exactitude, comme décrit précédemment, mais en plus elle augmente le temps du calcul de la pression mesurée. Ceci est dû au fait qu'on

doit calculer les valeurs de deux fonctions, soit celle qui caractérise le guide et celle qui caractérise le capteur choisi. Ceci est un compromis à payer entre précision et vitesse de calcul. La figure 1.8 présente la diminution de l'erreur relative lorsqu'on utilise deux capteurs déphasés. La figure 1.7 présente l'effet de la température sur un des capteurs de référence, C1 ou C2, et sur le guide. Une exigence majeure pour le guide est qu'il doit posséder une caractéristique monotone sur la plage de pression désirée et ce sur toute la plage de température désirée.



**Figure 1.7** Sensibilité du guide et d'un capteur face aux variations de température



**Figure 1.8** Représentation de l'erreur relative avec deux capteurs déphasés de 90°

Donc le système de mesure de pression doit calculer la pression à partir de quatre entrées: un signal de mesure représentant la température et trois signaux provenant des capteurs de pressions (guide + capteurs). Ici le signal de mesure représentant la température est considéré proportionnel à cette température. En pratique, il existe des capteurs de température qui ont une bonne linéarité d'où cette présomption peut être utilisée dans les simulations.

### **1.3) Description du système de mesure**

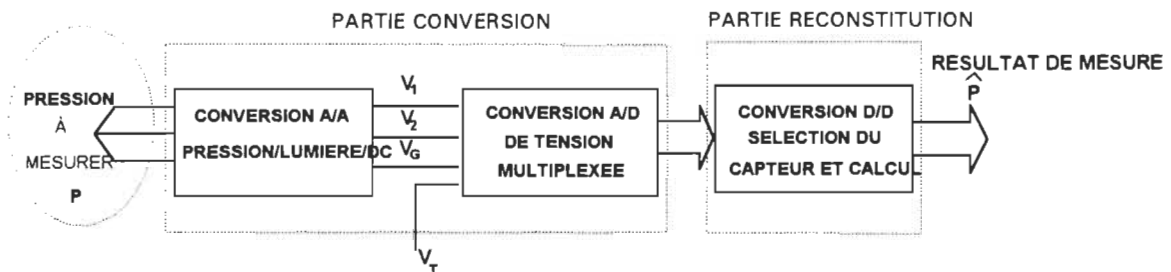
Le système de mesure possède trois parties spécifiques.

1. La conversion des signaux non électrique en signaux électriques et au conditionnement des signaux (conversion A/A).
2. La conversion des signaux électriques en données numériques (conversion A/D).
3. Le calcul du résultat de mesure à partir des données numériques (conversion D/D).

La première partie concerne la conversion de la pression en signaux lumineux par les capteurs et des signaux lumineux en signaux électriques. Ici les signaux électriques sont des tensions DC dont la variation est comprise entre 0 et 5 volts. La deuxième partie concerne la transformation des signaux électriques en données numériques par un convertisseur A/D. Ici nous supposons qu'un convertisseur A/D de 12 bits. Ce choix est fonction de la précision recherchée. La dernière partie concerne le calcul de la pression par un processeur numérique. Ce processeur calcule la pression à partir d'un modèle mathématique implanté dans sa mémoire.

Le processus du traitement de signaux dans un système de mesure peut être décomposé en deux parties: la conversion et la reconstitution. Ici la

conversion est assuré par les parties 1. et 2. décrites plus haut et la reconstitution est assurée par la partie 3. décrite précédemment. La figure 1.9 montre clairement ces différentes parties.



**Figure 1.9** Décomposition fonctionnelle du système de mesure de pression

A partir de cette décomposition fonctionnelle du système, il est possible de représenter un algorithme général de mesure. Cet algorithme peut être décrit comme suit:

- 1) Mesurer successivement des tensions  $v_1$ ,  $v_2$ ,  $v_g$  correspondant aux trois capteurs, aussi bien que de la quatrième tension qui comporte l'information sur la température;
- 2) Calculer la première approximation de la pression en utilisant  $v_g$ . Ceci nous donne le résultats  $\hat{p}_g$ ;

- 3) Faire le choix du capteur pour le calcul de la pression dont la caractéristique pour la pression  $\hat{p}_g$  possède la pente la plus élevée.
- 4) Calculer la pression à partir de la fonction  $p=f(T, V_C)$  où  $T$  représente la température et  $V_C$  la tension du capteur choisit résultant de l'étalonnage du système.

Nous venons de montrer qu'il nous faut quatre signaux de mesure pour pouvoir reconstruire le mesurande. Maintenant nous allons traiter des sources d'erreurs possibles qui peuvent influencer la précision du calcul.

#### **1.4) Sources d'erreurs**

Dans tous systèmes de mesure, il existe des sources d'erreurs. Ces sources peuvent provenir de bruits ambiants, de l'imprécision des éléments employés pour traiter les signaux, de l'instabilité des caractéristiques des capteurs et autres.

Pour le système ici traité, nous pouvons trouver cinq sources possibles d'erreurs.

- 1) Le modèle utilisé pour les calculs.
- 2) Les capteurs de pression.
- 3) Le capteur de température.



- 4) Le convertisseur A/D.
- 5) Le processeur numérique utilisé.

Ici on considère que l'erreur que fournit le capteur de pression est négligeable. Elle est négligeable car on considère que le capteur possède une excellente répétabilité et que les capteurs sont interchangeables.

Maintenant si on considère l'erreur provenant du choix du processeur. Comme le calcul se fait en point flottant et que la représentation du point flottant est gérée par des normes IEEE, les résultats obtenues par deux processeurs différents seront identiques si le nombre de chiffres significatifs est le même pour les deux processeurs. Ici l'erreur provient du nombre de bits servant à représenter une valeur. Pour ce qui est de l'influence du nombre de chiffres significatifs employés pour le calcul comme source importante d'erreur, nous considérons que le processeur employé dans le système de mesure utilise un même nombre de chiffre significatifs que le processeur utilisée pour les simulations.

Si nous utilisons un convertisseur A/D de 12 bits avec une plage de tension variant de 0 à 5 volts l'erreur de conversion équivalent à  $\pm 1$  LSB est de  $\pm 0.002$  volt.

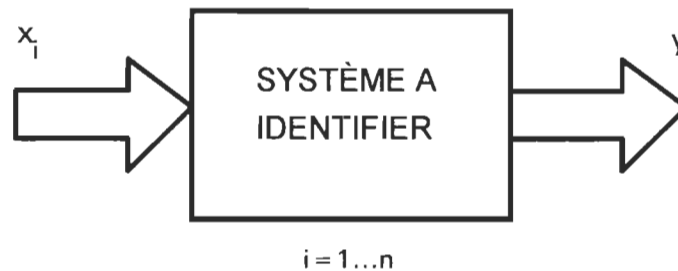
Pour ce qui est du capteur de température, nous considérons que l'erreur sur la température est de  $\pm 0.05$  °C.

Si nous supposons que la source d'erreur provenant du modèle mathématique est négligeable alors pour l'étalonnage du système on devra considérer les erreurs sur les tensions, sur la température et sur les données servant à l'étalonnage.

Le prochain chapitre traite des différentes méthodes d'étalonnage. Elle se divisera en deux grandes parties. Soit une partie sur les méthodes paramétrées et une partie sur les méthodes non-paramétrées.

## CHAPITRE 2

### MÉTHODES D'ÉTALONNAGES STATIQUES



**Figure 2.1** Système à identifier ( $n$  est le nombre d'observation)

L'étalonnage est une action servant à déterminer une relation empirique qui relie les résultats que fournit un capteur au mesurande. Ici le terme statique implique que le temps n'est pas un terme dominant du système. Donc l'étalonnage statique est un processus par lequel on désire approximer une fonction reliant les  $y_i$  aux  $x_i$  (voir figure 2.1). Pour commencer notre discussion nous allons considérer un modèle simple. À partir de ce modèle nous allons distinguer les différences entre les méthodes d'étalonnages paramétrées et les méthodes d'étalonnages non paramétrées.

Supposons le système de la figure 2.1. où nous observons comment réagit la sortie lorsqu'on lui applique à l'entrée le vecteur  $x = (x_1, x_2, \dots, x_n)^T$ . D'où nous avons pour chaque entrée  $x_i$  une sortie  $y_i$  correspondante. Alors disons que  $(x_i, y_i)$ ,  $i=1, \dots, n$  sont les valeurs de  $x$  et  $y$  fait pour  $n$  observations. Maintenant supposons que les  $x_i$  et  $y_i$  sont reliés par le modèle d'étalonnage suivant:

$$y_i = \mu(x_i) + \varepsilon_i, i = 1, \dots, n \quad (2.1)$$

où  $\varepsilon_i$  sont des erreurs d'étalonnage de moyenne zéro et de variance  $\sigma^2$  et  $\mu(t_j)$  sont des valeurs d'une fonction  $\mu$  inconnue. La fonction  $\mu$  est habituellement référée comme étant une fonction de regression [EUB88].

Pour un modèle d'étalonnage paramétrée la forme de la fonction  $\mu$  est connue, alors seulement un nombre fini de paramètres doit être déterminé. Les modèles paramétrés peuvent dépendre des paramètres d'une façon linéaire et/ou non-linéaire. Voici quelques exemples de modèles non-linéaires:

$$\mu(t) = \beta_1 t^{\beta_2}$$

$$\mu(t) = \beta_1 + \beta_2 e^{-\beta_3 t^{\beta_4}}$$

$$\mu(t) = \beta_1 \cos(\beta_2 t) + \beta_3 \sin(\beta_4 t)$$

où  $\beta_1, \beta_2, \dots$  sont les paramètres inconnus. À l'opposé un modèle paramétré linéaire a la forme suivante:

$$\mu(t) = \sum_{i=1}^p \beta_i x_i(t)$$

où les  $x_i(t)$  sont des fonctions connues. Les modèles paramétrés sont des fonctions qui peuvent conduire à la déduction de  $\mu$ . Le modèle résultant est une fonction qui estime  $\mu$  [EUB88].

Un modèle de régression non paramétré, comme son nom peut le laisser supposer, ne fait aucune supposition qu'il existe une fonction unique pour estimer  $\mu$ . Ceci fait que ces modèles sont très flexibles et s'ajustent très bien aux données. La seule supposition faite pour un modèle non-paramétré est que  $\mu$  appartient à une collection de fonctions de dimension infinie. Par exemple on peut supposer que  $\mu$  est différentiable ou différentiable avec une seconde dérivé intégrable au carré. Ces suppositions concernent seulement les propriétés qualitatives de  $\mu$ . Si nous comparons les contraintes qu'un modèle paramétré demande face à un modèle non paramétré, les modèles paramétrés demandent un plus grand niveau de spécifications .

Une différence importante entre les modèles paramétrés et non-paramétrés est leurs degrés de dépendance sur les informations de  $\mu$  obtenues de l'expérimentateur et des données. Pour construire un modèle de régression non-paramétré, l'expérimentateur choisit un espace de fonction auquel  $\mu$  est supposé appartenir. Le choix est généralement motivé par les propriétés de lissage que la fonction de régression est supposée posséder. Les données sont alors utilisées pour déterminer un élément de cet espace de fonction qui est représentatif de la courbe de régression inconnue. À l'opposé, pour un modèle paramétré, l'expérimentateur choisit une famille de courbes possibles, d'une collection de plusieurs courbes, et entre ce choix dans un procédé de déduction. Les informations que les données peuvent fournir concernant le développement du modèle est restreint à ce qui peut être extrait des données sous cette présumée forme paramétrée [EUB88]. Conséquemment, les techniques de régression non-

paramétrées dépendent davantage sur les données pour obtenir des informations sur  $\mu$  que leurs homonymes.

## **2.1) Méthodes d'étalonnage dites paramétrées**

Nous allons traiter premièrement des modèles d'étalonnage paramétrés. L'étude se veut ici non exhaustive, mais présente les méthodes paramétrées les plus fréquemment utilisées.

### **2.1.1) Méthode des moindres carrés linéaires**

Cette méthode consiste à trouver les paramètres  $\beta_j$  de la fonction (2.2)

$$\mu(t) = \sum_{j=1}^p \beta_j x_j(t) \quad (2.2)$$

où  $\mu(t)$  est un estimateur satisfaisant l'équation (2.3)

$$y_i = \mu(t_i) + \varepsilon_i, i=1, \dots, n \quad (2.3)$$

et les  $\varepsilon_j$  sont des erreurs de moyenne zéro et de variance  $\sigma^2$ . La méthode classique pour estimer les paramètres de l'équation (2.2) consiste à minimiser l'erreur moyenne suivante:

$$\text{MSE}(\underline{\beta}) = \frac{\sum_{j=1}^n \left( y_j - \sum_{l=1}^p \beta_l x_l(t_j) \right)^2}{n} \quad (2.4)$$

pour les  $\beta_j$ . Cette approche peut être justifiée par le fait géométrique que la minimisation de (2.4) donne un estimé de  $\mu$  qui est le plus près des  $y_j$  pour  $j=1, \dots, n$  au point de vue d'une distance Euclidienne.

Il est facile de montrer [BJÖ90] que l'estimé  $\hat{\beta}$  de  $\beta$  satisfait l'équation normale

$$X' X \hat{\beta} = X' y \quad (2.5)$$

où

$$\hat{\beta} = (\hat{\beta}_1, \dots, \hat{\beta}_p)'$$

$$y = (y_1, \dots, y_n)'$$

et

$$X = \begin{bmatrix} x_1(t_1) & \dots & x_p(t_1) \\ \vdots & \ddots & \vdots \\ x_1(t_n) & \dots & x_p(t_n) \end{bmatrix}$$

alors la solution pour trouver  $\hat{\beta}$  est donnée par (2.6).

$$\hat{\beta} = (X'X)^{-1}X'y \quad (2.6)$$

La solution de cette équation correspond à la méthode des moindres carrés. Ici la difficulté dans l'équation (2.6) consiste en l'inversion de la matrice. Plusieurs méthodes furent développées pour résoudre ce problème tel que la méthode de décomposition QR [BJÖ90] ou la décomposition de type Cholesky [BJÖ90].

### **2.1.2) Méthode des moindres carrés non-linéaires**

Considérons le modèle (2.1) avec une fonction  $\mu$  non-linéaire. Plus spécifiquement, disons qu'il existe une fonction connue  $\mu(t, \underline{\beta})$  qui est non-linéaire pour au moins un de ses paramètres. De plus, nous supposons que l'estimateur  $\mu(t)$  est égale à la fonction  $\mu(t, \underline{\beta})$ . Des exemples de fonctions non-linéaires ont été donnés précédemment. Nous allons discuter dans ce qui suit d'une méthode de déduction à partir d'une estimation par moindre carré.

La fonction est maintenant considérée dépendre non-linéairement des paramètres  $\underline{\beta}$ . Par contre, pour estimer  $\underline{\beta}$  et, du même coup,  $\mu(t)$ , nous pouvons encore procéder comme dans le cas d'un modèle linéaire et utiliser un estimateur par moindre carré. Un estimé de  $\underline{\beta}$  (définie  $\hat{\underline{\beta}}$ ) doit être trouvé en minimisant

$$\text{MSE}(\underline{\beta}) = \frac{\sum_{j=1}^n (y_j - \mu(t_j; \underline{\beta}))^2}{n} \quad (2.7)$$

Comme la fonction  $\mu(t)$  est non-linéaire, il peut exister plusieurs solutions qui minimisent l'équation (2.7).

Considérant que  $\mu(t, \underline{\beta})$  est différentiable par rapport aux  $\beta_i$ , nous pouvons différentier l'équation (2.7) pour voir que  $\hat{\underline{\beta}}$  doit satisfaire l'équation suivante

$$\sum_{j=1}^n \hat{x}_{ij} \mu(t_j; \hat{\underline{\beta}}) = \sum_{j=1}^n \hat{x}_{ij} y_j, \quad i=1, \dots, p \quad (2.8a)$$



avec

$$\hat{x}_{ij} = \left. \frac{\partial \mu(t_j; \underline{\beta})}{\partial \beta_i} \right|_{\underline{\beta} = \hat{\underline{\beta}}} \quad (2.8b)$$

Les équations (2.8a) et (2.8b) sont des équations non-linéaires analogues à l'équation normale (2.5).

Il existe une variété d'algorithmes qui ont été conçus pour résoudre les équations (2.8a) et (2.8b). Un des plus connus est la méthode de Gauss-Newton [JAM85] [MEL82] que nous allons maintenant présenter.

Supposons que  $\underline{\beta}_0$  est une première approximation prise au hasard de  $\hat{\underline{\beta}}$ . Alors il y a un vecteur  $\partial \underline{\beta}_0 = (\partial \beta_{10}, \dots, \partial \beta_{p0})'$  tel que  $\hat{\underline{\beta}} = \underline{\beta}_0 + \partial \underline{\beta}_0$ . Une expansion du premier ordre en série de Taylor de  $\mu(t, \underline{\beta})$  pour  $\underline{\beta}_0$  nous permet d'écrire

$$\mu(t_j; \hat{\underline{\beta}}) \approx \mu_{j0} + \sum_{i=1}^p x_{ij0} \partial \beta_{i0} \quad (2.9a)$$

avec  $\mu_{j0} = \mu(t_j; \underline{\beta}_0)$  et

$$x_{ij0} = \left. \frac{\partial \mu(t_j; \underline{\beta})}{\partial \beta_i} \right|_{\underline{\beta} = \underline{\beta}_0} \quad (2.9b)$$

Substituant (2.9) dans (2.7), l'équation à minimiser devient

$$\text{MSE}(\hat{\underline{\beta}}) = \tilde{\text{MSE}}(\partial \underline{\beta}_0) = \frac{\sum_{j=1}^n \left( y_j - \mu_{j0} - \sum_{i=1}^p x_{ij0} \partial \beta_{i0} \right)^2}{n} \quad (2.10)$$

Le vecteur  $\partial \underline{\beta}_0 = \hat{\underline{\beta}} - \underline{\beta}_0$  est toujours inconnu. Par contre, puisque  $\text{MSE}(\hat{\underline{\beta}})$  est l'erreur par moindres carrés minimale, elle doit correspondre à la valeur minimale de  $\tilde{\text{MSE}}(\partial \underline{\beta}_0)$ . Comme montré pour le cas linéaire, ce minimum se produit pour un vecteur  $\hat{\partial \underline{\beta}_0}$  satisfaisant

$$\mathbf{X}(\underline{\beta}_0)' \mathbf{X}(\underline{\beta}_0) \hat{\partial \underline{\beta}_0} = \mathbf{X}(\underline{\beta}_0)' \underline{e}(\underline{\beta}_0) \quad (2.11a)$$

où

$$\mathbf{X}(\underline{\beta}) = \begin{bmatrix} \frac{\partial \mu(t_1; \underline{\beta})}{\partial \beta_1} & \dots & \frac{\partial \mu(t_1; \underline{\beta})}{\partial \beta_p} \\ \vdots & \ddots & \vdots \\ \frac{\partial \mu(t_n; \underline{\beta})}{\partial \beta_1} & \dots & \frac{\partial \mu(t_n; \underline{\beta})}{\partial \beta_p} \end{bmatrix} \quad (2.11b)$$

et

$$\underline{e}(\underline{\beta}) = (y_1 - \mu(t_1; \underline{\beta}), \dots, y_n - \mu(t_n; \underline{\beta}))' \quad (2.11c)$$

Puisque (2.10) est seulement une approximation il s'en suit que  $\underline{\beta}_0 + \hat{\partial \underline{\beta}_0}$  est seulement une approximation de  $\hat{\underline{\beta}}$ . et que  $\text{MSE}(\underline{\beta}_0 + \hat{\partial \underline{\beta}_0})$  ne sera pas l'erreur quadratique minimale. Pour remédier au problème nous pouvons répéter le

procédé en posant  $\underline{\beta}_1 = \underline{\beta}_0 + \delta \hat{\underline{\beta}}_0$ , écrire que  $\hat{\underline{\beta}} = \underline{\beta}_1 + \delta \underline{\beta}_1$  et obtenir  $\underline{\beta}_2 = \underline{\beta}_1 + \delta \hat{\underline{\beta}}_1$  avec  $\delta \hat{\underline{\beta}}_1 = (X(\underline{\beta}_1)' X(\underline{\beta}_1))^{-1} X(\underline{\beta}_1)' \underline{e}(\underline{\beta}_1)$ . Ce procédé peut être répété encore et encore jusqu'à ce qu'il y ait convergence. Par exemple, si  $\underline{\beta}_j$  et  $\underline{\beta}_{j+1}$  sont les approximations de  $\hat{\underline{\beta}}$  à la  $j$  ième et  $(j+1)$  ième itération, alors il peut être décidé d'itérer jusqu'à

$$\frac{(\underline{\beta}_{j+1} - \underline{\beta}_j)' (\underline{\beta}_{j+1} - \underline{\beta}_j)}{\underline{\beta}_j' \underline{\beta}_j} < \alpha_1$$

et

$$\frac{|\text{MSE}(\underline{\beta}_{j+1}) - \text{MSE}(\underline{\beta}_j)|}{\text{MSE}(\underline{\beta}_j)} < \alpha_2$$

pour des valeurs de  $\alpha_1$  et  $\alpha_2$  assez faibles.

La méthode Gauss-Newton fonctionne bien pour la plupart des cas, mais il existe des cas où cette méthode ne converge pas. Dans ces cas, il faut utiliser d'autres méthodes telles que la méthode de Gauss-Newton modifiée ou la méthode de Newton [BJÖ90], [GIL78].

## **2.2) Méthodes d'étalonnage dites non-paramétrées**

Il existe plusieurs méthodes non-paramétrées. Le but de cette section est de présenter les méthodes les plus courantes de même que celles que nous allons utiliser pour étalonner le système de mesure traité précédemment.

Nous allons présenter deux classes de méthodes non-paramétrées. La première classe considère les données comme non-bruitées, tandis que la seconde considère les données comme bruitées.

### **2.2.1) Méthodes non-paramétrées avec données non-bruitées**

Comme la construction de ces méthodes utilise différentes fonctions dont une des exigences est que la courbe définie par ces fonctions passe par les points servant à la construction des fonctions, alors nous pouvons dire que ces méthodes utilisent des fonctions d'interpolations. Dans cette partie nous allons présenter deux méthodes générales d'interpolations, soit les interpolations polynômiales et les interpolations splines .

#### **2.2.1.1) Interpolations polynômiales**

Supposons que nous ayons un ensemble de  $n+1$  points

$$P_0(x_0, y_0), P_1(x_1, y_1), \dots, P_n(x_n, y_n) \quad (2.12)$$

et nous supposons que les  $x_k$  sont distincts et ordonnés, soit

$$x_0 < x_1 < \dots < x_k < x_{k+1} < \dots < x_n \quad (2.13)$$

Notre objectif est de trouver un polynôme qui interpole plusieurs de ces points, c'est-à-dire que la courbe passe par quelques uns ou l'ensemble des  $P_0, \dots, P_n$  tel qu'illustré à la figure 2.2

Sur cette figure  $p$  désigne un polynôme et  $P$  un point que le polynôme interpole. En particulier  $p_{k,k+m}(x)$  dénote un polynôme qui interpole  $m+1$  points consécutifs, soit  $P_k, P_{k+1}, \dots, P_{k+m}$ .

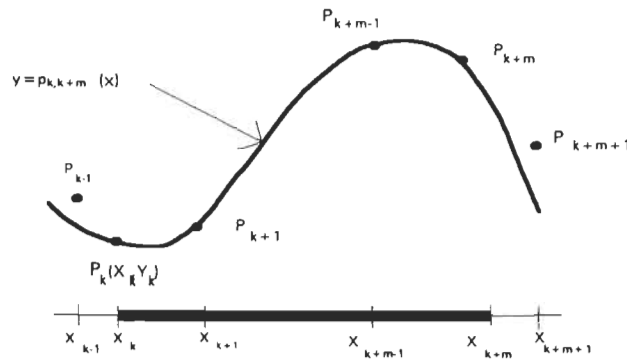


Figure 2.2 Interpolation polynomiale

### Exigences pour l'interpolation polynomiale

La première exigence est que la fonction  $p_{k,k+m}(x)$  passe par les  $m+1$  points d'où ceci impose les  $m+1$  contraintes suivantes:

$$p_{k,k+m}(x_i) = y_i \quad \text{pour } i = k, k+1, \dots, k+m \quad (2.14a)$$

La deuxième exigence est que  $p_{k,k+m}(x)$  a au plus  $m+1$  coefficients, d'où

$$p_{k,k+m}(x) \text{ est un polynôme de degré } \leq m. \quad (2.14b)$$

Donc donnant un ensemble de points  $P_0, \dots, P_n$  et les indices  $k$  et  $k+m$ , le problème de trouver un polynôme  $p_{k,k+m}(x)$  satisfaisant les deux exigences (2.14a) et (2.14b) est appelé interpolation polynômiale [MEL82], [JAM85].

Il existe plusieurs méthodes pour construire  $p_{k,k+m}(x)$ . Parmi ces méthodes nous allons en décrire deux, soit la méthode de Lagrange et la méthode de Newton.

### Interpolation de Lagrange

Il est possible de montrer que  $p_{k,k+m}(x)$  peut être écrit sous la forme suivante [MAR82]:

$$p_{k,k+m}(x) = y_k L_k(x) + y_{k+1} L_{k+1}(x) + \dots + y_{k+m} L_{k+m}(x) \quad (2.15)$$

$p_{k,k+m}$  est un polynôme de degré inférieur ou égal à  $m$

$$\text{où } L_j = \frac{\prod_{i \neq j} (x - x_i)}{\prod_{i \neq j} (x_j - x_i)} = \frac{(x - x_k) \dots (x - x_{j-1})(x - x_{j+1}) \dots (x - x_{k+m})}{(x_j - x_k) \dots (x_j - x_{j-1})(x_j - x_{j+1}) \dots (x_j - x_{k+m})} \quad (2.16)$$

alors  $L_j$  est le  $j^{\text{ème}}$  polynôme de Lagrange. C'est un polynôme de degré  $m$  qui est égal à zéro pour  $x_i$  avec  $i=k, k+1, \dots, j-1, j+1, \dots, k+m$  sauf pour  $i=j$  où il prend la valeur un.

$$L_j(x_i) = \begin{cases} 0, & i \neq j \\ 1, & i = j \end{cases} \quad (2.17)$$

### Interpolation de Newton

L'interpolation de Newton est basée sur les formules de différences. Supposons que nous avons  $n$  points, alors les valeurs

$$\Delta y_k = \frac{y_{k+1} - y_k}{x_{k+1} - x_k}, \quad k = 0, 1, \dots, n-1$$

sont appelées les premières différences aux points  $k$  ( $P_k$ ). Géométriquement,  $\Delta y_k$  correspondent à la pente un pas en avant de  $P_k$ . La seconde différence aux  $P_k$  est:

$$\Delta^2 y_k = \frac{\Delta y_{k+1} - \Delta y_k}{x_{k+2} - x_k}, \quad k = 0, 1, \dots, n-2$$

Par induction pour  $m \geq 1$ , nous définissons la  $m^{\text{ième}}$  différence aux  $P_k$  comme étant égale à :

$$\Delta^m y_k = \frac{\Delta^{m-1} y_{k+1} - \Delta^{m-1} y_k}{x_{k+m} - x_k}, \quad k = 0, 1, \dots, n-m \quad (2.18)$$

D'où à partir de l'équation (2.18) il est possible de construire des polynômes d'interpolation  $p_{k,k+m}(x)$ . La forme de  $p_{k,k+m}(x)$  est la suivante:

$$p_{k,k+m} = p_{k,k+m-1} + \Delta^m y_k (x - x_k)(x - x_{k+1}) \dots (x - x_{k+m-1}) \quad (2.19)$$

Nous voyons que l'équation (2.19) a une forme récursive. Sachant que  $P_{k,k} = y_k$ , alors (2.19) peut être développée et aboutir à l'équation (2.20).

$$p_{k,k+m} = y_k + \Delta y_k (x - x_k) + \Delta^2 (x - x_k)(x - x_{k+1}) \dots + \Delta^m y_k (x - x_k)(x - x_{k+1}) \dots (x - x_{k+m-1}) \quad (2.20)$$

Un des problèmes majeurs de l'interpolation polynômiale est sa tendance à osciller lorsque l'ordre du polynôme augmente, d'où l'exactitude de l'interpolation diminue lorsque le degré de la fonction augmente.

### **2.2.1.2) Interpolation spline**

Les fonctions splines sont des fonctions composées de polynômes qui sont créées pour chaque intervalle d'un ensemble de points. Elles permettent d'approximer une courbe sans discontinuité et sans oscillation.

Supposons que nous possédons  $n+1$  points

$$P_0(x_0, y_0), P_1(x_1, y_1), \dots, P_n(x_n, y_n) \quad (2.21)$$

avec  $x_0 < x_1 < \dots < x_n$ , alors l'idée consiste à trouver un polynôme de degré  $m$

$$f_k(x) = c[m]_k (x - x_k)^m + c[m-1]_k (x - x_k)^{m-1} + \dots + c[1]_k (x - x_k) + c[0] \quad (2.22a)$$

pour chaque intervalle  $[x_k, x_{k+1}]$  qui satisfait les conditions d'interpolations

$$\begin{aligned} f_k(x_k) &= y_k \\ f_k(x_{k+1}) &= y_{k+1} \end{aligned} \quad (2.22b)$$



La difficulté de cette méthode réside dans la détermination des coefficients  $c[m]_k$  pour  $0 \leq k \leq n$ .

L'idée des fonctions splines consiste à évaluer les dérivées des différents polynômes pour chaque points de collage  $P_k(x_k, y_k)$ . Si nous exprimons ceci mathématiquement, il faut que

$$\begin{aligned} f_k^1(x_{k+1}) &= f_{k+1}^1(x_{k+1}) \\ &\vdots \\ f_k^{m-1}(x_{k+1}) &= f_{k+1}^{m-1}(x_{k+1}) \end{aligned} \tag{2.23}$$

où  $f^m(x)$  est la  $m^{\text{ième}}$  dérivé d'une fonction  $f(x)$ .

Si le degré du polynôme est de  $m$ , il faut que  $m-1$  dérivés soient égales. Il a été démontré que l'application de (2.23) à la construction de (2.22) donne  $n-m+1$  équations, donc il faut déterminer  $m$  coefficients arbitrairement. Il existe différentes méthodes pour déterminer ces coefficients mais plus généralement on pose  $m$  coefficients égaux à zéro. Ce type d'interpolation a pour nom spline naturelle [DEB78], [SCH81]. Nous allons donner un exemple de développement. Comme la forme est générale, le développement pour d'autres types de polynômes se fait similairement à la méthode qui sera présentée ici. Cet exemple est pour un polynôme de degré trois. Ce type de spline a pour nom spline cubique.

### Spline cubique

Pour un sous intervalle  $[x_i, x_{i+1}]$  où  $0 \leq i \leq n$ , on doit trouver un polynôme de la forme suivante [PRE86]:

$$f_i(x) = A_i + B_i(x - x_i) + C_i(x - x_i)^2 + D_i(x - x_i)^3 \quad (2.24)$$

où  $A_i$ ,  $B_i$ ,  $C_i$  et  $D_i$  sont des paramètres à déterminer pour chaque intervalle  $[x_i, x_{i+1}]$ . De la condition  $f_k(x_k) = y_k$  nous trouvons

$$y_i = A_i \quad (2.25)$$

à partir de l'équation (2.23) nous trouvons

$$y_{i+1} = A_i + B_i h_i + C_i h_i^2 + D_i h_i^3 \quad (2.26)$$

$$B_{i+1} = B_i + 2C_i h_i + 3D_i h_i^2 \quad (2.27)$$

$$C_{i+1} = 3D_i h_i + C_i \quad (2.28)$$

avec  $h_i = x_{i+1} - x_i$ , Remplacant (2.25), (2.26), (2.27) et (2.28) dans (2.24) nous trouvons

$$C_{i-1} h_{i-1} + 2(h_i + h_{i-1})C_i + C_{i+1} h_i = 3 \left[ \frac{y_{i+1} - y_i}{h_i} - \frac{y_i - y_{i-1}}{h_{i-1}} \right] \quad (2.29)$$

si nous posons

$$Q^T \underline{y} = \begin{pmatrix} \frac{1}{h_0} & -\left(\frac{1}{h_0} + \frac{1}{h_1}\right) & \frac{1}{h_1} & & \\ & \frac{1}{h_1} & -\left(\frac{1}{h_1} + \frac{1}{h_2}\right) & \frac{1}{h_2} & \\ & & \ddots & \ddots & \\ & & & \frac{1}{h_{n-1}} & -\left(\frac{1}{h_{n-1}} + \frac{1}{h_n}\right) & \frac{1}{h_n} \end{pmatrix} \begin{pmatrix} y_0 \\ y_1 \\ \vdots \\ y_n \end{pmatrix} \quad (2.30)$$

alors nous pouvons écrire (2.29) sous forme matricielle, ce qui donne

$$\begin{pmatrix} h_0 & 2(h_0 + h_1) & h_1 & & \\ & h_1 & 2(h_1 + h_2) & h_2 & \\ & & \ddots & \ddots & \ddots \\ & & & h_{n-2} & 2(h_{n-2} + h_{n-1}) & h_{n-1} \end{pmatrix}_{(n-1)(n+1)} \begin{pmatrix} C_0 \\ C_1 \\ \vdots \\ C_n \end{pmatrix}_{(n+1)*1} = Q^T \underline{y} \quad (2.31)$$

Alors nous avons  $n-1$  équations pour  $n+1$  inconnues. Il faut trouver deux paramètres, par exemple  $C_0$  et  $C_n$ , d'une autre façon. Comme décrit précédemment on peut les poser égaux à zéro (dans ce cas on appelle les splines: spline naturelle) ou les trouver par une méthode numérique tel que la méthode de Lagrange (voir [DEB78]). Si nous observons (2.31), on voit que la matrice est tridiagonale, d'où l'équation (2.31) peut être résolue rapidement en utilisant la décomposition LU [JAM85]. Une fois les paramètres  $C_i$  trouvés, il est facile de calculer à partir de (2.27) et de (2.28) les paramètres  $D_i$  et  $B_i$ .

Pour les splines naturelles, vue que  $C_0$  et  $C_n$  sont égaux à zéro, on peut poser la forme suivante:

$$T\underline{C} = \begin{pmatrix} \frac{2(h_0 + h_1)}{3} & \frac{h_1}{3} & & & \\ \frac{h_1}{3} & \frac{2(h_1 + h_2)}{3} & \frac{h_2}{3} & & \\ & \ddots & \ddots & \ddots & \\ & & \frac{h_{n-2}}{3} & \frac{2(h_{n-2} + h_{n-1})}{3} & \\ & & & & \end{pmatrix}_{(n-1)(n-1)} \begin{pmatrix} C_1 \\ C_2 \\ \vdots \\ C_{n-1} \end{pmatrix}_{(n-1) \times 1} \quad (2.32)$$

ce qui donne la forme matricielle suivante:

$$T\underline{C} = Q^T \underline{y} \quad (2.33)$$

Lorsque les données servant à la construction des splines ne sont pas bruitées, cette méthode est très efficace. Par contre lorsque les données sont bruitées, il faut procéder différemment. On peut utiliser des estimateurs non-paramétrés. La prochaine section traite de deux types d'estimateurs non-paramétrés, soit les splines de lissage et les splines moindre carré.

### **2.2.2) Méthodes non-paramétrés avec données bruitées**

Pour cette section, nous considérons que les données utilisées à la construction du modèle mathématique représentant différentes courbes sont bruitées. D'où les modèles mathématiques construits à partir des données devront considérer deux critères, la précision de la courbe et le degré de lissage de cette dernière. Nous allons présenter deux méthodes qui tiennent compte de ces critères. La première concerne les splines de lissage et la seconde les splines moindre carré.

#### **2.2.2.1) Splines de lissage**

Nous considérons que nous avons le modèle de régression suivant:

$$y_j = \mu(t_j) + \varepsilon_j \quad (2.34)$$

où  $a \leq t_1 < \dots < t_n \leq b$  et les  $\varepsilon_j$  sont des erreurs non corrélées, de moyenne zéro et de variance  $\sigma^2$ . Considérons que  $\mu$  est une fonction possédant un certain lissage. Le but est de retrouver  $\mu$  à partir des données bruitées  $(t_j, y_j)$ . L'estimé  $\hat{\mu}(t)$  de  $\mu(t)$  est faite à partir de fonctions  $f$  qui, pour un certain paramètre  $p \in [0,1]$ , minimisent le critère suivant:

$$J = p \sum_{j=1}^n \left( \frac{y_j - f(t_j)}{\sigma_j} \right)^2 + \int_a^b (f^{(m)}(t))^2 dt \quad (2.35)$$

pour toutes fonctions  $f$  possédant  $m$  dérivés continues. La minisation de (2.35) constitue un compromis entre le désir de rester près des données et le désir

d'avoir une fonction avec un certain degré de lissage. Le choix du paramètre  $p$  est fonction de l'importance qu'on accorde à l'un ou à l'autre de ces objectifs [REI67], [REI71], [DEB78], [FES91], [HUT85].

La solution  $\hat{\mu}(t)$  est une fonction spline polynômiale de degré  $k=2m$  et satisfaisant la condition pour les splines naturelles, soit que

$$f^{(j)}(t_1) = f^{(j)}(t_n) = 0 \text{ pour } j = m, \dots, k-2$$

Ceci correspond aux conditions générales pour construire des splines de lissage de degré  $k=2m$ . Ici nous allons donner un exemple de développement pour  $m=2$ . Ce qui correspond au spline cubique de l'équation (2.24)

Nous avons vu précédemment que pour les splines d'interpolation nous avons la condition  $f_k(t_k)=y_k$ . Pour les splines de lissage cette condition ne peut s'appliquer: en général  $f_k(t_k)=A_k \neq y_k$  modifie l'équation (2.33) pour donner

$$T\underline{C} = Q^T \underline{A} \quad (2.36)$$

Maintenant développons l'intégrale de (2.35) en terme de  $\underline{A}$  et de  $\underline{C}$ . Nous savons que pour une ligne droite  $L$  on peut approximer l'intégrale suivant (2.37).

$$\int_0^h (L(x))^2 dx \approx \frac{h}{3} [(L(0))^2 + L(0)L(h) + (L(h))^2] \quad (2.37)$$

Pour une spline cubique

$$\left(f_j^{(2)}(t)\right)^2 = 4C_j^2 + 24C_j D_j (x - x_j) + 36D_j^2 (x - x_j)^2 \quad (2.38)$$

d'où en utilisant (2.28) on obtient

$$\int_a^b \left(f^{(2)}(t)\right)^2 dt = \sum_{i=1}^{n-1} \int_a^b \left(f_j^{(2)}(t)\right)^2 dt = \frac{4}{3} \sum_{i=1}^{n-1} h_i (C_i^2 + C_i C_{i+1} + C_{i+1}^2) \quad (2.39)$$

avec  $h_i = x_{i+1} - x_i$ . Remplaçant (2.39) dans (2.35) alors Il est possible d'écrire l'équation (2.35) sous la forme matricielle suivante

$$J[\underline{A}, \underline{C}] = p(\underline{y} - \underline{A})^T D^{-2} (\underline{y} - \underline{A}) + 2\underline{C}^T T \underline{C} \quad (2.40)$$

où D est une matrice diagonale  $D = \text{diag}(\sigma_1, \dots, \sigma_n)$  et T la matrice définie à (2.32). Ici les paramètres  $\sigma_i$  sont des valeurs connues. Si disponible on doit utiliser pour les  $\sigma_i$  l'écart type des données. Le but est de minimiser (2.40). Comme (2.40) est exprimée en fonction de deux vecteurs de paramètres, alors il nous faut la réécrire pour un vecteur. Nous voyons par l'équation (2.36) que  $\underline{C} = T^{-1} Q^T \underline{A}$  d'où nous pouvons écrire (2.40) en terme de  $\underline{A}$  uniquement. Ce qui donne (2.41)

$$J[\underline{A}] = p(\underline{y} - \underline{A})^T D^{-2} (\underline{y} - \underline{A}) + 2(T^{-1} Q^T \underline{A})^T T (T^{-1} Q^T \underline{A}) \quad (2.41)$$

Comme il faut minimiser (2.41), alors on doit la dériver par rapport au vecteur  $\underline{A}$  et l'égaliser à zéro, d'où nous obtenons (2.42)

$$-2pD^{-2}(\underline{y} - \underline{A}) + 4(T^{-1} Q^T)^T T (T^{-1} Q^T) \underline{A} = 0 \quad (2.42)$$

Profitant du fait que  $T^{-1}=(T^{-1})^T$  [JAM85], alors on peut simplifier (2.42) pour donner l'équation (2.43).

$$Q\underline{C} = pD^{-2}(\underline{y} - \underline{A}) \quad (2.43)$$

donc à partir de (2.43) et de (2.36) il est possible de trouver les paramètres nécessaires à la construction des splines. Rappelons que les équations (2.36) et (2.43) sont:

$$T\underline{C} = Q^T \underline{A}$$

$$Q\underline{C} = pD^{-2}(\underline{y} - \underline{A})$$

Nous allons essayer d'écrire ces équations sous une autre forme. Pour ce faire on multiplie les deux parties de chaque côté de l'égalité de l'équation (2.43) par  $Q^T D^2$ , alors nous pouvons séparer la variable  $\underline{C}$  des deux équations (2.43) et (2.36), ce qui donne les équations (2.44) et (2.45).

$$(Q^T D^2 Q + pT)\underline{C} = pQ^T \underline{y} \quad (2.44)$$

$$\underline{A} = \underline{y} - p^{-1}D^2 Q\underline{C} \quad (2.45)$$

Ici précisons que  $\underline{A}$  est un estimé. D'où pour un  $p$  choisi l'équation (2.45) fournit les paramètres  $A_i$ , l'équation (2.44) fournit les  $C_i$  et les équations (2.27) et (2.28) fournissent les  $B_i$  et les  $D_i$  servant à construire les splines de forme

$$f_i(x) = A_i + B_i(x - x_i) + C_i(x - x_i)^2 + D_i(x - x_i)^3$$



D'où le nom de spline de lissage. Ici il nous faut présenter l'estimateur sous une autre forme. Pour ce faire il faut remplacer  $\underline{C}$  dans (2.45) par (2.44) et isoler  $\underline{y}$ . Ce qui nous donne (2.46)

$$\underline{A} = \left[ \mathbf{I} - D^2 Q (Q^T D^2 Q + pT)^{-1} Q^T \right] \underline{y} \quad (2.46)$$

qui peut être écrit sous la forme

$$\underline{A} = H(p) \underline{y} \quad (2.47a)$$

avec

$$H(p) = \left[ \mathbf{I} - D^2 Q (Q^T D^2 Q + pT)^{-1} Q^T \right] \quad (2.47b)$$

Ici  $H(p)$  porte le nom de matrice chapeau [EUB88]. Cette matrice est utilisée dans la détermination de  $p$ .

### Calcul du paramètre $p$

La détermination du paramètre  $p$  est guidé par les données. La première méthode pour déterminer  $p$  fût présentée par [REI67].

Cette méthode consiste à introduire un paramètre  $S$  dans le calcul des splines de lissage. Ce paramètre a une valeur comprise dans l'intervalle

$$n - \sqrt{2n} \leq S \leq n + \sqrt{2n} \quad (2.48)$$

et sert à déterminer  $p$ . Ceci se fait à partir de l'équation suivante

$$F(p) = \sqrt{S} \quad (2.49)$$

avec

$$F(p) = \|DQ(Q^T D^2 Q + pT)^{-1} Q^T \underline{y}\|_2 \quad (2.50)$$

Comme montré dans [REI67] le calcul de  $p$  se fait à partir d'une méthode pour trouver des racines, soit la méthode de Newton. De plus l'article fournit un algorithme permettant ce calcul. Cet algorithme est comme suit:

1. Commencer avec  $p=0$ ;
  2. Faire une décomposition de type Cholesky  $R^T R$  de  $Q^T D^2 Q + pT$ ;
  3. Calculer  $\underline{u}$  à partir de  $R^T R \underline{u} = Q^T \underline{y}$  et  $\underline{v} = DQ\underline{u}$ , accumuler  $e = \underline{v}^T \underline{v}$ ;
  4. Si  $e > S$ 
    - calculer  $f = \underline{u}^T \underline{u}$  et  $g = \underline{w}^T \underline{w}$  où  $R^T \underline{w} = T \underline{u}$
    - remplacer  $p$  par  $p + \frac{e - \sqrt{S \times e}}{f - p \times g}$
    - repartir à 2.
- sinon
- calculer  $\underline{A} = \underline{y} - D\underline{v}$ ,  $\underline{C} = p\underline{u}$ .

Cette méthode a l'inconvénient de donner un lissage trop profond. Par contre même si le lissage est profond, cette méthode peut être utilisée avec peu de points et donner de bons résultats ( $n \leq 100$ ). Si le nombre de points est assez élevés, cette méthode doit être remplacée par la méthode G.C.V. (ang. "General Cross Validation") [WAH79].

Cette méthode est reconnue aujourd'hui comme étant la méthode à utiliser pour déterminer  $p$ . Ceci est dû aux différentes propriétés optimales que possède cette méthode [EUB88], [WAH80], [ROB89].

Cette méthode consiste à minimiser un critère défini à partir de la matrice chapeau  $H(p)$

$$GCV(p) = \frac{\sum_{j=1}^n (y_j - A_j)^2}{n \left( 1 - \frac{\sum_{j=1}^n h_{jj}(p)}{n} \right)^2} \quad (2.51)$$

où  $h_{jj}(p)$  sont les éléments diagonale de la matrice  $H(p)$  définie par l'équation (2.47b). La façon d'utiliser ce critère est la suivante. Premièrement on subdivise  $p$  en  $k$  parties. D'où  $p_i = i/k$  pour  $i=0, \dots, k$ . Pour chaque  $p_i$  on calcule  $GCV_i(p_i)$ . Donc la meilleur valeur de  $p$  correspond au  $p_i$  donnant la valeur minimum des  $GCV_i(p)$ .

Nous venons de montrer deux méthodes pour le calcul du paramètre  $p$ . Considérant que le nombre de points servant à construire notre modèle est faible, la première méthode sera celle que nous allons considérer lors de notre étude.

### **2.2.2.2) Splines moindre carré**

Dans cette section, nous allons considérer une méthode de régression non-paramétrée qui a pour nom splines moindre carré [EUB88].

Pour commencer, rappelons le modèle de base où nous avons les couples de données  $(t_i, y_i)$  qui satisfont la relation

$$y_i = \mu(t_i) + \varepsilon_i, \quad i = 1, \dots, n \quad (2.52)$$

avec les  $\varepsilon_i$  représentant les erreurs non corrélées de moyenne zéro et de variance  $\sigma^2$ . De plus nous considérons que  $\mu(t)$  est compris dans l'espace Sobolev  $W_2^m[a, b]$ . Pour ce cas, à partir du théorème de Taylor, l'équation (2.52) peut être écrite sous la forme suivante

$$y_i = \sum_{j=1}^m \theta_j t_i^{j-1} + \text{Res}(t_i) + \varepsilon_i \quad 2.53a)$$

où

$$\text{Res}(t) = [(m-1)!]^{-1} \int_a^b \mu^{(m)}(\xi)(t-\xi)_+^{m-1} d\xi \quad 2.53b)$$

Si les  $\text{Res}(t_1), \dots, \text{Res}(t_n)$  sont faibles alors une régression polynômiale semble être une méthode raisonnable pour l'analyse des données. Cependant si ce n'est pas le cas, les régressions polynômiales ne seront pas satisfaisantes et, alors, un type quelconque de protection contre cette possibilité doit être construit pour pouvoir créer un estimateur à partir de l'équation (2.53).

Une méthode d'estimation qui permet d'obtenir ce type de protection pour les modèles polynômiaux sont les splines de lissages étudiées précédemment. Quand le paramètre de lissage est choisi ceci fait qu'une frontière est estimée sur

l'amplitude des  $\text{Res}(t)$  dans (2.53b) et cet estimé est considéré dans la création de l'estimateur.

La méthode des splines moindres carrées est une autre façon de pouvoir considérer l'amplitude de  $\text{Res}(t)$  dans la création d'un estimateur. L'hypothèse de base pour cet estimateur est la suivante, en utilisant une règle de quadrature nous pouvons approximer l'intégrale de l'équation (2.53b) par une somme de la forme

$$\sum_{j=1}^k \delta_j (t - \xi_j)_+^{m-1}$$

pour un ensemble de coefficients  $\delta_1, \dots, \delta_n$  et de points  $a < \xi_1 < \dots < \xi_k < b$ . Donc combinant ceci avec l'approximation polynômiale originale, nous trouvons alors une forme d'estimateur. La forme de l'estimateur est la suivante

$$s(t) = \sum_{j=1}^m \theta_j t^{j-1} + \sum_{j=1}^k \delta_j (t - \xi_j)_+^{m-1} \quad (2.54)$$

Ici  $s$  est définie comme étant une spline d'ordre  $m$  avec les noeuds  $\xi_1 \dots \xi_k$ . L'ensemble de telles fonctions,  $S^m(\xi_1 \dots \xi_k)$ , consiste en un espace vectoriel de dimension  $m+k$ . De plus la fonction  $(t - \xi_j)_+$  est définie comme étant

$$\max(0, (t - \xi_j))$$

Ayant des valeurs pour  $\lambda = \{\xi_1 \dots \xi_k\}$ , nous pouvons estimer  $\mu$  en estimant les coefficients de l'équation (2.54). Une méthode accomplissant ceci est d'utiliser les moindres carrés. Disons que nous avons

$$\begin{aligned}
x_1(t) &= 1 \\
x_2(t) &= t \\
&\vdots \\
x_m(t) &= t^{m-1} \\
x_{m+1}(t) &= (t - \xi_1)_+^{m-1} \\
&\vdots \\
x_{m+k}(t) &= (t - \xi_k)_+^{m-1}
\end{aligned} \tag{2.55}$$

et l'ensemble de coefficients

$$\underline{\beta} = (\theta_1, \dots, \theta_m, \delta_1, \dots, \delta_k)'$$
(2.56)

alors l'estimateur splines moindres carrées de  $\mu$  est

$$\mu_{\lambda} = \sum_{j=1}^{m+k} \beta_{\lambda j} x_j(t)$$
(2.57)

où  $\underline{\beta}_{\lambda} = (\beta_{\lambda,1}, \dots, \beta_{\lambda,m+k})$  est un minimum de

$$\frac{\sum_{i=1}^n \left( y_i - \sum_{j=1}^{m+k} \beta_j x_j(t_i) \right)^2}{n}$$
(2.58)

Plus particulièrement , si nous définissons

$$X(\lambda) = \begin{bmatrix} x_1(t_1) & \cdots & x_{m+k}(t_1) \\ \vdots & \ddots & \vdots \\ x_1(t_n) & \cdots & x_{m+k}(t_n) \end{bmatrix} \quad (2.59)$$

alors  $\underline{\beta}_\lambda$  est trouvé comme étant une solution aux équations normales

$$X(\lambda)' X(\lambda) \underline{\beta}_\lambda = X(\lambda)' \underline{y} \quad (2.60)$$

Si nous isolons  $\underline{\beta}_\lambda$  dans (2.60) nous trouvons (2.61)

$$\underline{\beta}_\lambda = [X(\lambda)' X(\lambda)]^{-1} X(\lambda)' \underline{y} \quad (2.61)$$

Il s'en suit qu'à partir de (2.57) et de (2.61), donnant  $\lambda = \{\xi_1 \dots \xi_k\}$ ,  $\mu_\lambda$  est un estimateur linéaire de  $\mu$ . Ici soulignons que l'ensemble  $\lambda$  est un paramètre de lissage. Le choix de  $\lambda$  se fait à partir du nombre et de la position des noeuds pour les splines.

La sélection de  $\lambda$  se fait selon le besoin de courbure que possède les données. Pour plus de détails concernant les splines moindres carrées voir [EUB88].

Ceci complète la partie concernant les méthodes d'étalonnages. Ce chapitre s'est voulu non pas une étude exhaustive des différentes méthodes d'étalonnage mais voulait souligner celles les plus couramment employées. Le prochain chapitre traite des algorithmes d'étalonnage pour la pression qui ont été construits avec certaines de ces méthodes.

## CHAPITRE 3

### **ALGORITHMES D'ÉTALONNAGE BASÉS SUR LES FONCTIONS SPLINES**

Au chapitre précédant nous avons montré différentes méthodes mathématiques permettant la construction d'algorithmes d'étalonnage. Dans ce chapitre nous allons présenter trois algorithmes d'étalonnage pour le système de mesure de pression décrit au chapitre 1. Ces algorithmes sont construits à partir de fonctions splines d'interpolation et de splines de lissage. Ce chapitre comporte quatre parties. La première partie décrit les algorithmes d'étalonnage, la deuxième montre une méthode permettant l'évaluation de ces algorithmes, la troisième partie montre les résultats obtenus pour chaque algorithme et la dernière partie porte sur le choix du meilleur algorithme.

#### **3.1) Description des algorithmes d'étalonnage**

Une méthode d'étalonnage doit impliquer la solution de deux problèmes de base [BAR92]:

- choix de la structure des modèles mathématiques pour les relations physiques

$$p_i T \cdot v_1 \quad p_i T \cdot v_2 \quad p_i T \cdot v_g$$

- estimation des paramètres de ces modèles



Le premier problème est du domaine heuristique, tandis que le deuxième peut être résolu par l'utilisation d'algorithmes standards destinés à l'estimation de paramètres. D'après [BAR90b], il fût montré que les modèles de type polynômial ou polinômial inverse sont peu adéquats pour des applications métrologiques à cause de leur rigidité. D'un autre côté, les méthodes d'approximation basées sur des fonctions splines offrent une grande flexibilité [DEB78], [EUB88]. Ceci est nécessaire à l'obtention d'un étalonnage précis. La flexibilité des fonctions splines est présente même lorsqu'elle est appliquée à des caractéristiques statiques complexes.

Les fonctions splines à une variable, telles que décrites au chapitre 2, ont été utilisées pour approximer les caractéristiques  $f_1(p;T)$ ,  $f_2(p;T)$  et  $f_g(p;T)$  qui sont des fonctions à deux variables :  $p$  et  $T$ .

Le problème à résoudre consiste à approximer des fonctions à partir de données d'étalonnages reliant la pression à la température et à la tension de sortie d'une fibre. Comme la mesure de la pression nécessite trois fibres différentes (voir cahpitre 2), il nous faut alors approximer trois fonctions différentes. En termes plus généraux, il faut approximer les fonctions  $G_i$  de l'équation (3.1) à partir de mesures de tension, de pressions et de températures

$$p_i = G_i(v, T) \quad \text{pour } i=1,2,3,\dots \quad (3.1)$$

Pour analyser les différents algorithmes d'étalonnage, nous posons premièrement que les données pour l'étalonnage sont ordonnées de la façon suivante:

$$D_i^{ETAL} = \left\{ p_i^{ETAL}, \left\{ T_j^{ETAL} \quad v1_{i,j}^{ETAL} \quad v2_{i,j}^{ETAL} \quad vg_{i,j}^{ETAL} \mid j = 1, \dots, NP \right\} \mid i = 1, \dots, NT \right\} \quad (3.2)$$

avec comme conditions

$$P_{\min} \equiv p_1^{ETAL} < p_2^{ETAL} < \dots < p_{NP}^{ETAL} \equiv P_{\max} \quad (3.3)$$

et

$$T_{\min} \equiv T_1^{ETAL} < T_2^{ETAL} < \dots < T_{NT}^{ETAL} \equiv T_{\max} \quad (3.4a)$$

$$vg_{1,j}^{ETAL} < vg_{2,j}^{ETAL} < \dots < vg_{NP,j}^{ETAL} \quad \text{pour } j=1, \dots, NT \quad (3.4b)$$

De plus nous avons la caractéristique généralisée

$$v_{k,i,j}^{ETAL} = G^{-1}(p_i^{ETAL}, T_j^{ETAL}) \quad \text{pour } k=1,2,g \quad i=1, \dots, NP \quad \text{et } j=1, \dots, NT \quad (3.5)$$

Ces données sont sujettes aux erreurs de mesure  $\Delta T_j^{ETAL}$ ,  $\Delta p_i^{ETAL}$ ,  $\Delta v_{i,j}^{ETAL}$  qui satisfont les inégalités suivantes:

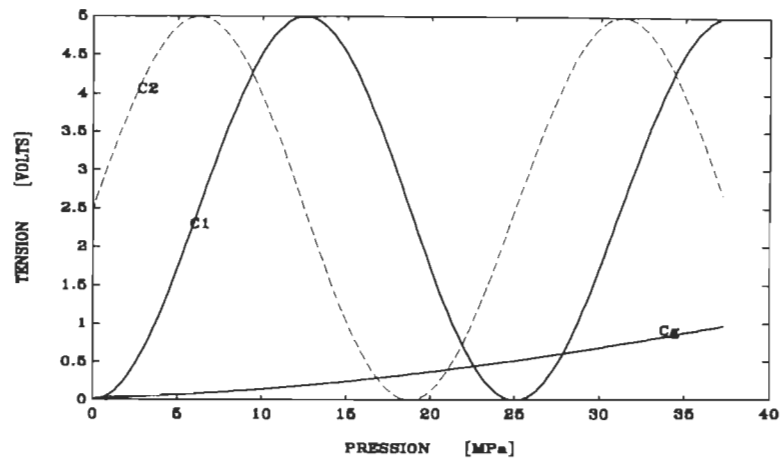
$$|\Delta t_j^{ETAL}| \leq \bar{\Delta t}^{ETAL}, \quad |\Delta p_i^{ETAL}| \leq \bar{\Delta p}^{ETAL}, \quad |\Delta v_{i,j}^{ETAL}| \leq \bar{\Delta v}^{ETAL} \quad (3.6)$$

où  $\bar{\Delta t}^{ETAL}$ ,  $\bar{\Delta p}^{ETAL}$ ,  $\bar{\Delta v}^{ETAL}$  sont les erreurs limites absolues caractérisant les mesures de  $T$ ,  $p$ ,  $v1$ ,  $v2$  et  $vg$ .

Avant de décrire chacune des procédures, il nous faut introduire certaines notations qui sont utilisées dans la description de certaines procédures. Les notations à définir sont les suivantes:

$[v_{\min}, v_{\max}]$	valeurs des tensions de sortie (des capteurs C1 C2) effectivement utilisées pour la reconstruction de la mesurande
$k$	indice des capteurs ( $k=1,2,G$ );
$m$	indice des fragments monotones des caractéristiques statiques des capteurs.
$Q^k$	nombre de fragments monotones de la caractéristique du capteur $C_k$ .
$p=f_{k,m}(v,T)$	inverse du $m^{\text{ième}}$ fragment monotone de la caractéristique statique du capteur $C_k$ .
$CC$	capteur de référence choisi pour la reconstruction fine du mesurande ( $C1$ ou $C2$ ).

Pour la première procédure nous considérons un système de trois capteurs  $C1$ ,  $C2$  et  $Cg$  dont les caractéristiques statiques sont répétées à la figure 3.1



**Figure 3.1** caractéristique des trois capteurs de pression pour une certaine température

Pour plus de simplicité nous définissons la fonction spline  $Spl(x; \underline{q})$  comme:

$$Spl(x; \underline{q}) = C1_n + C2_n(x - x_n) + C3_n(x - x_n)^2 + \dots + CM_n(x - x_n)^{M-1} \quad (3.7a)$$

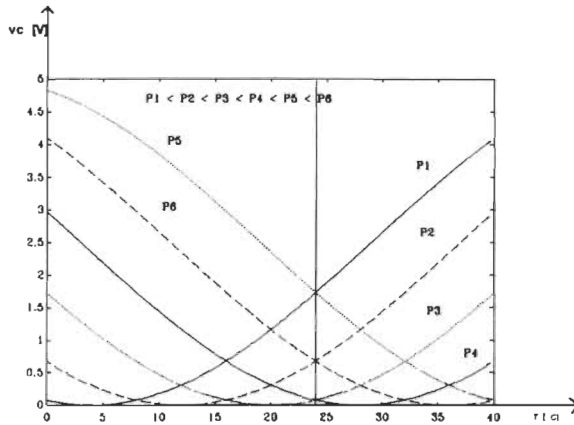
avec des paramètres

$$\underline{q} = [C1_1, C2_1, C3_1, \dots, CM_1, \dots, C1_{N-1}, C2_{N-1}, C3_{N-1}, \dots, CM_{N-1}]^T \quad (3.7b)$$

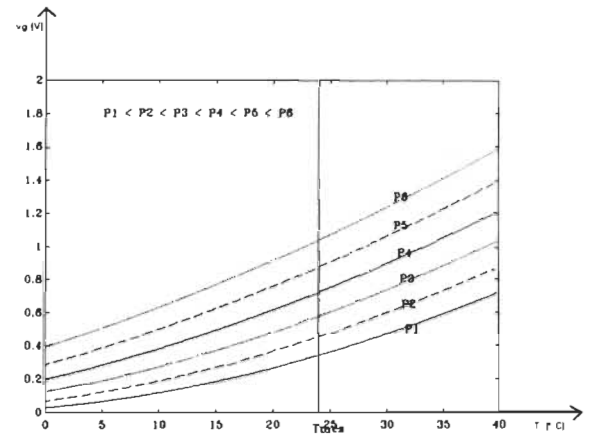
Cette spline peut être une spline d'interpolation où une spline de lissage. Les procédures seront décrites à partir de cette fonction générale.

Qualitativement la première procédure PCR1 peut être expliquée comme suit. Premièrement nous choisissons le capteur de référence C1 ou C2 qui minimise l'erreur du résultat final de mesure. Par la suite nous fabriquons un ensemble de fonctions splines approximant la caractéristique statique du capteur

choisi et du guide . Graphiquement ceci peut se représenter par les figures 3.2 et 3.3. Nous voyons que pour une température mesurée de 24 °C, nous avons une droite qui coupe plusieurs courbes, ceci autant pour le guide que pour le capteur choisit.

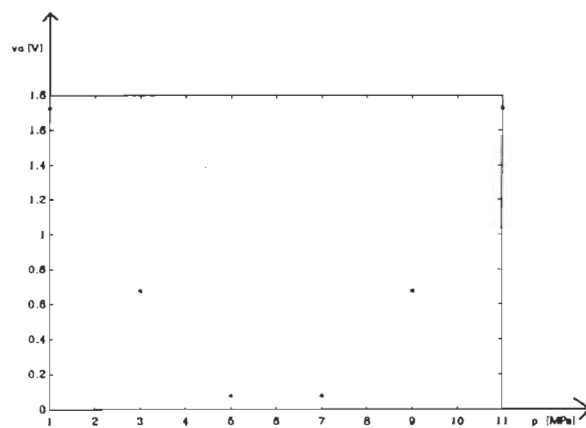


**Figure 3.2** Tension en fonction de la température pour le capteur choisit

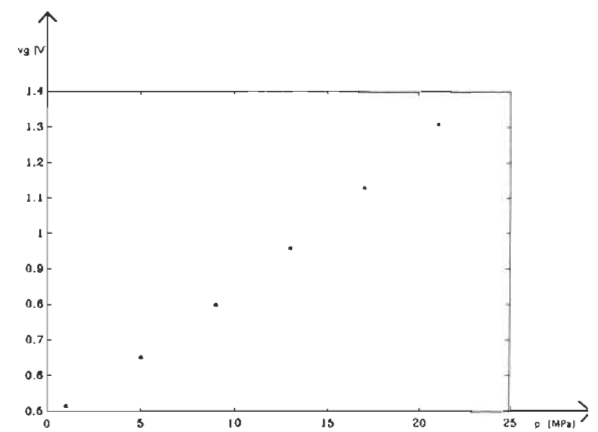


**Figure 3.3** Tension en fonction de la température pour le guide

Les points d'intersection de la droite avec les courbes sont interpolés à partir des splines créées auparavant. Après cette étape, nous avons, pour le guide et pour le capteur choisit, des ensembles de tensions et de pressions. Les figures 3.4 et 3.5 montrent la répartition de ces points.



**Figure 3.4** Tension en fonction de la pression pour le capteur choisit



**Figure 3.5** Tension en fonction de la pression pour le guide

Dans le cas particulier montré aux figures 3.2 à 3.5 si nous avons des mesures de tensions pour le capteur choisi de 1.1 volt et pour le guide de 0.8 volt, nous remarquons que pour la tension mesurée à la sortie du guide correspond une seule valeur de la pression. Par contre pour la tension mesurée à la sortie du capteur de référence correspondent deux valeurs de pression. Donc le guide ici sert à savoir laquelle de ces deux valeurs est adéquate.

Donc la première procédure d'étalonnage PCR1 est décrite comme suit:

1. choisir un capteur entre C1 et C2. Ce choix est basé sur la valeur de la pente de chaque capteur pour une pression locale. Le capteur possédant la pente la plus élevée sera choisit. Cette étape fournit la tension mesurée du capteur choisi  $vc_m$ , la tension mesurée du guide  $vg_m$  et la température mesurée  $t$ .

2. pour chaque valeur de référence  $p_i^{ETAL}$  ( $i=1, \dots, NP$ ) il faut déterminer les vecteurs de paramètres  $\underline{q}_i$  et  $\underline{qg}_i$  des fonctions

$$vc = Spl(t, \underline{q}_i) \quad (3.8)$$

$$vg = Spl(t; \underline{qg}_i) \quad (3.9)$$

approximant respectivement

$$\{t_j^{ETAL}, vc_{i,j}^{ETAL} \mid j = 1, \dots, NT\} \quad (3.10a)$$

$$\{t_j^{ETAL}, vg_{i,j}^{ETAL} \mid j = 1, \dots, NT\} \quad (3.10b)$$

3. pour la valeur mesurée de  $\hat{t}$ , il faut calculer les séquences de valeurs

$$\hat{vc}_i = Spl(\hat{t}, \underline{q}_i) \quad \text{pour } i=1, \dots, NP \quad (3.11)$$

$$\hat{v}g_i = Spl(\hat{t}; \underline{q}g_i) \quad \text{pour } i=1, \dots, NP \quad (3.12)$$

et les utiliser pour déterminer les vecteurs de paramètres  $\underline{q}(\hat{v}c)$  et  $\underline{q}(\hat{v}g)$  de d'autres fonctions splines

$$\hat{v}c = Spl(p, \underline{q}(\hat{v}c)) \quad (3.13)$$

$$\hat{v}g = Spl(p, \underline{q}(\hat{v}g)) \quad (3.14)$$

approximant respectivement les séquences de points

$$\{\rho_i^{ETAL}, \hat{v}c_i \mid i = 1, \dots, NP\} \quad (3.15a)$$

$$\{\rho_i^{ETAL}, \hat{v}g_i \mid i = 1, \dots, NP\} \quad (3.15b)$$

4. calculer la valeur approximative de la pression mesurée  $\hat{p}$  à l'aide de  $v g_m$

$$\hat{p} = \arg_p \{ Spl(p, \underline{q}(\hat{v}g)) = v g_m \} \quad (3.16)$$

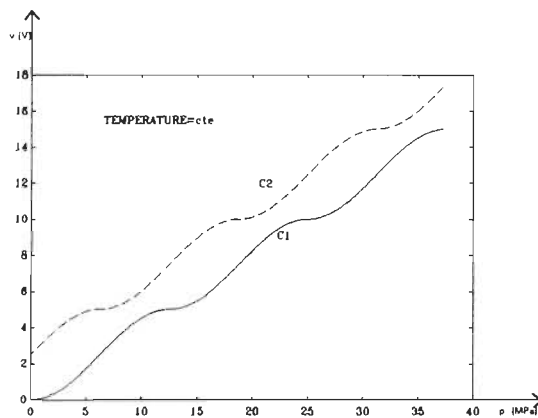
5. calculer la valeur de  $\hat{p}$  à l'aide de  $vc_m$ .

$$\hat{p} = \arg_p \{ Spl(p, \underline{q}(\hat{v}c)) = vc_m \} \quad (3.17)$$

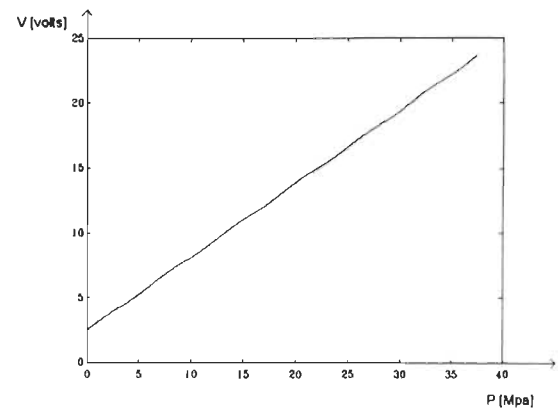
Comme la courbe de ce capteur est non monotone , il existe plusieurs valeurs satisfaisant (3.17). La discrimination de ces valeurs se fait à l'aide de l'expression (3.16) pour ainsi aboutir à une valeur qui représente plus fidèlement la pression réelle.

La procédure PCR2 est sensiblement pareille à la procédure PCR1. D'où pour cette procédure seulement la forme algorithmique est présentée. L'ensemble des programmes effectuant les deux procédures sont donnés en annexe.

La procédure PCR2 transforme les caractéristiques statiques des deux capteurs de référence en une seule monotone. Plus précisément la caractéristique de chacun des capteurs est transformée en une caractéristique monotone (figure 3.6) et à partir de ces deux caractéristiques monotones, une troisième est créée en utilisant les régions des deux caractéristiques servant au calcul de la pression (figure 3.7). Cette opération est effectuée pour chaque valeur de la température  $T_j^{ETAL}$ .



**Figure 3.6** Caractéristiques monotones de deux capteurs de référence



**Figure 3.7** Caractéristique monotone combinée des deux capteurs

Ici le guide sert à connaître la plage de pression dans laquelle se situe la valeur exacte. Plus précisément le guide sert à calculer un décalage qu'il faut ajouter à la tension fournie par le capteur de référence.

Donc pour la caractéristique combinée nous avons un ensemble de valeurs de tensions d'étalonnage appelées  $v_k$  qui proviennent de C1 ou C2 et qui ont la forme suivante:



$$vk_{1,j}^{ETAL} < vk_{2,j}^{ETAL} < \dots < vk_{NP,j}^{ETAL} \quad \text{pour } j=1, \dots, NT \quad (3.18)$$

La procédure PCR2 peut donc être décrite comme suit:

1. choisir un capteur entre C1 et C2. Ce choix est basé sur la valeur de la pente de chaque capteur pour une pression locale. Le capteur possédant la pente la plus élevée sera choisi. Cette étape fournit la tension mesurée du capteur choisi  $vc_m$ , la tension mesurée du guide  $vg_m$  et la température mesurée  $t$ .

2. pour chaque valeur de mesure  $p_i^{ETAL}$  ( $i=1, \dots, NP$ ), il faut déterminer les vecteurs de paramètres  $\underline{q}_i$  et  $\underline{qg}_i$  des fonctions

$$vk = Spl(t, \underline{q}_i) \quad (3.19)$$

$$vg = Spl(t; \underline{qg}_i) \quad (3.20)$$

approximant respectivement

$$\{t_j^{ETAL}, vk_{i,j}^{ETAL} \mid j = 1, \dots, NT\} \quad (3.21a)$$

$$\{t_j^{ETAL}, vg_{i,j}^{ETAL} \mid j = 1, \dots, NT\} \quad (3.21b)$$

3. pour la mesure de  $\hat{t}$ , les séquences de valeurs

$$\hat{vk}_i = Spl(\hat{t}, \underline{q}_i) \quad \text{pour } i=1, \dots, NP \quad (3.22)$$

$$\hat{vg}_i = Spl(\hat{t}; \underline{qg}_i) \quad \text{pour } i=1, \dots, NP \quad (3.23)$$

sont calculées et utilisées pour déterminer les vecteurs de paramètre  $\underline{q}(\hat{vk})$  et  $\underline{q}(\hat{vg})$  de d'autres fonctions splines

$$\hat{v}k = Spl(p, \underline{q}(\hat{v}k)) \quad (3.24)$$

$$\hat{v}g = Spl(p, \underline{q}(\hat{v}g)) \quad (3.25)$$

approximant respectivement les séquences de points

$$\{p_i^{ETAL}, \hat{v}k_i \mid i = 1, \dots, NP\} \quad (3.26a)$$

$$\{p_i^{ETAL}, \hat{v}g_i \mid i = 1, \dots, NP\} \quad (3.26b)$$

4. calculer la valeur approximative de  $\hat{p}$  à l'aide de  $vg_m$

$$\hat{p} = \arg_p \{Spl(p, \underline{q}(\hat{v}g)) = vg_m\} \quad (3.27)$$

5. à l'aide de  $\hat{p}$  estimé par le guide et connaissant le capteur qui a été choisi, calculer le décalage à ajouter à la tension mesurée  $vc_m$

$$vc_m = vc_m + dec(\hat{p}) \quad (3.28)$$

où  $dec(\hat{p})$  est le décalage fonction de  $\hat{p}$ .

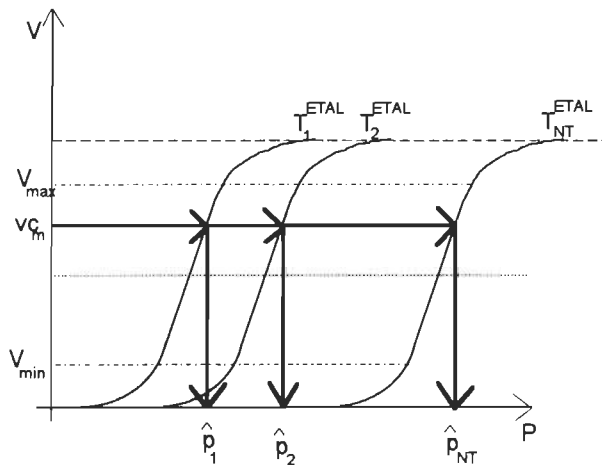
6. calculer  $\hat{p}$  à l'aide de  $vc_m$  déterminé à 5.

$$\hat{p} = \arg_p \{Spl(p, \underline{q}(\hat{v}k)) = vc_m\} \quad (3.29)$$

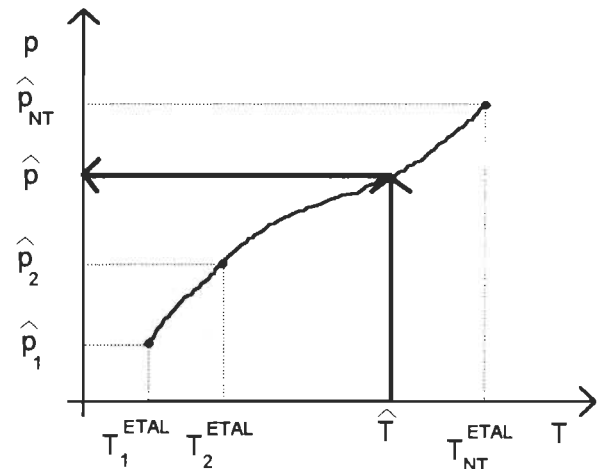
L'intérêt de cette procédure est dans la courbe quasi droite de la caractéristique combinée. Par contre vu que les données servant à l'étalonnage doivent être traitées pour créer la caractéristique combinée, il en résulte une plus faible maniabilité. Cet algorithme est très dépendant des données d'étalonnage. Donc pour remédier à ce problème une troisième procédure est développée. Elle est moins dépendante des données d'étalonnage que PCR2. Elle est un compromis entre PCR1 et PCR2.

La procédure PCR3 consiste à utiliser des fragments de la caractéristique des capteurs pour reconstruire le mesurande. Nous allons expliquer plus en détail ce procédé.

Pour une meilleur compréhension de la procédure PCR3 nous allons premièrement donner une explication qualitative. La première étape consiste à choisir le capteur qui sert à reconstruire la pression. Ensuite on reconstruit la pression à l'aide du guide. Connaissant une première approximation sur la pression, il nous est possible de construire, à partir de fragments de caractéristiques, un ensemble de courbes. Une fois cet ensemble construit, à l'aide de la tension mesurée provenant d'un des capteurs de précision on reconstruit la pression. Les figures 3.8 et 3.9 montrent ce procédé.



**Figure 3.8** Graphique représentant différents fragments de caractéristique pour différentes températures



**Figure 3.9** Graphique représentant la reconstruction de la pression à partir de la température

L'explication mathématique de la présentation qualitative peut se décrire comme suit. Premièrement il nous faut déterminer les données d'étalonnages. Ces données sont définies par l'équation (3.30).

$$D_k^{ETAL} = \bigcup_{m=1}^{Q_k} D_{k,m}^{ETAL} \quad \text{pour } k=1,2,G \quad (3.30)$$

où le sous-ensemble  $D_{k,m}^{ETAL}$  représente un fragment de la caractéristique du capteur  $C_k$  par  $p=f_{k,m}(v,T)$ . Plus particulièrement  $D_{k,m}^{ETAL}$  est définie par (3.31).

$$D_{k,m}^{ETAL} = \left\{ T_{k,m,j}^{ETAL}, \left\{ v_{k,m,i,j}^{ETAL} \mid j = 1, \dots, NV_k \right\} \mid i = 1, \dots, NT_k \right\} \quad (3.31)$$

Si la plage de pression est définie par  $[p_{\min}, p_{\max}]$ , il faut, pour la procédure 3, que les conditions suivantes soient respectées.

$$\begin{aligned} \max \left\{ f_{k,1}(v_{\min}, T_{k,1,i}^{ETAL}) \mid i = 1, \dots, NT_k \right\} &\leq p_{\min} \\ \min \left\{ f_{k,Q_k}(v_{\max}, T_{k,Q_k,j}^{ETAL}) \mid j = 1, \dots, NV_k \right\} &\geq p_{\max} \end{aligned} \quad (3.32)$$

pour  $k=1,2,G$ .

Donc à partir des ensembles de données définie par (3.30) et (3.31), on peut présenter la procédure 3 (PCR3).

1. choisir un capteur entre  $C_1$  et  $C_2$ . Ce choix est basé sur la valeur de la pente de chaque capteur pour une pression locale. Le capteur possédant la pente la plus élevée sera choisi. Cette étape fournit la

tension mesurée du capteur choisi  $vc_m$ , la tension mesurée du guide  $vg_m$  et la température mesurée  $T_m$ .

2. pour chaque valeur de mesure  $T_i^{ETAL}$ , avec  $i=1, \dots, NT$ , les vecteurs de paramètres  $\underline{q}_{i,m}$  et  $\underline{qg}_i$  sont déterminés à partir des fonctions

$$\rho = Spl(vc, \underline{q}_{i,m}) \quad (3.33)$$

$$\rho = Spl(vg, \underline{qg}_i) \quad (3.34)$$

approximant respectivement

$$\{vc_{m,i,j}^{ETAL}, \rho_{m,i,j}^{ETAL} \mid j = 1, \dots, NV, m = 1, \dots, Q_k\} \quad (3.35a)$$

$$\{vg_{i,j}^{ETAL}, \rho_{i,j}^{ETAL} \mid j = 1, \dots, NV\} \quad (3.35b)$$

3. pour la mesure de  $vg_m$ , la séquence de valeurs

$$\hat{\rho}g_i = Spl(vg_m, \underline{qg}_i) \quad \text{pour } i=1, \dots, NP \quad (3.36)$$

est calculée et utilisée pour déterminer le vecteur de paramètres  $\underline{q}(\hat{\rho}g)$

d'une autre fonction spline

$$\hat{\rho}g = Spl(T, \underline{q}(\hat{\rho}g)) \quad (3.37)$$

approximant la séquence de points

$$\{T_i^{ETAL}, \hat{\rho}g_i \mid i = 1, \dots, NT\} \quad (3.38)$$

4.  $\hat{\rho}$  approximé par le guide est donné par

$$\hat{\rho} = Spl(T, \underline{q}(\hat{\rho}g)) \quad (3.39)$$

5. pour la mesure de  $vc_m$ , et connaissant  $\hat{\rho}$  approximé par l'étape 4, nous déterminons la séquence de valeurs

$$\hat{p}c_i = Spl(vc_m, \underline{q}_{i,k}) \quad \text{pour } i=1, \dots, NT \text{ et } 1 \leq k \leq Q_k \quad (3.40)$$

où le fragment  $k$  à utiliser est déterminé par la connaissance de  $\hat{p}$  approximé par le guide. Ici  $k$  est une variable. Les valeurs de  $\hat{p}c_i$  servent à déterminer le vecteur de paramètres  $\underline{q}(\hat{p}c)$  d'une fonction spline

$$\hat{p}c = Spl(T, \underline{q}(\hat{p}c)) \quad (3.41)$$

approximant les points

$$\{T_i^{ETAL}, \hat{p}c_i \mid i = 1, \dots, NT\} \quad (3.42)$$

6. finalement la pression  $\hat{p}$  approximée par le capteur choisi est donnée par

$$\hat{p} = Spl(T_m, \underline{q}(\hat{p}c)) \quad (3.43)$$

### **3.2) Description de la méthode d'évaluation des algorithmes**

Les procédures PCR1, PCR2 et PCR3 ont été testées avec des données synthétiques générées à partir de la formule (3.44).

$$v = V_0 \cos^2[(Ap + BT + C)\pi] \quad (3.44)$$

avec les valeurs des paramètres A, B, C et  $V_0$  correspondant aux capteurs C1, C2 et Cg données dans la table 1. Comme montré dans [BAR90a] , cette formule est un modèle qui idéalise le capteur de pression à fibre optique.

**TABLE 1.** Valeur des paramètres du modèle (3.44) pour les capteurs C1, C2, Cg

	A	B	C	$V_0$
C1	1/25	1/100	-1/4	5.0
C2	1/25	1/100	1/2	5.0
Cg	1/300	1/400	25/48	5.0

Les données exactes

$$\left\{ \dot{p}_i, \left\{ \dot{T}_{i,j}, \dot{v}_{1,i,j}, \dot{v}_{2,i,j}, \dot{v}_{g,i,j} \mid j = 1, \dots, NT \right\} \mid i = 1, \dots, NP \right\} \quad (3.45)$$

simulées à partir de (3.44) furent perturbées par l'addition de nombres pseudo-aléatoires  $\{ \Delta p_i \}$ ,  $\{ \Delta T_{i,j} \}$ ,  $\{ \Delta v_{1,i,j} \}$ ,  $\{ \Delta v_{2,i,j} \}$ ,  $\{ \Delta v_{g,i,j} \}$  distribuées uniformément autour de zéro. Ceci fût réalisé pour introduire l'effet des erreurs de mesure lors de l'étalonnage , soit

$$\begin{aligned}
p_i^{ETAL} &= \dot{p}_i + \Delta p_i & |\Delta p_i| &\leq \overline{\Delta p}^{ETAL} \\
T_{i,j}^{ETAL} &= \dot{T}_{i,j} + \Delta T_{i,j} & |\Delta T_{i,j}| &\leq \overline{\Delta T}^{ETAL} \\
v_{1,i,j}^{ETAL} &= \dot{v}_{1,i,j} + \Delta v_{1,i,j} & |\Delta v_{1,i,j}| &\leq \overline{\Delta v}^{ETAL} \\
v_{2,i,j}^{ETAL} &= \dot{v}_{2,i,j} + \Delta v_{2,i,j} & |\Delta v_{2,i,j}| &\leq \overline{\Delta v}^{ETAL} \\
v_{G,i,j}^{ETAL} &= \dot{v}_{G,i,j} + \Delta v_{G,i,j} & |\Delta v_{G,i,j}| &\leq \overline{\Delta v}^{ETAL}
\end{aligned}$$

où  $\overline{\Delta p}^{ETAL}$ ,  $\overline{\Delta T}^{ETAL}$  et  $\overline{\Delta v}^{ETAL}$  sont les erreurs limites absolues des mesures de pression, de la tension et de la température.

Pour valider les procédures PCR1, PCR2 et PCR3, un ensemble de données d'évaluation est créé

$$\left\{ \dot{p}_i^{VAL}, \left\{ \dot{T}_{i,j}^{VAL}, \dot{v}_{1,i,j}^{VAL}, \dot{v}_{2,i,j}^{VAL}, \dot{v}_{G,i,j}^{VAL} \mid j = 1, \dots, 3NT - 3 \right\} \mid i = 1, \dots, 3NP - 3 \right\} \quad (3.46)$$

où les valeurs de pression et de températures sont choisies approximativement égales à

$$0.75\dot{p}_i^{ETAL} + 0.25\dot{p}_{i+1}^{ETAL}; \quad 0.5\dot{p}_i^{ETAL} + 0.5\dot{p}_{i+1}^{ETAL}; \quad 0.25\dot{p}_i^{ETAL} + 0.75\dot{p}_{i+1}^{ETAL};$$

$$0.75\dot{T}_i^{ETAL} + 0.25\dot{T}_{i+1}^{ETAL}; \quad 0.5\dot{T}_i^{ETAL} + 0.5\dot{T}_{i+1}^{ETAL}; \quad 0.25\dot{T}_i^{ETAL} + 0.75\dot{T}_{i+1}^{ETAL};$$



Un tel choix de points de mesures semble garantir le pire cas possible pour l'évaluation des algorithmes [BAR92]. Donc l'évaluation des procédures se fait par la méthodologie suivante:

1. Pour les quartets  $\langle \dot{T}_{i,j}^{VAL}, \dot{v}_{1,j}^{VAL}, \dot{v}_{2,j}^{VAL}, \dot{v}_{G,j}^{VAL} \rangle$  les estimées  $\hat{p}_{i,j}^{VAL}$  des pression  $\dot{p}_i^{VAL}$  sont calculées par la procédure étudiée. De plus les erreurs limites locales d'étalonnage sont calculées.

$$\overline{\Delta \hat{p}}_{i,j} = |\hat{p}_{i,j}^{VAL} - \dot{p}_i^{VAL}| \quad (3.47)$$

2. L'erreur relative limite est déterminée selon la formule

$$\overline{\delta \hat{p}} = \max \left\{ \frac{\overline{\Delta \hat{p}}_{i,j}}{\dot{p}_i^{VAL}} \mid i = 1, \dots, 3NP - 3, j = 1, \dots, 3NT - 3 \right\} \quad (3.48)$$

Le choix de la meilleure procédure se fera selon ces deux critères. Donc une évaluation des trois procédures est présentée dans la prochaine section.

### **3.3) Résultats obtenus pour les procédures PCR1, PCR2 et PCR3**

Nous allons présenter les résultats pour chaque algorithmes décrits précédemment. Les gammes de pressions et de températures sont comprises à l'intérieur des limites suivantes:

$$p_{\min}=1 \text{ MPa}$$

$$T_{\min}=0 \text{ °C}$$

$$p_{\max}=26 \text{ MPa}$$

$$T_{\max}=30 \text{ °C}$$

Pour les procédures PCR1, PCR2 et PCR3 les simulations furent effectuées pour différentes valeurs d'erreurs sur les tensions, pressions et températures. De plus différents types de splines furent utilisées pour chacune de ces erreurs. Vue la grande quantité de résultats obtenus, seul les résultats les plus significatifs sont présentés aux figures 3.10 à 3.37.

Les résultats montrés aux figures 3.10 à 3.13 sont calculées en utilisant des splines cubiques d'interpolation. D'où les paramètres de la fonction  $Spl(x;\underline{q})$

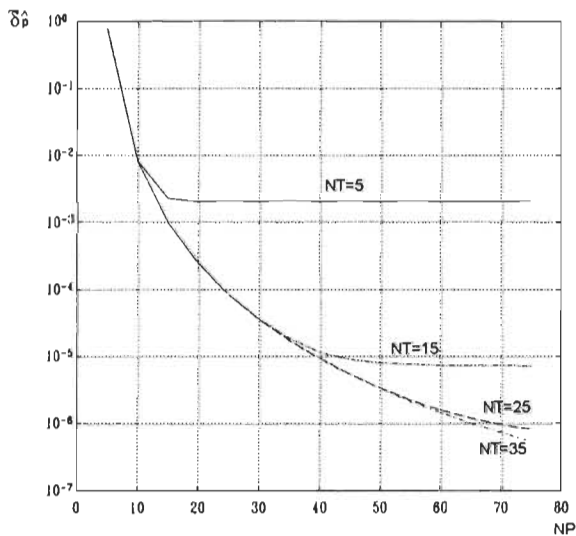
$$Spl(x;\underline{q}) = A_n + B_n(x - x_n) + C_n(x - x_n)^2 + D_n(x - x_n)^3 \quad (3.49)$$

sont définies. De plus deux paramètres libres  $B_0$  et  $B_n$  sont approximés à partir d'une dérivée analytique d'un polynôme de Lagrange de degré trois, au lieu d'être posés à zéro.

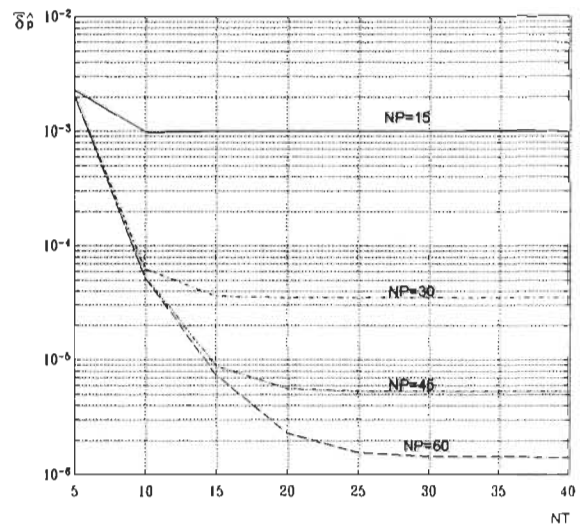
Les résultats montrés aux figures 3.14 à 3.17 sont calculées en utilisant des splines polynômiales (voir chap. 2) et les résultats montrés aux figures 3.18 à 3.21 utilisent des splines de lissage par la méthode de Reinsch [REI67].

Les erreurs introduites pour la température, pression et les tensions sont supposées suivre une loi uniforme et les simulations sont faites sur HPBASIC et MATLAB.

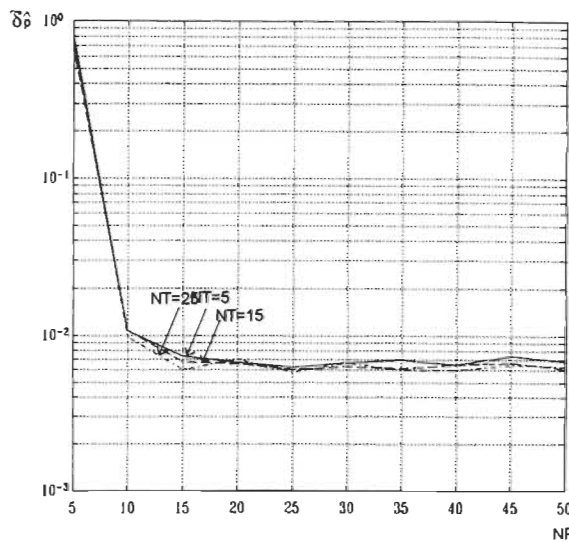
Les quatres premières figures présentent les résultats obtenues à partir de PCR1 et des splines cubiques d'interpolations



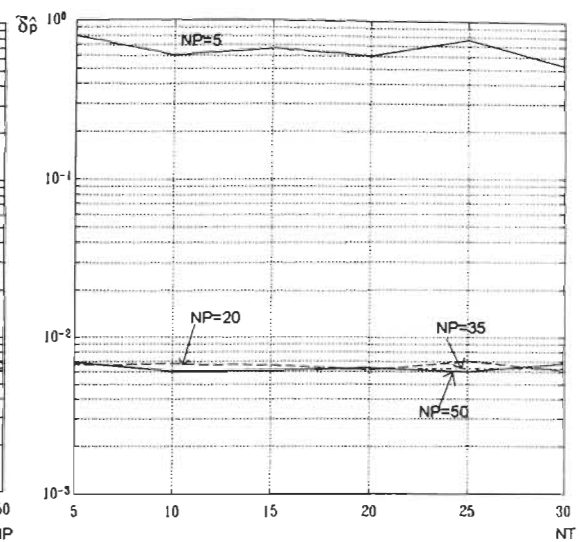
**Figure 3.10** Dépendance de l'erreur relative limite en fonction du nombre de de pressions (NP) utilisées pour l'étalonnage par PCR1:  $\Delta p=0.0$  MPa  $\Delta T=0.0$  °C,  $\Delta v=0.0$  V.



**Figure 3.11** Dépendance de l'erreur relative limite en fonction du nombre de températures (NT) utilisées pour l'étalonnage par PCR1:  $\Delta p=0.0$  MPa  $\Delta T=0.0$  °C,  $\Delta v=0.0$  V.

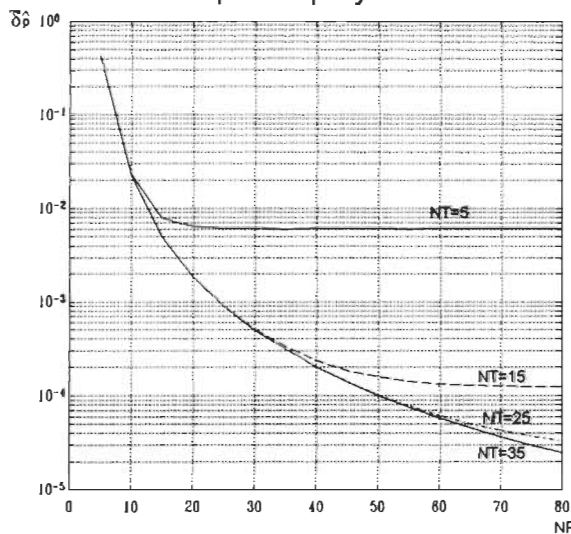


**Figure 3.12** Dépendance de l'erreur relative limite en fonction du nombre de de pressions (NP) utilisées pour l'étalonnage par PCR1:  $\Delta p=0.01$  MPa  $\Delta T=0.01$  °C,  $\Delta v=0.002$  V.

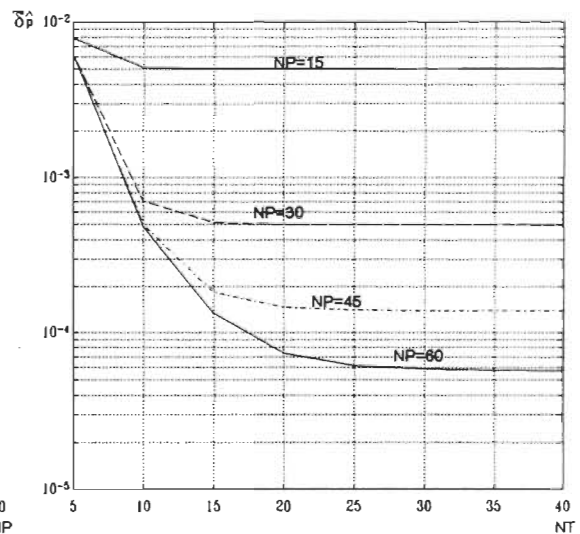


**Figure 3.13** Dépendance de l'erreur relative limite en fonction du nombre de températures (NT) utilisées pour l'étalonnage par PCR1:  $\Delta p=0.01$  MPa  $\Delta T=0.01$  °C,  $\Delta v=0.002$  V.

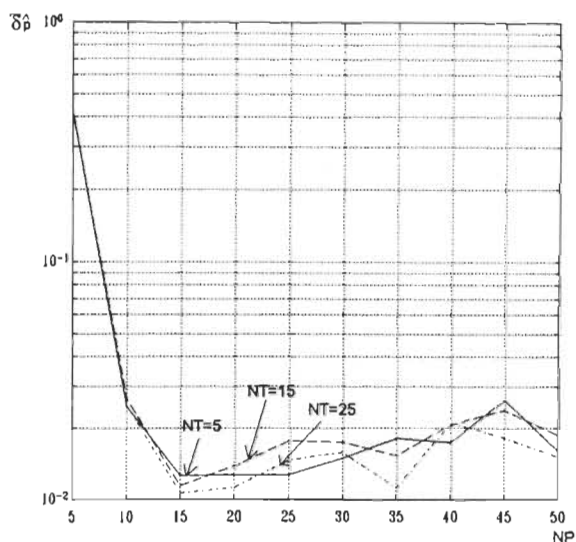
Les quatres prochaines figures présentent les résultats obtenus à partir de PCR1 et des splines polynômiales.



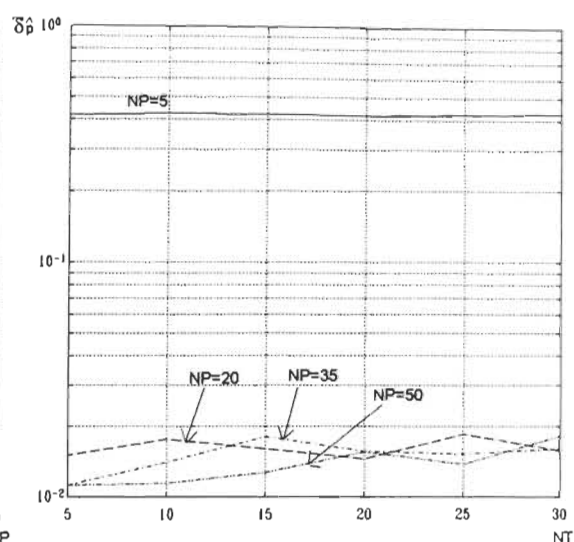
**Figure 3.14** Dépendance de l'erreur relative limite en fonction du nombre de de pressions (NP) utilisées pour l'étalonnage par PCR1:  $\Delta p=0.0$  MPa  $\Delta T=0.0$  °C,  $\Delta v=0.0$  V.



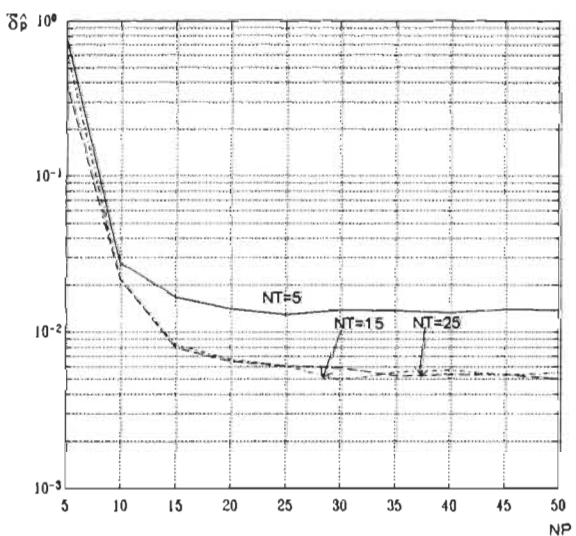
**Figure 3.15** Dépendance de l'erreur relative limite en fonction du nombre de températures (NT) utilisées pour l'étalonnage par PCR1:  $\Delta p=0.0$  MPa  $\Delta T=0.0$  °C,  $\Delta v=0.0$  V.



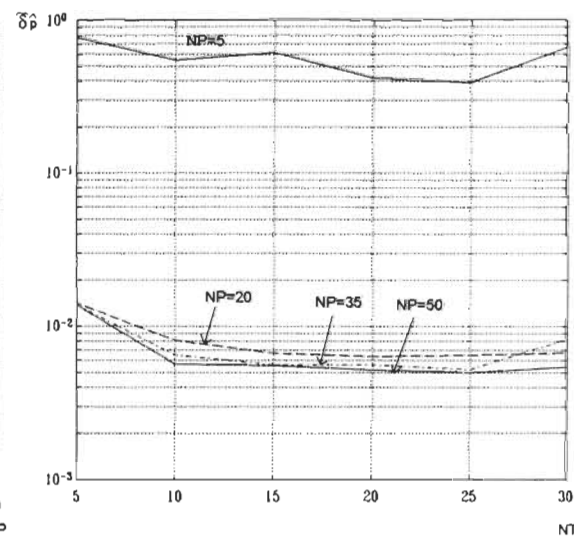
**Figure 3.16** Dépendance de l'erreur relative limite en fonction du nombre de de données (NP) utilisées pour l'étalonnage de PCR1:  $\Delta p=0.01$  MPa  $\Delta T=0.01$  °C,  $\Delta v=0.002$  V.



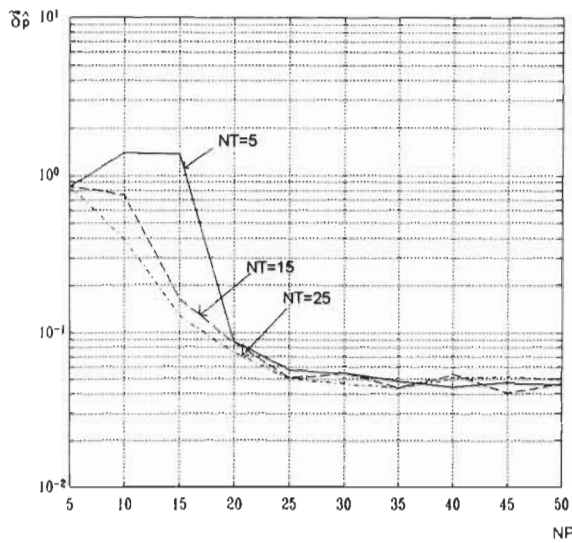
**Figure 3.17** Dépendance de l'erreur relative limite en fonction du nombre de données (NT) utilisées pour l'étalonnage de PCR1:  $\Delta p=0.01$  MPa  $\Delta T=0.01$  °C,  $\Delta v=0.002$  V.



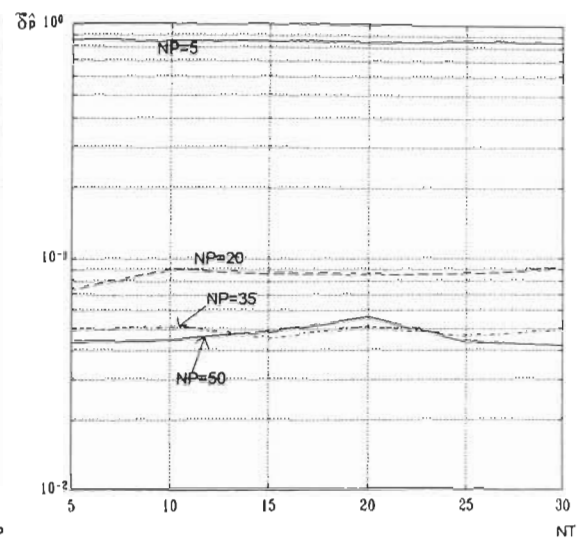
**Figure 3.18** Dépendance de l'erreur relative limite en fonction du nombre de de pressions (NP) utilisées pour l'étalonnage par PCR1:  $\Delta p=0.01$  MPa  $\Delta T=0.01$  °C,  $\Delta v=0.002$  V.



**Figure 3.19** Dépendance de l'erreur relative limite en fonction du nombre de températures (NT) utilisées pour l'étalonnage par PCR1:  $\Delta p=0.01$  MPa  $\Delta T=0.01$  °C,  $\Delta v=0.002$  V.



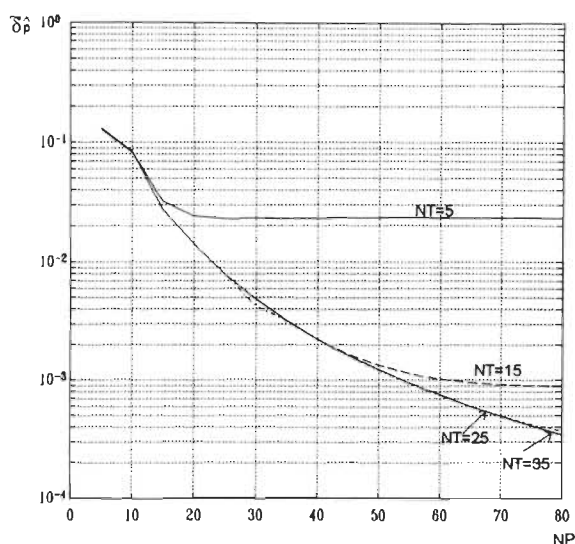
**Figure 3.20** Dépendance de l'erreur relative limite en fonction du nombre de de pressions (NP) utilisées pour l'étalonnage par PCR1:  $\Delta p=0.05$  MPa  $\Delta T=0.05$  °C,  $\Delta v=0.002$  V.



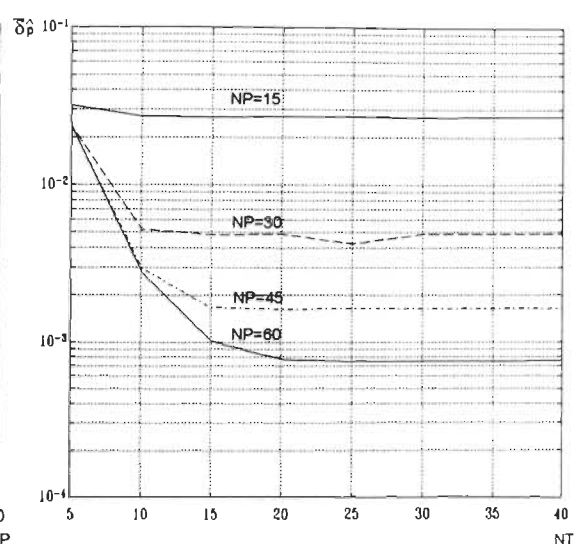
**Figure 3.21** Dépendance de l'erreur relative limite en fonction du nombre de températures (NT) utilisées pour l'étalonnage par PCR1:  $\Delta p=0.05$  MPa  $\Delta T=0.05$  °C,  $\Delta v=0.002$  V.

D'après les résultats obtenues à partir de PCR1 avec les données synthétiques, nous remarquons que l'emploi de splines cubiques donnent les meilleurs résultats. Il est par ce fait possible de dire que l'utilisation des splines de lissage doivent être de type cubique.

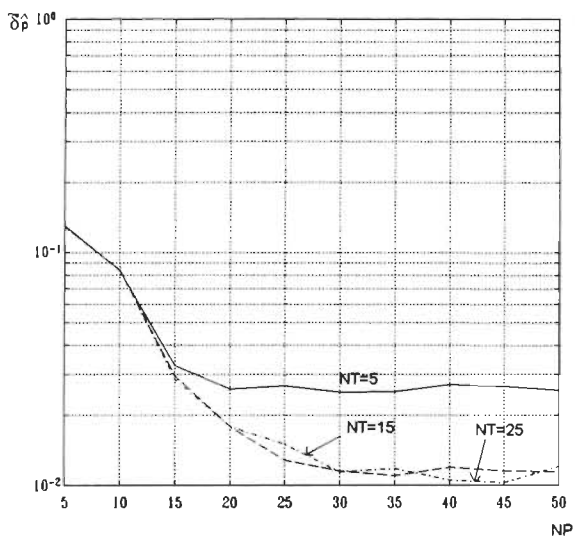
Les figures 3.22 à 3.33 montrent les résultats obtenus lorsqu'on utilise PCR2 avec différents type de splines. Les figures 3.22 à 3.25 montrent l'emploi de PCR2 avec des splines cubiques d'interpolation.



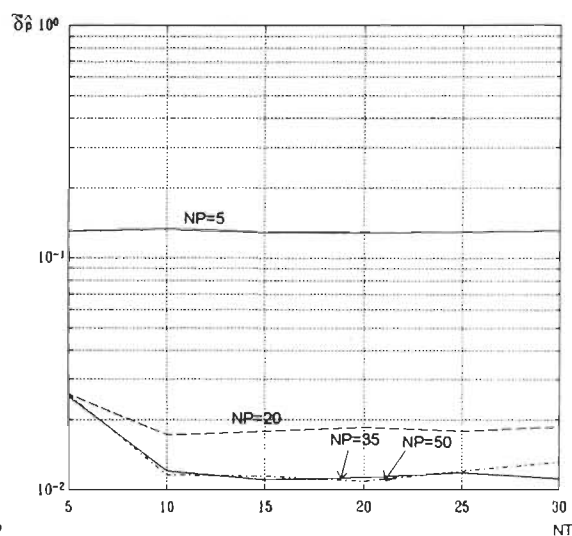
**Figure 3.22** Dépendance de l'erreur relative limite en fonction du nombre de pressions (NP) utilisées pour l'étalonnage par PCR2:  $\Delta p=0.0$  MPa  $\Delta T=0.0$  °C,  $\Delta v=0.0$  V.



**Figure 3.23** Dépendance de l'erreur relative limite en fonction du nombre de températures (NT) utilisées pour l'étalonnage par PCR2:  $\Delta p=0.0$  MPa  $\Delta T=0.0$  °C,  $\Delta v=0.0$  V.

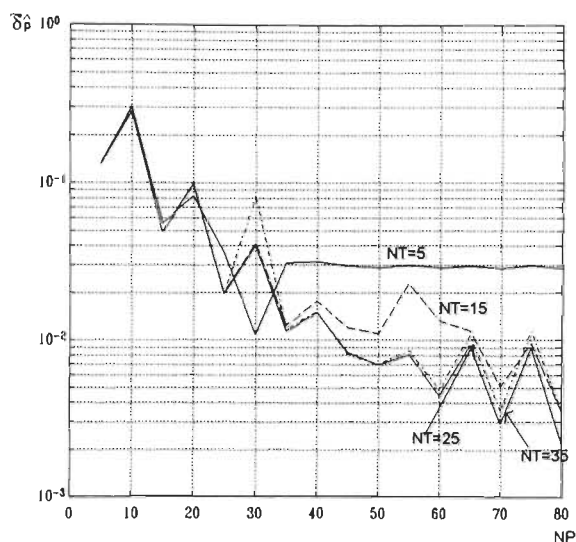


**Figure 3.24** Dépendance de l'erreur relative limite en fonction du nombre de de pressions (NP) utilisées pour l'étalonnage par PCR2:  $\Delta p=0.01$  MPa  $\Delta T=0.01$  °C,  $\Delta v=0.002$  V.

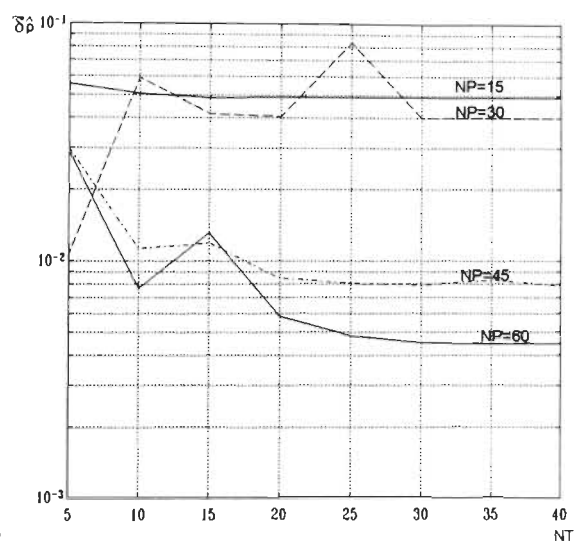


**Figure 3.25** Dépendance de l'erreur relative limite en fonction du nombre de températures (NT) utilisées pour l'étalonnage par PCR2:  $\Delta p=0.01$  MPa  $\Delta T=0.01$  °C,  $\Delta v=0.002$  V.

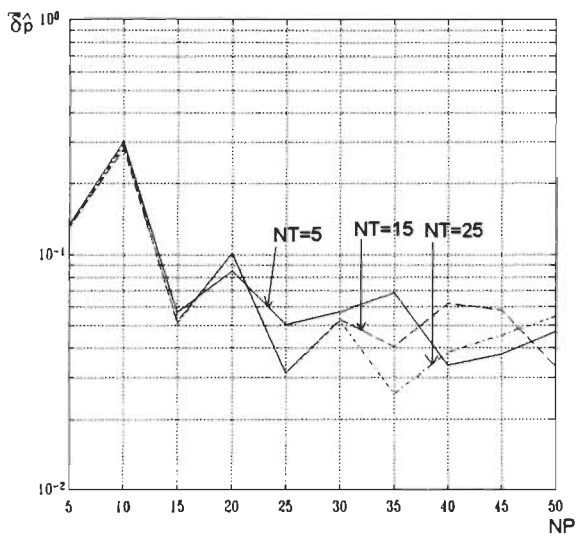
Les figurent 3.26 à 3.29 présentent les résultats obtenus à partir de PCR2 et des splines polynômiales.



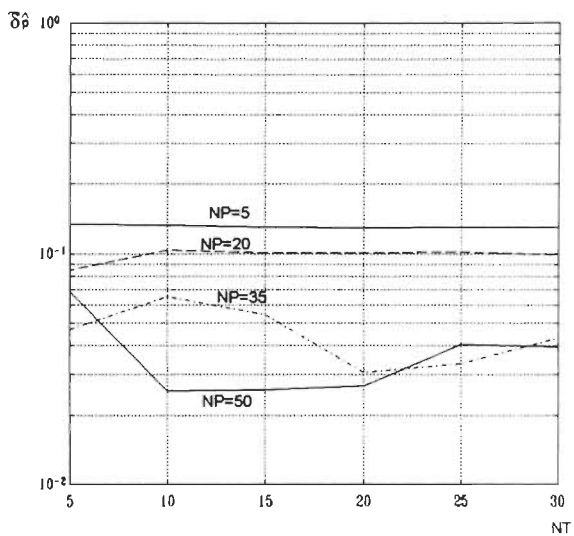
**Figure 3.26** Dépendance de l'erreur relative limite en fonction du nombre de de pressions (NP) utilisées pour l'étalonnage par PCR2:  $\Delta p=0.0$  MPa  $\Delta T=0.0$  °C,  $\Delta v=0.0$  V.



**Figure 3.27** Dépendance de l'erreur relative limite en fonction du nombre de températures (NT) utilisées pour l'étalonnage par PCR2:  $\Delta p=0.0$  MPa  $\Delta T=0.0$  °C,  $\Delta v=0.0$  V.



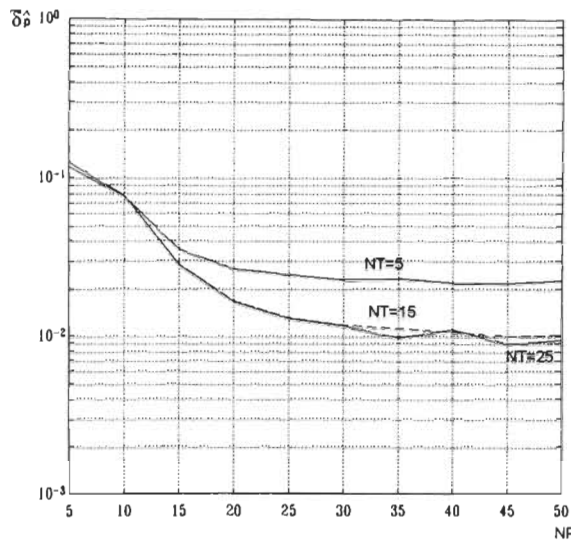
**Figure 3.28** Dépendance de l'erreur relative limite en fonction du nombre de de pressions (NP) utilisées pour l'étalonnage par PCR2:  $\Delta p=0.01$  MPa  $\Delta T=0.01$  °C,  $\Delta v=0.002$  V.



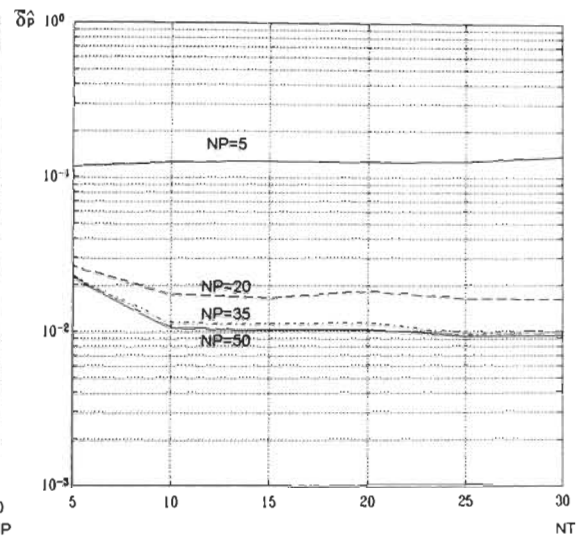
**Figure 3.29** Dépendance de l'erreur relative limite en fonction du nombre de températures (NT) utilisées pour l'étalonnage par PCR2:  $\Delta p=0.01$  MPa  $\Delta T=0.01$  °C,  $\Delta v=0.002$  V.

Les figures 3.30 à 3.33 montrent les résultats obtenus lorsqu'on utilise PCR2 avec des splines cubiques de lissage.

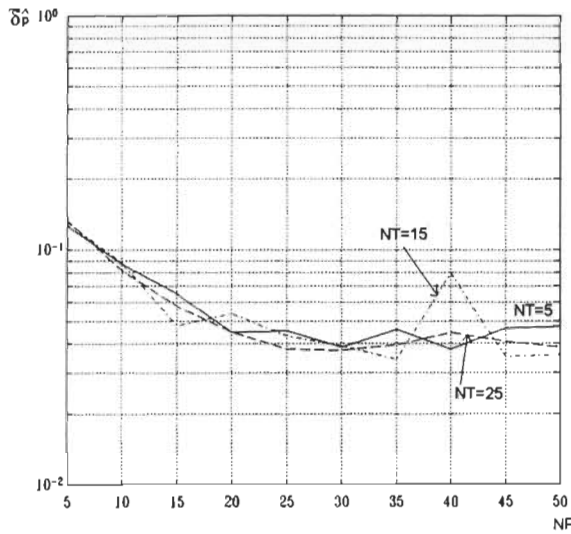




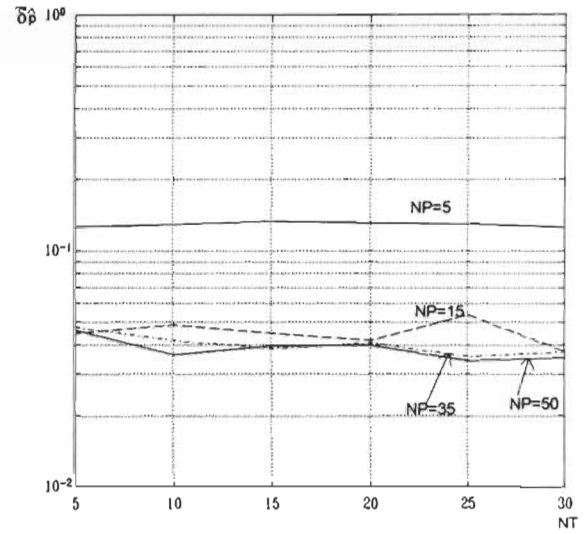
**Figure 3.30** Dépendance de l'erreur relative limite en fonction du nombre de de pressions (NP) utilisées pour l'étalonnage par PCR2:  $\Delta p=0.01$  MPa  $\Delta T=0.01$  °C,  $\Delta v=0.002$  V.



**Figure 3.31** Dépendance de l'erreur relative limite en fonction du nombre de températures (NT) utilisées pour l'étalonnage par PCR2:  $\Delta p=0.01$  MPa  $\Delta T=0.01$  °C,  $\Delta v=0.002$  V.



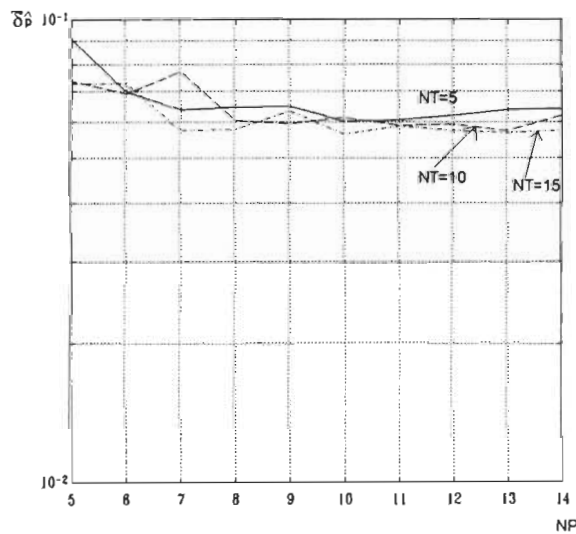
**Figure 3.32** Dépendance de l'erreur relative limite en fonction du nombre de de pressions (NP) utilisées pour l'étalonnage par PCR2:  $\Delta p=0.05$  MPa  $\Delta T=0.05$  °C,  $\Delta v=0.002$  V.



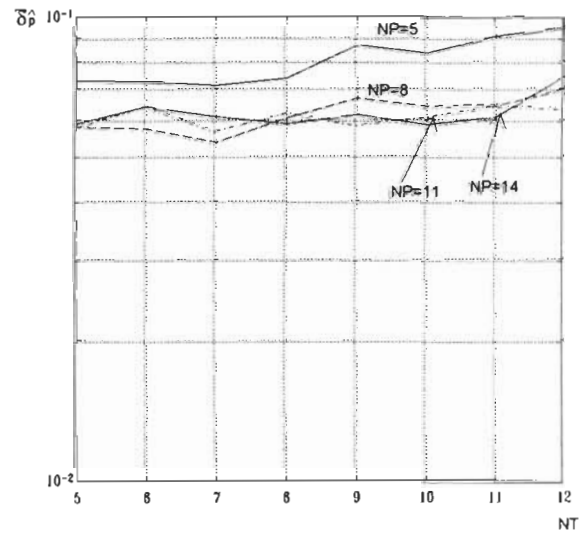
**Figure 3.33** Dépendance de l'erreur relative limite en fonction du nombre de températures (NT) utilisées pour l'étalonnage par PCR2:  $\Delta p=0.05$  MPa  $\Delta T=0.05$  °C,  $\Delta v=0.002$  V.

Après l'étude des procédures PCR1 et PCR2, nous remarquons que l'utilisation de splines cubiques donne de meilleurs résultats que l'utilisation de splines polynômiales. Par ailleurs les splines cubiques de lissage semblent peu performantes. Ceci est dû à un surlissage des données. Donc pour les simulations de PCR3 les splines cubiques de lissage sont utilisées pour l'étalonnage et les splines cubiques d'interpolation sont considérées pour la reconstruction. Pour PCR3 l'étape étalonnage correspond aux points 1 et 2 de PCR3 et l'étape reconstruction correspond aux points 3, 4, 5, 6 de PCR3.

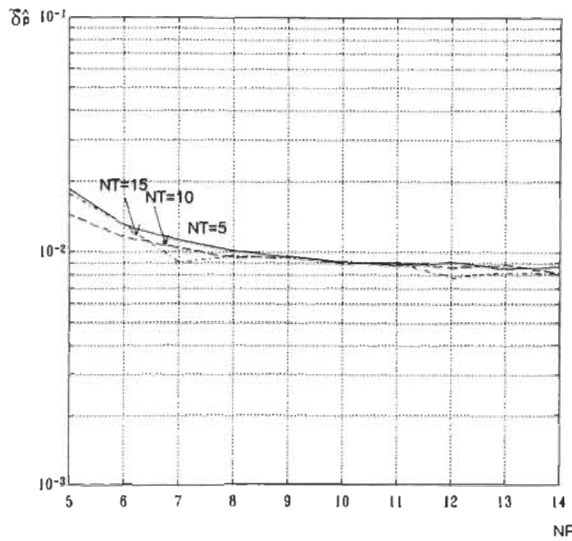
Les figures 3.34 à 3.37 montrent les résultats de simulation obtenu à partir de PCR3 et de deux ensembles d'erreurs différents.



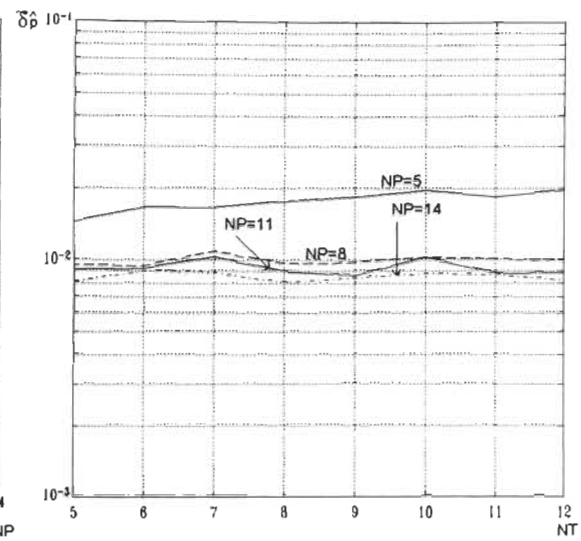
**Figure 3.34** Dépendance de l'erreur relative limite en fonction du nombre de pressions (NP) utilisées pour l'étalonnage par PCR3:  $\Delta p=0.1$  MPa  $\Delta T=0.05$  °C,  $\Delta v=0.002$  V.



**Figure 3.35** Dépendance de l'erreur relative limite en fonction du nombre de températures (NT) utilisées pour l'étalonnage par PCR3:  $\Delta p=0.1$  MPa  $\Delta T=0.05$  °C,  $\Delta v=0.002$  V.



**Figure 3.36** Dépendance de l'erreur relative limite en fonction du nombre de de pressions (NP) utilisées pour l'étalonnage par PCR3:  $\Delta p=0.01$  MPa  $\Delta T=0.01$  °C,  $\Delta v=0.002$  V.



**Figure 3.37** Dépendance de l'erreur relative limite en fonction du nombre de températures (NT) utilisées pour l'étalonnage par PCR3:  $\Delta p=0.01$  MPa  $\Delta T=0.01$  °C,  $\Delta v=0.002$  V.

Cette procédure semble être celle qui est le moins sensible aux erreurs de données de références utilisées pour l'étalonnage. De plus elle est souple ce qui lui permet de bien s'adapter aux variations des données d'étalonnage. Ici la souplesse de la procédure est caractérisée par le fait qu'elle utilise des fragments de la caractéristique qui sont quasi-linéaires et que les splines sont construites à partir de ces fragments de caractéristiques. Ceci fait que la procédure fonctionne bien même lorsque les données sont bruitées. Donc nous disons que cette procédure est souple.

### **3.4) Choix d'un algorithme**

Parmi les critères possibles qui déterminent le choix d'une procédure, les deux critères qui semblent les plus importants pour le système de mesure traité sont :

- exactitude de mesure
- souplesse de l'algorithme

Si nous comparons les résultats obtenues pour chaque algorithme, nous remarquons que la procédure la moins sensible aux erreurs de données utilisées par l'étalonnage est PCR3. Vient par la suite PCR1 et PCR2.

Au niveau souplesse de la procédure, PCR1 semble être la plus souple car aucun prétraitement des données d'étalonnage est requis pour la faire converger à des valeurs de pressions adéquates. PCR2 semble être l'algorithme le moins souple dû à la construction de la caractéristique des capteurs à partir de caractéristiques auxiliaires.

Si nous regardons pour un algorithme en particulier répondant à une bonne exactitude et une bonne souplesse, PCR3 semble être le meilleur choix. D'où la vérification avec les données réelles se fera pour PCR3 seulement.

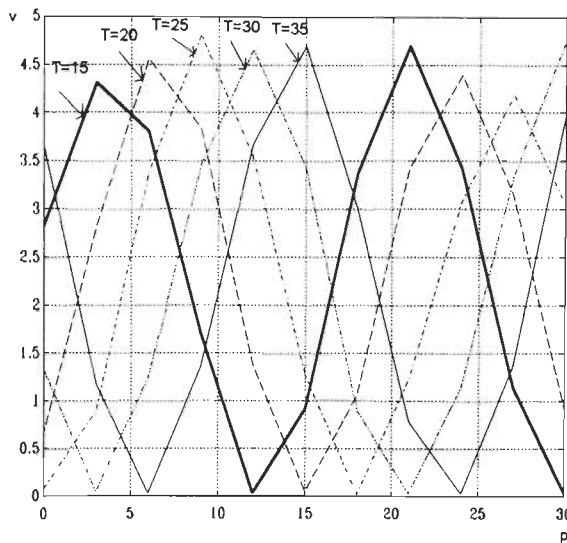
## CHAPITRE 4

### **RESULTATS PRATIQUES**

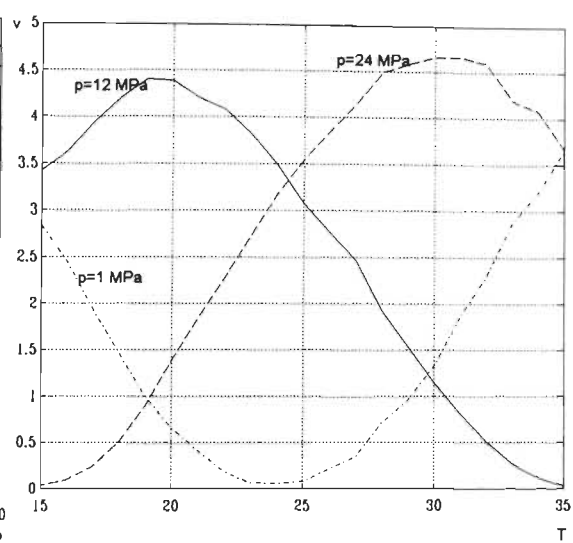
Ce chapitre a pour but de montrer l'exactitude d'une procédure choisie avec des données réelles. Dans ce chapitre nous commençons par la présentation des données réelles. À la section 4.2 nous présentons comment utiliser les données pour bien tester la procédure. À la section 4.3 les résultats obtenus à partir de la procédure sont présentés. Finalement une discussion sur les résultats obtenus est présenté à la section 4.4.

#### **4.1) Présentation des données réelles**

Les valeurs numériques des données réelles sont fournies à l'annexe B. Comme le montre les figures 4.1 et 4.2, les données réelles sont similaires aux données synthétiques. Pour les données synthétiques nous avons considérées une faible sensibilité du capteur aux variations de la température et des extrémums constants. Les données réelles montrent une forte sensibilité aux variations de la température et une variation des extrémums non négligeable.



**Figure 4.1** Données réelles pour un capteur de référence: tension de sortie en fonction de la pression pour différentes températures



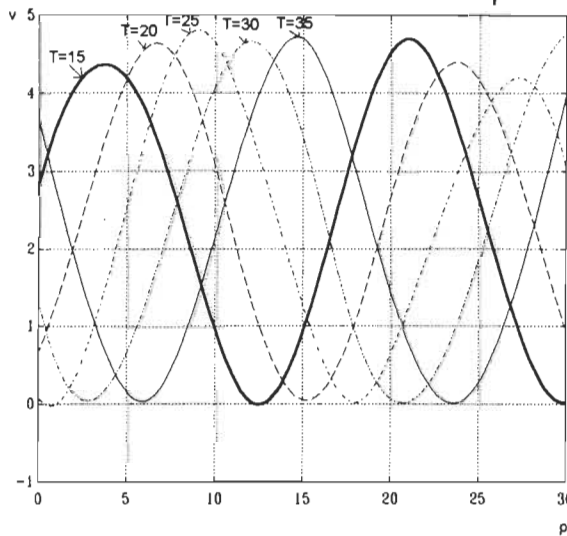
**Figure 4.2** Données réelles pour un capteur de référence: tension de sortie en fonction de la température pour différentes pressions

Nous allons utiliser la procédure PCR3 avec des splines cubiques d'interpolation. Comme nous ne connaissons pas exactement les erreurs de mesure sur les données réelles, nous considérons que ces erreurs sont inférieure aux erreurs de mesure des données synthétiques. La prochaine section montre comment utiliser les données réelles pour les simulations.

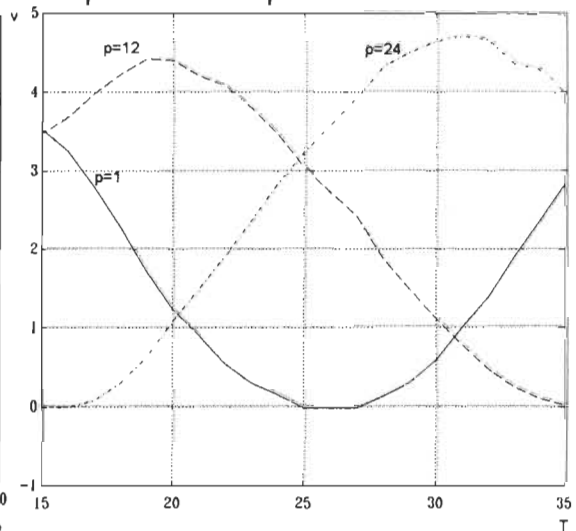
#### **4.2) Utilisation des données réelles**

Les données réelles considérées sont pour un capteur de référence. Comme la seule différence entre les deux capteurs de référence est un déphasage de leurs caractéristiques statiques, alors les données réelles obtenues sont valides pour les deux capteurs de référence. Pour le guide nous allons considérer les données synthétiques parce qu'il n'influence pas l'exactitude de la mesure.

Pour fin de validation, les données réelles sont utilisées pour construire des splines d'interpolation. Ces splines servent de références. D'où pour NP valeurs de pressions et NT valeurs de températures on peut, à l'aide des courbes de références, déterminer [NPxNT] valeurs de tensions. Cet ensemble de pressions, températures et tensions sert à valider PCR3. Les figures 4.3 et 4.4 montrent les courbes de référence obtenues à partir des splines d'interpolation



**Figure 4.3** Courbes obtenues à partir de splines créées à partir de données réelles. Ces courbes représentent la tension en fonction de la pression pour différentes températures



**Figure 4.4** Courbes obtenues à partir de splines créées à partir de données réelles. Ces courbes représentent le tension en fonction de la température pour différentes pressions

L'évaluation de la procédure se fait comme décrit au chapitre 3 à l'exception que les erreurs sont évaluées à l'aide des pressions, températures et tensions réelles.

Donc il nous est possible par la méthode décrite précédemment de vérifier PCR3 pour différents nombres de pressions et de températures.

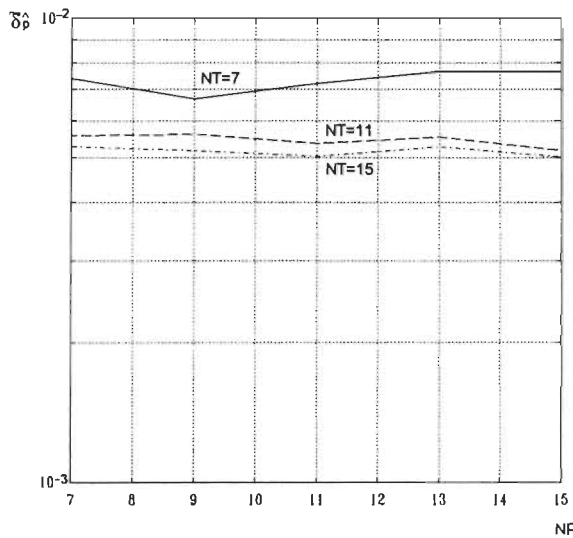
Comme les données réelles sont considérées sans bruit, nous les affectons de différentes valeurs d'erreurs pour voir comment l'algorithme se comporte. La prochaine section montre les résultats obtenus à l'aide de PCR3.

#### **4.3) Résultats pratiques obtenus pour la procédure PCR3**

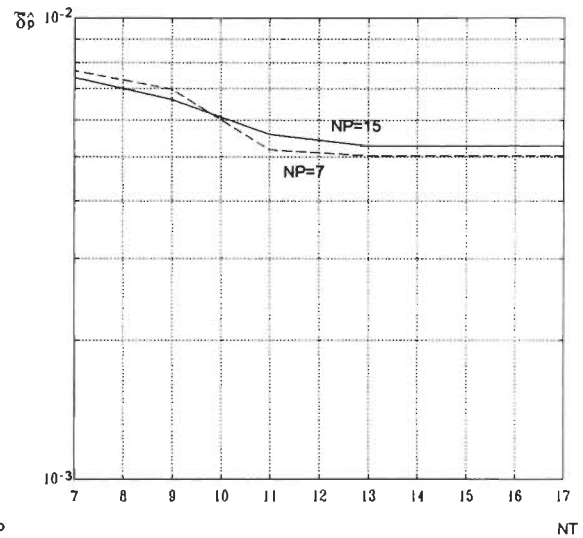
Les résultats obtenus pour PCR3 sont pour les gammes de pressions et de températures présentées au chapitre 3, soit:

$$\begin{aligned} p_{\min} &= 1 \text{ MPa} & p_{\max} &= 26 \text{ MPa} \\ T_{\min} &= 0 \text{ }^{\circ}\text{C} & T_{\max} &= 30 \text{ }^{\circ}\text{C} \end{aligned}$$

Les résultats obtenus pour PCR3 avec les données réelles sont montrés aux figures 4.5 à 4.10.

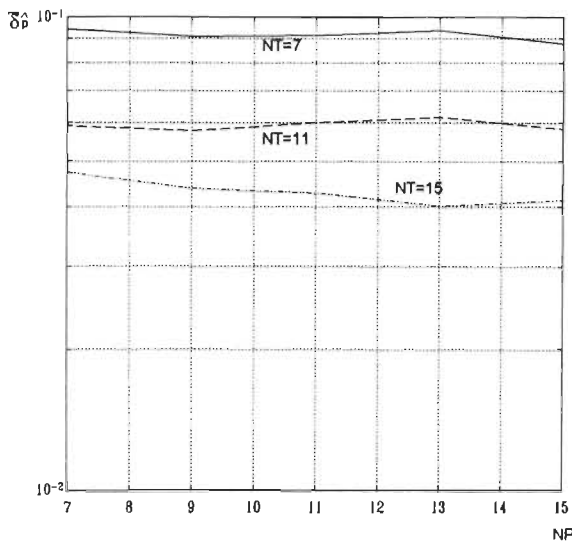


**Figure 4.5** Dépendance de l'erreur relative limite en fonction du nombre de pressions réelles (NP) utilisées pour l'étalonnage:  $\Delta p = 0.01 \text{ MPa}$ ,  $\Delta T = 0.01 \text{ }^{\circ}\text{C}$ ,  $\Delta v = 0.002 \text{ V}$ .

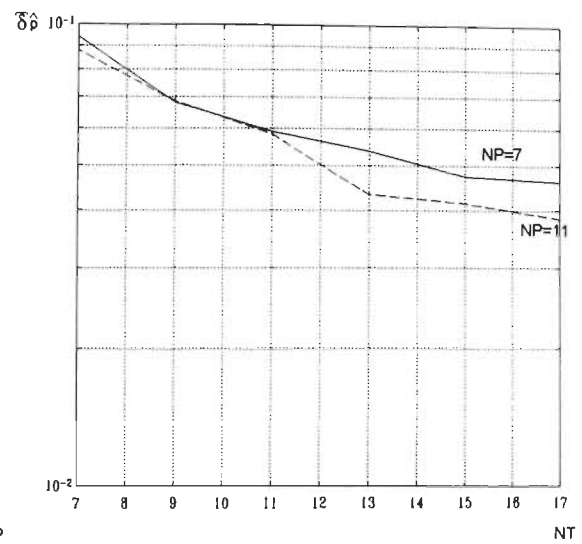


**Figure 4.6** Dépendance de l'erreur relative limite en fonction du nombre de températures réelles (NT) utilisées pour l'étalonnage:  $\Delta p = 0.01 \text{ MPa}$ ,  $\Delta T = 0.01 \text{ }^{\circ}\text{C}$ ,  $\Delta v = 0.002 \text{ V}$ .

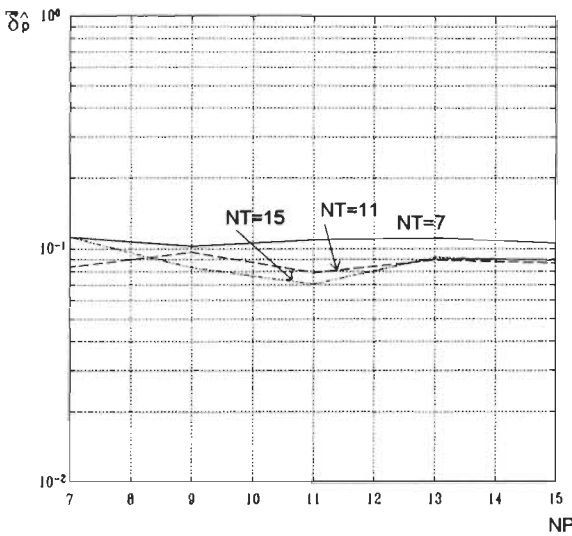




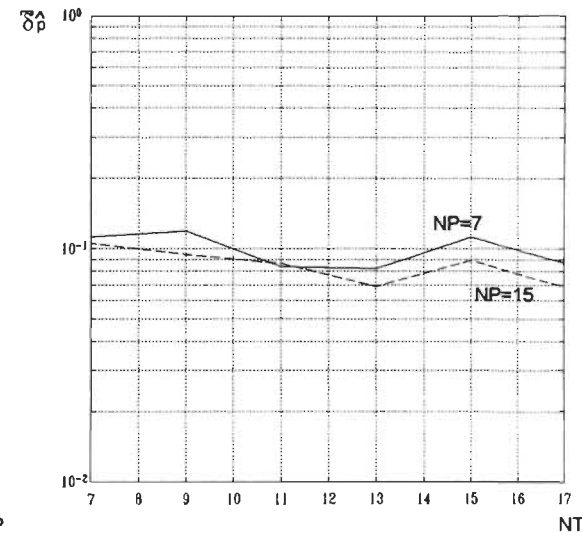
**Figure 4.7** Dépendance de l'erreur relative limite en fonction du nombre de pressions réelles (NP) utilisées pour l'étalonnage:  $\Delta p=0.05$  MPa,  $\Delta T=0.01$  °C,  $\Delta v=0.002$  V.



**Figure 4.8** Dépendance de l'erreur relative limite en fonction du nombre de températures réelles (NT) utilisées pour l'étalonnage:  $\Delta p=0.05$  MPa,  $\Delta T=0.01$  °C,  $\Delta v=0.002$  V.



**Figure 4.9** Dépendance de l'erreur relative limite en fonction du nombre de pressions réelles (NP) utilisées pour l'étalonnage:  $\Delta p=0.1$  MPa,  $\Delta T=0.01$  °C,  $\Delta v=0.002$  V.



**Figure 4.10** Dépendance de l'erreur relative limite en fonction du nombre de températures réelles (NT) utilisées pour l'étalonnage:  $\Delta p=0.1$  MPa,  $\Delta T=0.01$  °C,  $\Delta v=0.002$  V.

#### **4.4) Discussion**

Les résultats nous montrent que la procédure fonctionne pour différentes erreurs de pression. Nous remarquons que la procédure 3 est plus sensible à l'augmentation du nombre de températures que du nombre de pressions. Ceci est probablement dû au fait que les données réelles sont entachées d'erreurs provenant de la mesure sur la température. Comme le niveau de cette erreur est inconnu, il nous est impossible d'incorporer cette information dans la procédure d'étalonnage. Donc pour pouvoir faire un meilleur étalonnage avec les données réelles, une estimation des variances des erreurs de mesure de la pression et de la température serait souhaitée.

Un phénomène montrant l'efficacité de la procédure PCR3 consiste à voir que l'erreur relative limite minimale est inférieure à l'erreur relative de la pression. Donc la procédure réussit à diminuer les erreurs de mesures. De plus nous remarquons que l'efficacité de la procédure augmente avec l'augmentation des erreurs. Ceci est dû à l'utilisation de splines de lissage dans la construction du modèle.

Si nous désirons implanter un modèle dans la mémoire d'un processeur et si les données réelles caractérisent adéquatement le capteur, un étalonnage avec un nombre de pressions (NP) de 11 et un nombre de températures égal à 11 donnerait de très bons résultats. Le choix du processeur dépendrait de la vitesse de reconstruction désirée. Comme pour le cas traité le temps de calcul n'est pas considéré, alors un processeur lent tel que le 68000 où un microcontrôleur tel que

le 68HC11 pourrait être employé. Pour obtenir une précision adéquate pour la reconstruction du mesurande, un processeur pouvant utiliser un point flottant avec une mantisse de 32 chiffres significatifs serait souhaité. Un processeur tel que le 68000 peut facilement utiliser un tel point flottant.

## **CONCLUSION**

Le problème consistait à trouver une procédure d'étalonnage efficace pour un système de mesure de hautes pressions avec trois capteurs à fibre optique dont les caractéristiques statiques sont hautement non-linéaires. Ce travail a présenté trois procédures pouvant résoudre ce problème. Chacune de ces procédures peut être employées avec des fonctions splines d'interpolation ou avec des fonctions spline de lissage. Ces fonctions spline à une variable furent utilisées pour approximer des fonctions à deux variables.

L'étude des procédures développées (PCR1, PCR2 et PCR3) pour l'étalonnage du système de mesure de hautes pressions à fibre optique a été faite pour des données synthétiques et réelles où une acquisition équidistante de la pression et de la température a été réalisée. Ces algorithmes exigent un temps de calcul élevé pour l'étalonnage statique dû à sa complexité comparativement au temps de calcul pour la reconstitution de la pression.

Les résultats de calculs avec données synthétiques, présentés au chapitre 3, montrent la grande flexibilité des fonctions splines lorsque utilisées comme instrument de l'étalonnage d'un système de mesure. La flexibilité des fonctions spline est d'adapter ses paramètres aux données de références lors de l'étalonnage contrairement aux méthodes d'étalonnage dites paramétrées. Parmi les trois procédures, la procédure PCR3 qui consiste à appliquer les fonctions

spline sur des segments de la mesurande, semble être la plus performante. Ceci explique le choix de cette procédure pour une évaluation à l'aide de données réelles. Si les données sont affectées d'erreurs, nous remarquons que les fonctions spline de lissage s'avèrent plus efficaces que les fonctions spline d'interpolation. Ceci s'est vérifié surtout pour la procédure PCR3.

Lors de l'évaluation de la procédure PCR3 avec des données réelles, nous avons remarqué qu'une utilisation de 11 pressions équidistantes par segments monotone de la caractéristique statique et de 11 températures équidistantes pour une plage de pression de 1 à 100 MPa et de température de 0 à 30 °C donne de faibles erreurs relatives ( $\bar{\delta p} = 6 \cdot 10^{-3}$ ) comparativement aux erreurs limites absolues de mesures ( $\bar{\Delta p} = 0.01$  MPa,  $\bar{\Delta T} = 0.01$  °C et  $\bar{\Delta v} = 0.002$  V). La qualité des données utilisées pour l'estimation des paramètres de fonctions spline est essentielle pour la qualité de l'étalonnage.

Nous pouvons dire que l'objectif principal de ce travail qui consistait à trouver une procédure d'étalonnage adéquate pour le système de mesure de hautes pressions à fibre optique est atteint. Les procédures développées peuvent être également appliquée à d'autres cas où les caractéristiques statiques des capteurs sont fortement non-linéaire. Pour des développements futurs, une étude de la procédure avec d'autres types de fonctions spline (B-spline,  $\beta$ -spline) serait intéressante ainsi que le développement de nouvelles procédures utilisant des fonctions spline à deux variables.

## BIBLIOGRAPHIE

- [ASC87] G. Asch, Les capteurs en instrumentation industrielle, Dunod, Paris, 1987.
- [BAR90a] A. Barwicz, W. J. Bock, "An Electronic High-Pressure Measuring System Using a Polarimetric Fiber-Optic Sensor," IEEE Trans. Instrum. Meas., vol 39, No 6, Dec 1990, pp 976-981.
- [BAR90b] A. Barwicz, J. L. Dion, R. Z. Morawski, "Calibration of an Electronic Measuring System for Ultrasonic Analysis of Solutions," IEEE Trans. Instrum. and Meas., vol 39, Dec 1990, pp 1030-1033.
- [BAR92] A. Barwicz, R. Z. Morawski, L. Lemire, J. Bock, "Calibration of an Electronic Multisensor System for Measuring High Pressures", IEEE Trans. on Instrum. & Measu., vol 41, No2, avril 1992, pp 269-273.
- [BJÖ90] A Björck, Handbook of Numerical Analysis vol. 1, Finite difference methode (Part 1) - Solution of Equation in  $R^n$  (part 1), Elsevier Science Publishers B.V. , North-Holland, 1990.

- [BOC89] W. J. Bock, A. Barwicz, "Electronic Measurement of High Pressure Using Birefringent Optical Fibers", Proc. Canadian Conf. Electrical and Computer Engineering, Sep 1989, pp 997-1000.
  
- [BOC90] W. J. Bock, T. R. Wolinsky, A. Barwicz, "Developpement of a Polarimetric Optical Fiber Sensor for Electronic Measurement of High Pressure," IEEE Trans. Instrum.Meas., vol 39, Oct 1990, pp 715-721.
  
- [DEB78] C. De Boor, A Practical Guide to Splines. New-York: Springer, 1978.
  
- [EUB88] R. L. Eubank, Spline Smooting and Nonparametric Regression, New-York: Marcel Dekker, 1988.
  
- [FES91] J. A. Fessler, "Nonparametric Fixed-Interval Smoothing with Vector Splines", IEEE Trans. Sign. Proces., vol 39, no 4, 1991.
  
- [GIL78] P.E. Gill, W. Murray , "Algorithms for the Solution of the Nonlinear Least Squares Problem." SIAM J. Numer. Anal., vol 15, 1978, pp 977-992.
  
- [HUT85] M. Hutchinson, F de Hoog, "Smoothing Noisy Data With Spline Functions", Numer. Math., vol.47,1985, pp 99-106.

- [JAM85] M. L. James, G. M. Smith, J. C. Welford, Applied Numerical Methods for Digital Computation (Third Edition), Harper & Row, publishers, New-York 1985.
- [MEL82] J. M. Melvin, Numerical Analysis: A Practical Approach, Macmillan Publishing Co., Inc., New-York 1982.
- [PRE86] W. H. Press, B. P. Flannery, S. A. Teukolsky, W. T. Vetterling, Numerical Recipes: The art of Scientific Computing, Cambridge: Cambridge Univ. Press, 1986.
- [REI67] C. H. Reinsch, "Smoothing by Spline Functions", Numer. Math., vol. 10, 1967, pp177-183.
- [REI71] C. H. Reinsch, "Smoothing by Spline Functions II", Numer. Math., vol. 16, 1971, pp 451-454.
- [ROB89] T. Robinson, R. Moyeed, "Making Robust the Cross-Validation Choice of Smoothing Parameter in Spline Smoothing Regression.", Commun. Statist. - Theory Math., vol. 18, no 2, 1989, pp 523-539.
- [SCH81] L. L. Schumaker, Spline Functions: Basic Theory, New York: Wiley, 1981.



- [WAH75] G. Wahba, "Smoothing Noisy Data with Spline Functions", Numer. Math., vol 24, 1975, pp 383-393.
- [WAH78] P. Craven, G. Wahba, "Smoothing Noisy Data with Spline Functions", Numer. Math., vol. 31, 1979, pp 377-403.
- [WAH80] G. Wahba, J. Wendelberger, "Some New Mathematical Methods for Variational Objective Analysis Using Splines and Cross Validation", Monthly Weather Rev., vol. 108, 1980, pp 1122-1143.

## ANNEXE A

## LISTE DES PROGRAMMES

Les procédures PCR1 et PCR2 sont écrit en HPBASIC et la procédure PCR3 est écrit pour le logiciel MATLAB.

### Le programme principale pour la procédure PCR1 en HPBASIC:

```

10      CONTROL 32,2;1
20      STATUS 32,2;Status
30      PRINT "STATUS= ";Status
40      ! RTPRIO=0
50      ! *****
60      !      PROGRAMME D'ETALLONNAGE
61      !
62      !      PROG1
70      ! *****
71      !
80      OPTION BASE 1
90      DIM Donnee$(30),Donnee_sufx$(30),Er(5),Resul$(30)
100     INPUT "VOULEZ-VOUS RECUPERER UN FICHIER DE DONNES (O/N)",Rep$
110     !
120     ! *****
130     !
140     !      LES FICHIERS DE LECTURE OU D'ECRITURE SONT DE TYPE ASCII
150     !
160     ! *****
170     !
180     IF Rep$="O" THEN
190         LOOP
200             Flag=0
210             INPUT "ENTRER LE NOM DU FICHIER DE DONNEES A RECUPERER",Donnee$
220             Donnee$="DONNEE.BAS/"&Donnee$
230             ON ERROR GOSUB Esr2
240             ASSIGN @F_1 TO Donnee$
250             OFF ERROR
260             EXIT IF Flag=0
270             END LOOP
280             !
290             ! *****
300             !
310             !      LE FICHIER DOIT CONTENIR DANS L'ORDRE SUIVANT 16 VALEURS REELS
320             !      DECRIVANT LE NOMBRE
330             !      D'ELEMENTS DES VECTEURS ET DES MATRICES, 8 VECTEURS, 10 MATRICES
340             !      ET 6 VALEURS REELS.
350             !
360             ! *****
370             !
380             ENTER @F_1;K1,K2,K3,K4,V5,V6,V7,V8,M11,M12,M21,M22,M31,M32,M41,M42
390             ALLOCATE Vec_p1prim(V5),Vec_p2prim(V6)
400             ALLOCATE Vec_p1per(K1),Vec_p2per(K2),Vec_t1per(K3),Vec_t2per(K4)
410             ALLOCATE Vec_p1(V5),Vec_p2(V6),Vec_t1(V7),Vec_t2(V8)
420             ALLOCATE Mat_at1(M11,M12),Mat_bt1(M11,M12),Mat_ct1(M21,M22),Mat_dt1(M21,M22)
430             ALLOCATE Mat_at2(M21,M22),Mat_bt2(M21,M22),Mat_ct2(M21,M22),Mat_dt2(M21,M22)
440             ALLOCATE Mat_v2per(M41,M42),Mat_v1per(M31,M32),Mat_v1(2,2),Mat_v2(2,2)
450             ALLOCATE V1(K1),V2(K2),V3(K3),V4(K4),Ma1(M11,M12),Mb1(M11,M12)

```

```

460      ALLOCATE Mc1(M11,M12),Md1(M11,M12),Ma2(M21,M22),Mb2(M21,M22)
470      ALLOCATE Mc2(M21,M22),Md2(M21,M22),Mv1(M31,M32),Mv2(M41,M42)
480      ALLOCATE Vp1(V5),Vp2(V6),Vt1(V7),Vt2(V8)
490      !
500      !***** ALLOCATION POUR DONNEE PRIMAIRE *****
510      !
520      ENTER @F_1;Vec_p1per(*),Vec_p2per(*),Vec_t1per(*),Vec_t2per(*)
530      ENTER @F_1;Vec_p1(*),Vec_p2(*),Vec_t1(*),Vec_t2(*)
540      ENTER @F_1;Mat_at1(*),Mat_bt1(*),Mat_ct1(*),Mat_dt1(*)
550      ENTER @F_1;Mat_at2(*),Mat_bt2(*),Mat_ct2(*),Mat_dt2(*)
560      ENTER @F_1;Mat_v1per(*),Mat_v2per(*)
570      ENTER @F_1;Chx_err,Erreur_v1,Erreur_v2,Erreur_t,Erreur_p,Chx_int
580      ASSIGN @F_1 TO *
590      Saute=1
600      Exis_fich=1
610  ELSE
620      INPUT "ENTRER Tmin",Tmin
630      INPUT "ENTRER Tmax",Tmax
640      INPUT "ENTRER Pmin",Pmin
650      INPUT "ENTRER Pmax",Pmax
660      LOOP
670      INPUT "ERREUR POUR ETAL DONNEE PAR LOI NORMALE OU UNIFORME (1/0)",Chx_err
680      IF Chx_err=1 THEN
690          INPUT "ENTRER VARIANCE DE P",Var_p
700          Erreur_p=Var_p
710          INPUT "ENTRER VARIANCE DE T",Var_t
720          Erreur_t=Var_t
730          INPUT "ENTRER VARIANCE DE V1",Var_v1
740          Erreur_v1=Var_v1
750          INPUT "ENTRER VARIANCE DE V2",Var_v2
760          Erreur_v2=Var_v2
770          Sortir=1
780      ELSE
790          IF Chx_err=0 THEN
800              INPUT "ENTRER DELTA P",Delta_p
810              Erreur_p=Delta_p
820              INPUT "ENTRER DELTA T",Delta_t
830              Erreur_t=Delta_t
840              INPUT "ENTRER DELTA V1",Delta_v1
850              Erreur_v1=Delta_v1
860              INPUT "ENTRER DELTA V2",Delta_v2
870              Erreur_v2=Delta_v2
880              Sortir=1
890          ELSE
900              Sortir=0
910          END IF
920      END IF
930      EXIT IF Sortir=1
940      END LOOP
950      Saute=0
960      Exis_fich=0
970  END IF
980      INPUT "ERREUR POUR EVAL DONNEE PAR LOI NORMALE OU UNIFORME (1/0)",Cerr
990      INPUT "ENTRER LA VALEUR DE LA VARIANCE OU ERREUR UNIF POUR T",Err_t
1000     INPUT "ENTRER LA VALEUR DE LA VARIANCE OU ERREUR UNIF POUR V1",Err_v1
1010     INPUT "ENTRER LA VALEUR DE LA VARIANCE OU ERREUR UNIF POUR V2",Err_v2 1020 Er(1)=Cerr
1030 Er(2)=Err_t
1040 Er(3)=Err_v1
1050 Er(4)=Err_v2
1060 Er(5)=Erreur_p
1070 Sortir=0
1080 CLEAR SCREEN
1090 PRINT " LES INTERPOLATIONS POSSIBLES QUE PERMET CE PROGRAMME SONT:"
1100 PRINT
1110 PRINT "          1) INT SPL3"
1120 PRINT "          2) OPT SPL3"

```

```

1130 PRINT "          3) OPTSPL3_B"
1140 PRINT "          4) INTSPL2"
1150 PRINT "          5) OPTSPL2"
1160 PRINT "          6) SMOSPL3"
1170 PRINT "          7) SMOSPL2"
1180 LOOP
1190 INPUT " ENTRER VOTRE CHOIX",Chx_int
1200 IF Chx_int<=7 THEN
1210 IF Chx_int>=1 THEN
1220 Sortir=1
1230 END IF
1240 END IF
1250 EXIT IF Sortir=1
1260 END LOOP
1270 CLEAR SCREEN
1280 INPUT "ENTRER LE NOMBRE D'ITERATION DE TEMPERATURE DESIREE",Nbr_temp
1290 INPUT "ENTRER LE NOMBRE D'ITERATION DE PRESSION DESIREE",Nbr_pres
1300 INPUT "ENTRER LE NOM DU FICHIER DE SAUVEGARDE DES DONNEES",Donnee$
1310 Donnee$="DONNEE.BAS/"&Donnee$
1320 INPUT "ENTRER LE NOM DU FICHIER POUR SAUVEGARDE DES RESULTATS",Resul$
1330 Resul$="RESULTAT.BAS/"&Resul$
1340 ON ERROR GOSUB Esr1
1350 CREATE ASCII Resul$,10
1360 OFF ERROR
1370 ASSIGN @F_2 TO Resul$
1380 Total_iter=Nbr_temp*Nbr_pres
1390 OUTPUT @F_2;Chx_int,Chx_err,Erreur_p,Erreur_t,Erreur_v1,Erreur_v2
1400 !
1410 !*****
1420 !
1430 ! SI FICHIER DE DONNEE N'EXISTE PAS ALORS CALCUL DE
1440 ! VEC_P1, VEC_P2, MAT_V1, MAT_V2, MAT_V1PER
1450 ! MAT_V2PER, MAT_P1PER, MAT_P2PER, VEC_T1, VEC_T1PER, VEC_T2
1460 ! VEC_T2PER, MAT_AT1, MAT_BT1, MAT_CT1, MAT_DT1, MAT_AT2, MAT_BT2
1470 ! MAT_CT2, MAT_DT2
1480 !
1490 !*****
1500 !
1510 IF Saute=0 THEN
1520 Dim_p=5
1530 Dim_t=5
1540 ALLOCATE Vec_p1prim(Dim_p),Vec_p2prim(Dim_p),Vec_p1(Dim_p),Vec_p2(Dim_p),Vec_p1per(Dim_p),Vec_p2per(Dim_p)
1550 ALLOCATE Vec_t1(Dim_t),Vec_t2(Dim_t),Vec_t1per(Dim_t),Vec_t2per(Dim_t)
1560 ALLOCATE Mat_v1(Dim_p,Dim_t),Mat_v2(Dim_p,Dim_t),Mat_v1per(Dim_p,Dim_t),Mat_v2per(Dim_p,Dim_t)
1570 ALLOCATE Mat_at1(Dim_p,Dim_t),Mat_bt1(Dim_p,Dim_t),Mat_ct1(Dim_p,Dim_t),Mat_dt1(Dim_p,Dim_t)
1580 ALLOCATE Mat_at2(Dim_p,Dim_t),Mat_bt2(Dim_p,Dim_t),Mat_ct2(Dim_p,Dim_t),Mat_dt2(Dim_p,Dim_t)
1590 ALLOCATE V1(Dim_p),V2(Dim_p),V3(Dim_t),V4(Dim_t),Ma1(Dim_p,Dim_t),Mb1(Dim_p,Dim_t),Mc1(Dim_p,Dim_t)
1600 ALLOCATE Md1(Dim_p,Dim_t),Ma2(Dim_p,Dim_t),Mb2(Dim_p,Dim_t),Mc2(Dim_p,Dim_t),Md2(Dim_p,Dim_t),
Mv1(Dim_p,Dim_t)
1610 ALLOCATE Mv2(Dim_p,Dim_t),Vp1(Dim_p),Vp2(Dim_p),Vt1(Dim_t),Vt2(Dim_t)
1620 !
1630 !*****
1640 !
1650 ! CALCUL DE V1, V2, T1 ET T2
1660 !
1670 !*****
1680 !
1690 Pas_temp=(Tmax-Tmin)/(Dim_t-1)
1700 FOR I=1 TO Dim_t
1710 Vec_t1(I)=Tmin+(I-1)*Pas_temp
1720 Vec_t2(I)=Tmin+(I-1)*Pas_temp
1730 NEXT I
1740 Pas_pres=(Pmax-Pmin)/(Dim_p-1)
1750 FOR I=1 TO Dim_p
1760 Vec_p1(I)=Pmin+(I-1)*Pas_pres
1770 Vec_p2(I)=Pmin+(I-1)*Pas_pres

```

```

1780     NEXT I
1790     V5=Dim_p
1800     V7=Dim_t
1810 END IF
1820 DIM Rtr(8)
1830 OUTPUT @F_2;Err_t,Err_v1,Err_v2,Vec_p1(1),Vec_p1(V5),Vec_t1(1),Vec_t1(V7) 1840 OUTPUT @F_2;Total_iter
1850 Fin=0
1860 CLEAR SCREEN
1870 !
1880 !*****
1890 !
1900 !   GARDE EN MEMOIRE DES DONNEES PRIMAIRE
1910 !
1920 !*****
1930 !
1940 RANDOMIZE
1950 MAT Vec_p1prim= Vec_p1
1960 MAT Vec_p2prim= Vec_p2
1970 OUTPUT @F_2;Nbr_temp,Nbr_pres
1980 FOR I=1 TO Nbr_temp
1990   PRINT "NBR_TEMP=";I
2000   FOR J=1 TO Nbr_pres
2010     IF Saute=0 THEN
2020       CALL Det_v12(Vec_p1(*),Vec_t1(*),Vec_p2(*),Vec_t2(*),Mat_v1(*),Mat_v2(*))
2030       IF Chx_err=1 THEN
2040         CALL Errmor(Vec_p1(*),Vec_p1per(*),Var_p)
2050         Vec_p1per(1)=Vec_p1(1)-Var_p*RND/2
2060         Transit=SIZE(Vec_p1per,1)
2070         Vec_p1per(Transit)=Vec_p1(Transit)+Var_p*RND/2
2080         CALL Errmor(Vec_p2(*),Vec_p2per(*),Var_p)
2090         Vec_p2per(1)=Vec_p2(1)-Var_p*RND/2
2100         Transit=SIZE(Vec_p2per,1)
2110         Vec_p2per(Transit)=Vec_p2(Transit)+Var_p*RND/2
2120         CALL Errmor(Vec_t1(*),Vec_t1per(*),Var_t)
2130         Vec_t1per(1)=Vec_t1(1)-Var_t*RND/2
2140         Transit=SIZE(Vec_t1per,1)
2150         Vec_t1per(Transit)=Vec_t1(Transit)+Var_t*RND/2
2160         CALL Errmor(Vec_t2(*),Vec_t2per(*),Var_t)
2170         Vec_t2per(1)=Vec_t2(1)-Var_t*RND/2
2180         Transit=SIZE(Vec_t2per,1)
2190         Vec_t2per(Transit)=Vec_t2(Transit)+Var_t*RND/2
2200         CALL Errmor(Mat_v1(*),Mat_v1per(*),Var_v1)
2210         Transit1=SIZE(Mat_v1,1)
2220         Transit2=SIZE(Mat_v1,2)
2230         FOR Boucle=1 TO Transit2
2240           Mat_v1per(1,Boucle)=Mat_v1(1,Boucle)-Var_v1*RND/2
2250           Mat_v1per(Transit1,Boucle)=Mat_v1(Transit1,Boucle)+Var_v1*RND/2
2260         NEXT Boucle
2270         CALL Errmor(Mat_v2(*),Mat_v2per(*),Var_v2)
2280         Transit1=SIZE(Mat_v2,1)
2290         Transit2=SIZE(Mat_v2,2)
2300         FOR Boucle=1 TO Transit2
2310           Mat_v2per(1,Boucle)=Mat_v2(1,Boucle)-Var_v2*RND/2
2320           Mat_v2per(Transit1,Boucle)=Mat_v2(Transit1,Boucle)+Var_v2*RND/2
2330         NEXT Boucle
2340       ELSE
2350         CALL Errunif(Vec_p1(*),Vec_p1per(*),Delta_p)
2360         Vec_p1per(1)=Vec_p1(1)-Delta_p*RND/2
2370         Transit=SIZE(Vec_p1per,1)
2380         Vec_p1per(Transit)=Vec_p1(Transit)+Delta_p*RND/2
2390         CALL Errunif(Vec_p2(*),Vec_p2per(*),Delta_p)
2400         Vec_p2per(1)=Vec_p2(1)-Delta_p*RND/2
2410         Transit=SIZE(Vec_p2per,1)
2420         Vec_p2per(Transit)=Vec_p2(Transit)+Delta_p*RND/2
2430         CALL Errunif(Vec_t1(*),Vec_t1per(*),Delta_t)
2440         Vec_t1per(1)=Vec_t1(1)-Delta_t*RND/2

```

```

2450      Transit=SIZE(Vec_t1per,1)
2460      Vec_t1per(Transit)=Vec_t1(Transit)+Delta_t*RND/2
2470      CALL Errunif(Vec_t2(*),Vec_t2per(*),Delta_t)
2480      Vec_t2per(1)=Vec_t2(1)-Delta_t*RND/2
2490      Transit=SIZE(Vec_t2per,1)
2500      Vec_t2per(Transit)=Vec_t2(Transit)+Delta_t*RND/2
2510      CALL Errunif(Mat_v1(*),Mat_v1per(*),Delta_v1)
2520      Transit1=SIZE(Mat_v1,1)
2530      Transit2=SIZE(Mat_v1,2)
2540      FOR Boucle=1 TO Transit2
2550          Mat_v1per(1,Boucle)=Mat_v1(1,Boucle)-Delta_v1*RND/2
2560          Mat_v1per(Transit1,Boucle)=Mat_v1(Transit1,Boucle)+Delta_v1*RND/2
2570      NEXT Boucle
2580      CALL Errunif(Mat_v2(*),Mat_v2per(*),Delta_v2)
2590      Transit1=SIZE(Mat_v2,1)
2600      Transit2=SIZE(Mat_v2,2)
2610      FOR Boucle=1 TO Transit2
2620          Mat_v2per(1,Boucle)=Mat_v2(1,Boucle)-Delta_v2*RND/2
2630          Mat_v2per(Transit1,Boucle)=Mat_v2(Transit1,Boucle)+Delta_v2*RND/2
2640      NEXT Boucle
2650  END IF
2660  Longueur=SIZE(Vec_t1per,1)
2670  N=SIZE(Vec_p1per,1)
2680  ALLOCATE Var1(Longueur),Var2a(Longueur),Var2b(Longueur),Var2c(Longueur),Var2d(Longueur)
2690  FOR K=1 TO N
2700      MAT Var1= Mat_v1per(K,*)
2710      SELECT Chx_int
2720      CASE 1
2730          CALL Intspl3_2(Vec_t1per(*),Var1(*),Var2a(*),Var2b(*),Var2c(*),Var2d(*))
2740          MAT Mat_at1(K,*)= Var2a
2750          MAT Mat_bt1(K,*)= Var2b
2760          MAT Mat_ct1(K,*)= Var2c
2770          MAT Mat_dt1(K,*)= Var2d
2780      CASE 2
2790          CALL Optspl3_2(Vec_t1per(*),Var1(*),Var2a(*),Var2b(*),Var2c(*),Var2d(*))
2800          MAT Mat_at1(K,*)= Var2a
2810          MAT Mat_bt1(K,*)= Var2b
2820          MAT Mat_ct1(K,*)= Var2c
2830          MAT Mat_dt1(K,*)= Var2d
2840      CASE 3
2850          CALL Optspl3b_2(Vec_t1per(*),Var1(*),Var2a(*),Var2b(*),Var2c(*),Var2d(*))
2860          MAT Mat_at1(K,*)= Var2a
2870          MAT Mat_bt1(K,*)= Var2b
2880          MAT Mat_ct1(K,*)= Var2c
2890          MAT Mat_dt1(K,*)= Var2d
2900      CASE 4
2910          CALL Intspl2(Vec_t1per(*),Var1(*),Var2a(*),Var2b(*),Var2c(*))
2920          MAT Mat_at1(K,*)= Var2a
2930          MAT Mat_bt1(K,*)= Var2b
2940          MAT Mat_ct1(K,*)= Var2c
2950      CASE 5
2960          CALL Optspl2(Vec_t1per(*),Var1(*),Var2a(*),Var2b(*),Var2c(*))
2970          MAT Mat_at1(K,*)= Var2a
2980          MAT Mat_bt1(K,*)= Var2b
2990          MAT Mat_ct1(K,*)= Var2c
3000      CASE 6
3010          S=INT(Longueur+SQRT(2*Longueur))
3020          Sigy=Erreur_v1/2
3030          CALL Smospl3(Vec_t1per(*),Var1(*),S,Sigy,Var2a(*),Var2b(*),Var2c(*),Var2d(*))
3040          MAT Mat_at1(K,*)= Var2a
3050          MAT Mat_bt1(K,*)= Var2b
3060          MAT Mat_ct1(K,*)= Var2c
3070          MAT Mat_dt1(K,*)= Var2d
3080      CASE 7
3090          S=INT(Longueur+SQRT(2*Longueur))
3100          Sigy=Erreur_v1/2

```

```

3110         IF Sigy=0 THEN
3120             Sigy=.000001
3130         END IF
3140         CALL Smospl2a(Vec_t1per(*),Var1(*),Sigy,S,Var2a(*),Var2b(*),Var2c(*))
3150         MAT Mat_at1(K,*)= Var2a
3160         MAT Mat_bt1(K,*)= Var2b
3170         MAT Mat_ct1(K,*)= Var2c
3180     END SELECT
3190 NEXT K
3200 DEALLOCATE Var1(*),Var2a(*),Var2b(*),Var2c(*),Var2d(*)
3210 Longeur=SIZE(Vec_t2per,1)
3220 N=SIZE(Vec_p2per,1)
3230 ALLOCATE Var1(Longeur),Var2a(Longeur),Var2b(Longeur),Var2c(Longeur),Var2d(Longeur)
3240 FOR K=1 TO N
3250     MAT Var1= Mat_v2per(K,*)
3260     SELECT Chx_int
3270     CASE 1
3280         CALL Intspl3_2(Vec_t2per(*),Var1(*),Var2a(*),Var2b(*),Var2c(*),Var2d(*))
3290         MAT Mat_at2(K,*)= Var2a
3300         MAT Mat_bt2(K,*)= Var2b
3310         MAT Mat_ct2(K,*)= Var2c
3320         MAT Mat_dt2(K,*)= Var2d
3330     CASE 2
3340         CALL Optspl3_2(Vec_t2per(*),Var1(*),Var2a(*),Var2b(*),Var2c(*),Var2d(*))
3350         MAT Mat_at2(K,*)= Var2a
3360         MAT Mat_bt2(K,*)= Var2b
3370         MAT Mat_ct2(K,*)= Var2c
3380         MAT Mat_dt2(K,*)= Var2d
3390     CASE 3
3400         CALL Optspl3b_2(Vec_t2per(*),Var1(*),Var2a(*),Var2b(*),Var2c(*),Var2d(*))
3410         MAT Mat_at2(K,*)= Var2a
3420         MAT Mat_bt2(K,*)= Var2b
3430         MAT Mat_ct2(K,*)= Var2c
3440         MAT Mat_dt2(K,*)= Var2d
3450     CASE 4
3460         CALL Intspl2(Vec_t2per(*),Var1(*),Var2a(*),Var2b(*),Var2c(*))
3470         MAT Mat_at2(K,*)= Var2a
3480         MAT Mat_bt2(K,*)= Var2b
3490         MAT Mat_ct2(K,*)= Var2c
3500     CASE 5
3510         CALL Optspl2(Vec_t2per(*),Var1(*),Var2a(*),Var2b(*),Var2c(*))
3520         MAT Mat_at2(K,*)= Var2a
3530         MAT Mat_bt2(K,*)= Var2b
3540         MAT Mat_ct2(K,*)= Var2c
3550     CASE 6
3560         S=INT(Longeur+SQRT(2*Longeur))
3570         Sigy=Erreur_v2/2
3580         CALL Smospl3(Vec_t2per(*),Var1(*),S,Sigy,Var2a(*),Var2b(*),Var2c(*),Var2d(*))
3590         MAT Mat_at2(K,*)= Var2a
3600         MAT Mat_bt2(K,*)= Var2b
3610         MAT Mat_ct2(K,*)= Var2c
3620         MAT Mat_dt2(K,*)= Var2d
3630     CASE 7
3640         S=INT(Longeur+SQRT(2*Longeur))
3650         Sigy=Erreur_v2/2
3660         IF Sigy=0 THEN
3670             Sigy=.00001
3680         END IF
3690         CALL Smospl2a(Vec_t2per(*),Var1(*),Sigy,S,Var2a(*),Var2b(*),Var2c(*))
3700         MAT Mat_at2(K,*)= Var2a
3710         MAT Mat_bt2(K,*)= Var2b
3720         MAT Mat_ct2(K,*)= Var2c
3730     END SELECT
3740 NEXT K
3750 DEALLOCATE Var1(*),Var2a(*),Var2b(*),Var2c(*),Var2d(*)
3760 !

```



```

3770 !
3780 !*****
3790 !
3800 !          SAUVEGARDE DES DONNEES
3810 !
3820 !*****
3830 !
3840          V5=SIZE(Vec_p1,1)
3850          V6=SIZE(Vec_p2,1)
3860          V7=SIZE(Vec_t1,1)
3870          V8=SIZE(Vec_t2,1)
3880          M11=SIZE(Mat_at1,1)
3890          M12=SIZE(Mat_at1,2)
3900          M21=SIZE(Mat_at2,1)
3910          M22=SIZE(Mat_at2,2)
3920          M31=SIZE(Mat_v1per,1)
3930          M32=SIZE(Mat_v1per,2)
3940          M41=SIZE(Mat_v2per,1)
3950          M42=SIZE(Mat_v2per,2)
3960          END IF
3970          Saute=0
3980          MAT V1= Vec_p1per
3990          MAT V2= Vec_p2per
4000          MAT V3= Vec_t1per
4010          MAT V4= Vec_t2per
4020          MAT Ma1= Mat_at1
4030          MAT Mb1= Mat_bt1
4040          MAT Mc1= Mat_ct1
4050          MAT Md1= Mat_dt1
4060          MAT Ma2= Mat_at2
4070          MAT Mb2= Mat_bt2
4080          MAT Mc2= Mat_ct2
4090          MAT Md2= Mat_dt2
4100          MAT Mv1= Mat_v1per
4110          MAT MV2= Mat_v2per
4120          MAT Vp1= Vec_p1
4130          MAT Vp2= Vec_p2
4140          MAT Vt1= Vec_t1
4150          MAT Vt2= Vec_t2
4160          Cint=Chx_int
4170          CALL Eval(V1(*),V2(*),V3(*),V4(*),Vp1(*),Vp2(*),Vt1(*),Vt2(*),Ma1(*),Mb1(*),Mc1(*),Md1(*),Ma2(*),Mb2(*),
Mc2(*),Md2(*),Mv1(*),Mv2(*),Cint,Er(*),Rtr(*))
4180          P1n=Rtr(1)
4190          T1n=Rtr(2)
4200          P2n=Rtr(3)
4210          T2n=Rtr(4)
4220          Errmoy=Rtr(5)
4230          Errmax=Rtr(6)
4240          Ecart_reel=Rtr(7)
4250 !          PRINT "ERRMAX= ";Errmax
4260 !          PRINT "ERREUR RELAT. MAX = ";Ecart_reel
4270 !          PRINT "ERRMOY= ";Errmoy
4280 !          PRINT " "
4290 !          PRINT "PRES NOV= ";P1n
4300 !          PRINT "TEMP NOV= ";T1n
4310 !          PRINT " "
4320          Fin=Rtr(8)
4330          B=5
4340          ALLOCATE Vec_p1n(V5+B),Vec_p2n(V6+B),Vec_t1n(V7),Vec_t2n(V8)
4350          MAT Vec_t1n= Vec_t1
4360          MAT Vec_t2n= Vec_t2
4370 !          CALL Vec_nov(Vec_p1(*),Vec_p1n(*),P1n)
4380 !          CALL Vec_nov(Vec_p2(*),Vec_p2n(*),P2n)
4390          Pas_pres=(Pmax-Pmin)/(V5+B-1)
4400          FOR Kk=1 TO V5+B
4410              Vec_p1n(Kk)=Pmin+(Kk-1)*Pas_pres

```

```

4420      NEXT Kk
4430      Pas_pres=(Pmax-Pmin)/(V6+B-1)
4440      FOR Kk=1 TO V6+B
4450          Vec_p2n(Kk)=Pmin+(Kk-1)*Pas_pres
4460      NEXT Kk
4470      ON ERROR GOSUB Esr3
4480      CREATE ASCII "TRANSIT",10
4490      OFF ERROR
4500      ASSIGN @F_3 TO "TRANSIT"
4510      OUTPUT @F_3;Vec_p1n(*),Vec_p2n(*),Vec_t1n(*),Vec_t2n(*)
4520      ASSIGN @F_3 TO *
4530      DEALLOCATE Vec_p1n(*),Vec_p2n(*),Vec_t1n(*),Vec_t2n(*)
4540      DEALLOCATE Vec_p1(*),Vec_p2(*),Vec_t1(*),Vec_t2(*),Vec_p1per(*)
4550      DEALLOCATE Vec_p2per(*),Vec_t1per(*),Vec_t2per(*),Mat_v1(*),Mat_v2(*)
4560      DEALLOCATE Mat_v1per(*),Mat_v2per(*),Mat_at1(*),Mat_bt1(*),Mat_ct1(*)
4570      DEALLOCATE Mat_dt1(*),Mat_at2(*),Mat_bt2(*),Mat_ct2(*),Mat_dt2(*)
4580      DEALLOCATE V1(*),V2(*),V3(*),V4(*),Ma1(*),Mb1(*),Mc1(*),Md1(*)
4590      DEALLOCATE Ma2(*),Mb2(*),Mc2(*),Md2(*),Mv1(*),Mv2(*),Vp1(*),Vp2(*),Vt1(*),Vt2(*)
4600      ALLOCATE Vec_p1(V5+B),Vec_p2(V6+B),Vec_p1per(V5+B),Vec_p2per(V6+B)
4610      ALLOCATE Vec_t1(V7),Vec_t2(V8),Vec_t1per(V7),Vec_t2per(V8)
4620      ALLOCATE Mat_v1(V5+B,V7),Mat_v2(V6+B,V8),Mat_v1per(V5+B,V7),Mat_v2per(V6+B,V8)
4630      ALLOCATE Mat_at1(V5+B,V7),Mat_bt1(V5+B,V7),Mat_ct1(V5+B,V7),Mat_dt1(V5+B,V7)
4640      ALLOCATE Mat_at2(V6+B,V8),Mat_bt2(V6+B,V8),Mat_ct2(V6+B,V8),Mat_dt2(V6+B,V8)
4650      ALLOCATE V1(V5+B),V2(V6+B),V3(V7),V4(V8),Ma1(V5+B,V7),Mb1(V5+B,V7),Mc1(V5+B,V7)
4660      ALLOCATE Md1(V5+B,V7),Ma2(V6+B,V8),Mb2(V6+B,V8),Mc2(V6+B,V8),Md2(V6+B,V8),Mv1(V5+B,V7)
4670      ALLOCATE Mv2(V6+B,V8),Vp1(V5+B),Vp2(V6+B),Vt1(V7),Vt2(V8)
4680      ASSIGN @F_3 TO "TRANSIT"
4690      ENTER @F_3;Vec_p1(*),Vec_p2(*),Vec_t1(*),Vec_t2(*)
4700      ASSIGN @F_3 TO *
4710      !
4720      !
4730      ! .....
4740      !
4750      !   ECRITURE DES RESULTATS DANS LE FICHIER ADEQUAT
4760      !
4770      !
4780      ! .....
4790      !
4800      !
4810      !   OUTPUT @F_2;V5,V7,V6,V8,Errmax,Errmoy,Ecart_reel
4820      NEXT J
4830      V5=SIZE(Vec_p1prim,1)
4840      V6=SIZE(Vec_p2prim,1)
4850      ALLOCATE Vec_t1n(V7+B),Vec_t2n(V8+B)
4860      ! CALL Vec_nov(Vec_t1(*),Vec_t1n(*),T1n)
4870      ! CALL Vec_nov(Vec_t2(*),Vec_t2n(*),T2n)
4880      Pas_temp=(Tmax-Tmin)/(V7+B-1)
4890      FOR Kk=1 TO V7+B
4900          Vec_t1n(Kk)=Tmin+(Kk-1)*Pas_temp
4910      NEXT Kk
4920      Pas_temp=(Tmax-Tmin)/(V8+B-1)
4930      FOR Kk=1 TO V8+B
4940          Vec_t2n(Kk)=Tmin+(Kk-1)*Pas_temp
4950      NEXT Kk
4960      ASSIGN @F_3 TO "TRANSIT"
4970      OUTPUT @F_3;Vec_t1n(*),Vec_t2n(*)
4980      ASSIGN @F_3 TO *
4990      DEALLOCATE Vec_t1n(*),Vec_t2n(*)
5000      DEALLOCATE Vec_p1(*),Vec_p2(*),Vec_t1(*),Vec_t2(*),Vec_p1per(*)
5010      DEALLOCATE Vec_p2per(*),Vec_t1per(*),Vec_t2per(*),Mat_v1(*),Mat_v2(*)
5020      DEALLOCATE Mat_v1per(*),Mat_v2per(*),Mat_at1(*),Mat_bt1(*),Mat_ct1(*)
5030      DEALLOCATE Mat_dt1(*),Mat_at2(*),Mat_bt2(*),Mat_ct2(*),Mat_dt2(*)
5040      DEALLOCATE V1(*),V2(*),V3(*),V4(*),Ma1(*),Mb1(*),Mc1(*),Md1(*)
5050      DEALLOCATE Ma2(*),Mb2(*),Mc2(*),Md2(*),Mv1(*),Mv2(*)
5060      DEALLOCATE Vp1(*),Vp2(*),Vt1(*),Vt2(*)
5070      ALLOCATE Vec_p1(V5),Vec_p2(V6),Vec_p1per(V5),Vec_p2per(V6)

```

```

5080      ALLOCATE Vec_t1(V7+B),Vec_t2(V8+B),Vec_t1per(V7+B),Vec_t2per(V8+B)
5090      ALLOCATE Mat_v1(V5,V7+B),Mat_v2(V6,V8+B),Mat_v1per(V5,V7+B),Mat_v2per(V6,V8+B)
5100      ALLOCATE Mat_at1(V5,V7+B),Mat_bt1(V5,V7+B),Mat_ct1(V5,V7+B),Mat_dt1(V5,V7+B)
5110      ALLOCATE Mat_at2(V6,V8+B),Mat_bt2(V6,V8+B),Mat_ct2(V6,V8+B),Mat_dt2(V6,V8+B)
5120      ALLOCATE V1(V5),V2(V6),V3(V7+B),V4(V8+B),Ma1(V5,V7+B),Mb1(V5,V7+B),Mc1(V5,V7+B)
5130      ALLOCATE Md1(V5,V7+B),Ma2(V6,V8+B),Mb2(V6,V8+B),Mc2(V6,V8+B),Md2(V6,V8+B),Mv1(V5,V7+B)
5140      ALLOCATE Mv2(V6,V8+B),Vp1(V5),Vp2(V6),Vt1(V7+B),Vt2(V8+B)
5150      MAT Vec_p1= Vec_p1prim
5160      MAT Vec_p2= Vec_p2prim
5170      ASSIGN @F_3 TO "TRANSIT"
5180      ENTER @F_3;Vec_t1(*),Vec_t2(*)
5190      ASSIGN @F_3 TO *
5200 NEXT I
5210 ASSIGN @F_2 TO *
5220 STOP
5230 Esr1:IF ERRN=54 THEN
5240      CLEAR SCREEN
5250      PRINT "FICHER EXISTE DEJA"
5260      PRINT "VOULEZ-VOUS CANGER DE NOM (O/N) ?"
5270      INPUT Chx$
5280      IF Chx$="N" THEN
5290          ERROR RETURN
5300      ELSE
5310          INPUT "ENTRER LE NOUVEAU NOM",Donnee$
5320          RETURN
5330      END IF
5340 END IF
5350 Esr2:IF ERRN=56 THEN
5360      CLEAR SCREEN
5370      PRINT "FICHER N'EXISTE PAS DANS LE SOUS REPERTOIRE"
5380      PRINT "DONNEE.BAS"
5390      Flag=1
5400      ERROR RETURN
5410 END IF
5420 RETURN
5430 Esr3:IF ERRN=54 THEN
5440      ERROR RETURN
5450 END IF
5460 END
5470 CSUB Intspl2(X(*),Y(*),A(*),B(*),C(*))
5480 CSUB Optspl2(X(*),Y(*),A(*),B(*),C(*),D(*))
5490 CSUB Intspl3_2(X(*),Y(*),A(*),B(*),C(*),D(*))
5500 CSUB Optspl3b_2(X(*),Y(*),A(*),B(*),C(*),D(*))
5510 CSUB Optspl3_2(X(*),Y(*),A(*),B(*),C(*),D(*))
5520 CSUB Errunif(Entre(*),Sortie(*),Var)
5530 CSUB Erru1(Entre(*),Sortie(*),Boucle(*),Var)
5540 CSUB Erru2(Entre(*),Sortie(*),Boucle(*),Var)
5550 CSUB Erru3(Entre(*),Sortie(*),Boucle(*),Var)
5560 CSUB Error(Entre(*),Sortie(*),Var)
5570 CSUB Errm1(Entre(*),Sortie(*),Boucle(*),Var)
5580 CSUB Errm2(Entre(*),Sortie(*),Boucle(*),Var)
5590 CSUB Errm3(Entre(*),Sortie(*),Boucle(*),Var)
5600 CSUB Vec_nov(V1_anc(*),V1_nov(*),V1_pla)
5610 CSUB Valspl3_2(X(*),Y(*),A(*),B(*),C(*),D(*),Xm,Ym)
5620 CSUB Der_vspl3_2(X(*),Y(*),A(*),B(*),C(*),D(*),Xm,Ym)
5630 CSUB Valspl2(X(*),Y(*),A(*),B(*),C(*),Xm,Ym)
5640 CSUB Der_vspl2(X(*),Y(*),A(*),B(*),C(*),Xm,Ym)
5650 SUB Eval(V1(*),V2(*),V3(*),V4(*),Vp1(*),Vp2(*),Vt1(*),Vt2(*),Ma1(*),Mb1(*),Mc1(*),Md1(*),Ma2(*),Mb2(*),Mc2(*),Md2(*),
Mv1(*),Mv2(*),Chx_int,Er(*),Retr(*))
5660      OPTION BASE 1
5670 !
5680 !
5690 !*****
5700 !
5710 ! PROGRAMME D'EVALUATION
5720 !

```

```

5730 !      ENTREE: V1, V2, V3, V4, VP1, VP2, VT1, VT2, MA1, MB1
5740 !      MC1, MD1, MA2, MB2, MC2, MD2, MV1, MV2, CHX_INT
5750 !
5760 !      SORTIE: RETR
5770 !
5780 ! *****
5790 !
5800 !      G1=SIZE(V1,1)
5810 !      G2=SIZE(V2,1)
5820 !      G3=SIZE(V3,1)
5830 !      G4=SIZE(V4,1)
5840 !      G5=SIZE(Vp1,1)
5850 !      G6=G5+3*(G5-1)
5860 !      G7=SIZE(Vp2,1)
5870 !      G8=G7+3*(G7-1)
5880 !      G9=SIZE(Vt1,1)
5890 !      G10=G9+3*(G9-1)
5900 !      G11=SIZE(Vt2,1)
5910 !      G12=G11+3*(G11-1)
5920 !      M11=SIZE(Mv1,1)
5930 !      M12=SIZE(Mv1,2)
5940 !      M21=SIZE(Mv2,1)
5950 !      M22=SIZE(Mv2,2)
5960 !      Chx_err=Er(1)
5970 !      Err_t=Er(2)
5980 !      Err_v1=Er(3)
5990 !      Err_v2=Er(4)
6000 !      Err_p=Er(5)
6010 !      ALLOCATE Vec_p1per(G1),Vec_p2per(G2),Vec_t1per(G3),Vec_t2per(G4)
6020 !      ALLOCATE Vec_pttrans(G5),Vec_ttrans(G9)
6030 !      ALLOCATE Mat_v1per(M11,M12),Mat_v2per(M21,M22)
6040 !      MAT Vec_p1per= V1
6050 !      MAT Vec_p2per= V2
6060 !      MAT Vec_t1per= V3
6070 !      MAT Vec_t2per= V4
6080 !      MAT Mat_v1per= Mv1
6090 !      MAT Mat_v2per= Mv2
6100 !
6110 !
6120 ! *****
6130 !      CALCUL DE VEC_P, VEC_T
6140 ! *****
6150 !
6160 !
6170 !      MAT Vec_pttrans= Vp1
6180 !      Grosseur=G5
6190 !      FOR J=1 TO G7
6200 !          Incrimente=0
6210 !          FOR I=1 TO G5
6220 !              IF Vp1(I)=Vp2(J) THEN
6230 !                  Incrimente=1
6240 !              END IF
6250 !          NEXT I
6260 !          IF Incrimente=0 THEN
6270 !              ALLOCATE V_nov(Grosseur+1)
6280 !              Val_nov=Vec_p2(J)
6290 !              CALL Vec_nov(Vec_pttrans(*),V_nov(*),Val_nov)
6300 !              DEALLOCATE Vec_pttrans(*)
6310 !              Grosseur=Grosseur+1
6320 !              ALLOCATE Vec_pttrans(Grosseur)
6330 !              MAT Vec_pttrans= V_nov
6340 !              DEALLOCATE V_nov(*)
6350 !          END IF
6360 !      NEXT J
6370 !      G5=SIZE(Vec_pttrans,1)
6380 !      G6=G5+1*(G5-1)

```

```

6390      ALLOCATE Vec_p(G6)
6400      FOR J=1 TO G5-1
6410          Vec_p(2*J-1)=Vec_pttrans(J)
6420          Vec_p(2*J)=(Vec_pttrans(J+1)-Vec_pttrans(J))/2+Vec_p(2*J-1)
6430      NEXT J
6440      Vec_p(2*G5-1)=Vec_pttrans(G5)
6450      MAT Vec_ttrans= Vt1
6460      Grosseur=G9
6470      FOR J=1 TO G11
6480          Incremente=0
6490          FOR I=1 TO G9
6500              IF Vt1(I)=Vt2(J) THEN
6510                  Incremente=1
6520              END IF
6530          NEXT I
6540          IF Incremente=0 THEN
6550              ALLOCATE V_nov(Grosseur+1)
6560              Val_nov=Vec_t2(J)
6570              CALL Vec_nov(Vec_ttrans(*),V_nov(*),Val_nov)
6580              DEALLOCATE Vec_ttrans(*)
6590              Grosseur=Grosseur+1
6600              ALLOCATE Vec_ttrans(Grosseur)
6610              MAT Vec_ttrans= V_nov
6620              DEALLOCATE V_nov(*)
6630          END IF
6640      NEXT J
6650      G9=SIZE(Vec_ttrans,1)
6660      G10=G9+1*(G9-1)
6670      ALLOCATE Vec_t(G10),Vec_tper(G10)
6680      FOR J=1 TO G9-1
6690          Vec_t(2*J-1)=Vec_ttrans(J)
6700          Vec_t(2*J)=(Vec_ttrans(J+1)-Vec_ttrans(J))/2+Vec_t(2*J-1)
6710      NEXT J
6720      Vec_t(2*G9-1)=Vec_ttrans(G9)
6730      ALLOCATE Mat_v1c(G6,G10),Mat_v2c(G6,G10),Mat_v1cper(G6,G10)
6740      ALLOCATE Mat_v2cper(G6,G10)
6750      CALL Det_v12(Vec_p(*),Vec_t(*),Vec_p(*),Vec_t(*),Mat_v1c(*),Mat_v2c(*))
6760      !
6770      !*****
6780      !
6790      !   AJOUT DES PERTURBATIONS SUR T, V1, V2
6800      !
6810      !*****
6820      !
6830      IF Chx_err=1 THEN
6840          CALL Error(Vec_t(*),Vec_tper(*),Err_t)
6850          CALL Error(Mat_v1c(*),Mat_v1cper(*),Err_v1)
6860          CALL Error(Mat_v2c(*),Mat_v2cper(*),Err_v2)
6870      ELSE
6880          CALL Errunif(Vec_t(*),Vec_tper(*),Err_t)
6890          CALL Errunif(Mat_v1c(*),Mat_v1cper(*),Err_v1)
6900          CALL Errunif(Mat_v2c(*),Mat_v2cper(*),Err_v2)
6910      END IF
6920      Vec_tper(1)=Vec_t(1)+Err_t*RND/2
6930      Transit=SIZE(Vec_tper,1)
6940      Vec_tper(Transit)=Vec_t(Transit)-RND/2*Err_t
6950      Transit1=SIZE(Mat_v1c,1)
6960      Transit2=SIZE(Mat_v1c,2)
6970      FOR Boucle=1 TO Transit2
6980          Mat_v1cper(1,Boucle)=Mat_v1c(1,Boucle)+Err_v1*RND/2
6990          Mat_v1cper(Transit1,Boucle)=Mat_v1c(Transit1,Boucle)-Err_v1*RND/2
7000      NEXT Boucle
7010      Transit1=SIZE(Mat_v2c,1)
7020      Transit2=SIZE(Mat_v2c,2)
7030      FOR Boucle=1 TO Transit2
7040          Mat_v2cper(1,Boucle)=Mat_v2c(1,Boucle)+Err_v2*RND/2

```

```

7050      Mat_v2cper(Transit1,Boucle)=Mat_v2c(Transit1,Boucle)-Err_v2*RND/2
7060  NEXT Boucle
7070  !
7080  !
7090  !*****
7100  !
7110  !   INTERPOLATION DE T
7120  !
7130  !*****
7140  !
7150  !
7160  ALLOCATE Mat_tp1(G1,G10),Mat_tp2(G2,G10),Xt1(G3),Yv1(G3)
7170  ALLOCATE Xt2(G4),Yv2(G4),Ta1(G3),Tb1(G3),Tc1(G3),Td1(G3),Ta2(G4),Tb2(G4)
7180  ALLOCATE Tc2(G4),Td2(G4)
7190  MAT Xt1= Vec_t1per
7200  MAT Xt2= Vec_t2per
7210  FOR J=1 TO G10
7220      Val_t=Vec_tper(J)
7230      FOR I=1 TO G1
7240          MAT Yv1= Mat_v1per(I,*)
7250          MAT Ta1= Ma1(I,*)
7260          MAT Tb1= Mb1(I,*)
7270          MAT Tc1= Mc1(I,*)
7280          MAT Td1= Md1(I,*)
7290          SELECT Chx_int
7300          CASE 1
7310              CALL Valspi3_2(Xt1(*),Yv1(*),Ta1(*),Tb1(*),Tc1(*),Td1(*),Val_t,Ym)
7320          CASE 2
7330              CALL Valspi3_2(Xt1(*),Yv1(*),Ta1(*),Tb1(*),Tc1(*),Td1(*),Val_t,Ym)
7340          CASE 3
7350              CALL Valspi3_2(Xt1(*),Yv1(*),Ta1(*),Tb1(*),Tc1(*),Td1(*),Val_t,Ym)
7360          CASE 4
7370              CALL Valspi2(Xt1(*),Yv1(*),Ta1(*),Tb1(*),Tc1(*),Val_t,Ym)
7380          CASE 5
7390              CALL Valspi2(Xt1(*),Yv1(*),Ta1(*),Tb1(*),Tc1(*),Val_t,Ym)
7400          CASE 6
7410              CALL Valspi3_2(Xt1(*),Yv1(*),Ta1(*),Tb1(*),Tc1(*),Td1(*),Val_t,Ym)
7420          CASE 7
7430              CALL Valspi2(Xt1(*),Yv1(*),Ta1(*),Tb1(*),Tc1(*),Val_t,Ym)
7440          END SELECT
7450          Mat_tp1(I,J)=Ym
7460  NEXT I
7470  FOR I=1 TO G2
7480      MAT Yv2= Mat_v2per(I,*)
7490      MAT Ta2= Ma2(I,*)
7500      MAT Tb2= Mb2(I,*)
7510      MAT Tc2= Mc2(I,*)
7520      MAT Td2= Md2(I,*)
7530      SELECT Chx_int
7540      CASE 1
7550          CALL Valspi3_2(Xt2(*),Yv2(*),Ta2(*),Tb2(*),Tc2(*),Td2(*),Val_t,Ym)
7560      CASE 2
7570          CALL Valspi3_2(Xt2(*),Yv2(*),Ta2(*),Tb2(*),Tc2(*),Td2(*),Val_t,Ym)
7580      CASE 3
7590          CALL Valspi3_2(Xt2(*),Yv2(*),Ta2(*),Tb2(*),Tc2(*),Td2(*),Val_t,Ym)
7600      CASE 4
7610          CALL Valspi2(Xt2(*),Yv2(*),Ta2(*),Tb2(*),Tc2(*),Val_t,Ym)
7620      CASE 5
7630          CALL Valspi2(Xt2(*),Yv2(*),Ta2(*),Tb2(*),Tc2(*),Val_t,Ym)
7640      CASE 6
7650          CALL Valspi3_2(Xt2(*),Yv2(*),Ta2(*),Tb2(*),Tc2(*),Td2(*),Val_t,Ym)
7660      CASE 7
7670          CALL Valspi2(Xt2(*),Yv2(*),Ta2(*),Tb2(*),Tc2(*),Val_t,Ym)
7680      END SELECT
7690      Mat_tp2(I,J)=Ym
7700  NEXT I

```



```

7710      NEXT J
7720      DEALLOCATE Xt1(*),Yv1(*)
7730      DEALLOCATE Xt2(*),Yv2(*),Ta1(*),Tb1(*),Tc1(*),Td1(*),Ta2(*),Tb2(*)
7740      DEALLOCATE Tc2(*),Td2(*)
7750      DEALLOCATE Vec_t1per(*),Vec_t2per(*)
7760      DEALLOCATE Mat_v1c(*),Mat_v2c(*)
7770      DEALLOCATE Mat_v1per(*),Mat_v2per(*)
7780      ALLOCATE A1(G1,G10),B1(G1,G10),C1(G1,G10),D1(G1,G10),A2(G2,G10)
7790      ALLOCATE B2(G2,G10),C2(G2,G10),D2(G2,G10)
7800      ALLOCATE Xp1(G1),Yp1(G1),Xp2(G2),Yp2(G2),Va1(G1),Vb1(G1),Vc1(G1),Vd1(G1)
7810      ALLOCATE Va2(G2),Vb2(G2),Vc2(G2),Vd2(G2)
7820      MAT Yp1= Vec_p1per
7830      MAT Yp2= Vec_p2per
7840      S1=INT(G1+SQRT(2*G1))
7850      S2=INT(G2+SQRT(2*G2))
7860      Sigy1=Err_p/2
7870      Sigy2=Err_p/2
7880      FOR J=1 TO G10
7890          MAT Xp1= Mat_tp1(*,J)
7900          MAT Xp2= Mat_tp2(*,J)
7910          SELECT Chx_int
7920          CASE 1
7930              CALL Intspl3_2(Xp1(*),Yp1(*),Va1(*),Vb1(*),Vc1(*),Vd1(*))
7940              CALL Intspl3_2(Xp2(*),Yp2(*),Va2(*),Vb2(*),Vc2(*),Vd2(*))
7950              MAT A1(*,J)= Va1
7960              MAT B1(*,J)= Vb1
7970              MAT C1(*,J)= Vc1
7980              MAT D1(*,J)= Vd1
7990              MAT A2(*,J)= Va2
8000              MAT B2(*,J)= Vb2
8010              MAT C2(*,J)= Vc2
8020              MAT D2(*,J)= Vd2
8030          CASE 2
8040              CALL Optspl3_2(Xp1(*),Yp1(*),Va1(*),Vb1(*),Vc1(*),Vd1(*))
8050              CALL Optspl3_2(Xp2(*),Yp2(*),Va2(*),Vb2(*),Vc2(*),Vd2(*))
8060              MAT A1(*,J)= Va1
8070              MAT B1(*,J)= Vb1
8080              MAT C1(*,J)= Vc1
8090              MAT D1(*,J)= Vd1
8100              MAT A2(*,J)= Va2
8110              MAT B2(*,J)= Vb2
8120              MAT C2(*,J)= Vc2
8130              MAT D2(*,J)= Vd2
8140          CASE 3
8150              CALL Optspl3b_2(Xp1(*),Yp1(*),Va1(*),Vb1(*),Vc1(*),Vd1(*))
8160              CALL Optspl3b_2(Xp2(*),Yp2(*),Va2(*),Vb2(*),Vc2(*),Vd2(*))
8170              MAT A1(*,J)= Va1
8180              MAT B1(*,J)= Vb1
8190              MAT C1(*,J)= Vc1
8200              MAT D1(*,J)= Vd1
8210              MAT A2(*,J)= Va2
8220              MAT B2(*,J)= Vb2
8230              MAT C2(*,J)= Vc2
8240              MAT D2(*,J)= Vd2
8250          CASE 4
8260              CALL Intspl2(Xp1(*),Yp1(*),Va1(*),Vb1(*),Vc1(*))
8270              CALL Intspl2(Xp2(*),Yp2(*),Va2(*),Vb2(*),Vc2(*))
8280              MAT A1(*,J)= Va1
8290              MAT B1(*,J)= Vb1
8300              MAT C1(*,J)= Vc1
8310              MAT A2(*,J)= Va2
8320              MAT B2(*,J)= Vb2
8330              MAT C2(*,J)= Vc2
8340          CASE 5
8350              CALL Optspl2(Xp1(*),Yp1(*),Va1(*),Vb1(*),Vc1(*))
8360              CALL Optspl2(Xp2(*),Yp2(*),Va2(*),Vb2(*),Vc2(*))

```

```

8370      MAT A1(*,J)= Va1
8380      MAT B1(*,J)= Vb1
8390      MAT C1(*,J)= Vc1
8400      MAT A2(*,J)= Va2
8410      MAT B2(*,J)= Vb2
8420      MAT C2(*,J)= Vc2
8430      CASE 6
8440      CALL Smospl3(Xp1(*),Yp1(*),S1,Sigy1,Va1(*),Vb1(*),Vc1(*),Vd1(*))
8450      CALL Smospl3(Xp2(*),Yp2(*),S2,Sigy2,Va2(*),Vb2(*),Vc2(*),Vd2(*))
8460      MAT A1(*,J)= Va1
8470      MAT B1(*,J)= Vb1
8480      MAT C1(*,J)= Vc1
8490      MAT D1(*,J)= Vd1
8500      MAT A2(*,J)= Va2
8510      MAT B2(*,J)= Vb2
8520      MAT C2(*,J)= Vc2
8530      MAT D2(*,J)= Vd2
8540      CASE 7
8550      IF Sigy1=0 THEN
8560          Sigy1=.000001
8570      END IF
8580      IF Sigy2=0 THEN
8590          Sigy2=.000001
8600      END IF
8610      CALL Smospl2a(Xp1(*),Yp1(*),Sigy1,S1,Va1(*),Vb1(*),Vc1(*))
8620      CALL Smospl2a(Xp2(*),Yp2(*),Sigy2,S2,Va2(*),Vb2(*),Vc2(*))
8630      MAT A1(*,J)= Va1
8640      MAT B1(*,J)= Vb1
8650      MAT C1(*,J)= Vc1
8660      MAT A2(*,J)= Va2
8670      MAT B2(*,J)= Vb2
8680      MAT C2(*,J)= Vc2
8690      END SELECT
8700  NEXT J
8710      !
8720      !
8730      !*****
8740      !
8750      !      INTERPOLATION DE P
8760      !
8770      !*****
8780      !
8790      !
8800  ALLOCATE Xv1(G6),Xv2(G6),Mint_p(G6,G10)
8810  MAT Yp1= Vec_p1per
8820  MAT Yp2= Vec_p2per
8830  FOR J=1 TO G10
8840      MAT Xv1= Mat_v1cper(*,J)
8850      MAT Xv2= Mat_v2cper(*,J)
8860      FOR I=1 TO G6
8870          !
8880          !*****
8890          !
8900          !      CHOIX DU CAPTEUR
8910          !
8920          !*****
8930          !
8940          Nb1=INT(Xv1(I)/5)
8950          Nb2=INT(Xv2(I)/5)
8960          Val_ajus1=Xv1(I)-Nb1*5
8970          Val_ajus2=Xv2(I)-Nb2*5
8980          Val_ajus1=ABS(Val_ajus1-2.5)
8990          Val_ajus2=ABS(Val_ajus2-2.5)
9000          IF Val_ajus1<Val_ajus2 THEN
9010              Chx_v=1
9020          ELSE

```



```

9030      Chx_v=2
9040    END IF
9050    IF Chx_v=1 THEN
9060      ALLOCATE V_int(G1),Yp(G1),A(G1),B(G1),C(G1),D(G1)
9070      MAT V_int= Mat_tp1(*,J)
9080      Gro_vec=G1
9090      MAT Yp= Yp1
9100      MAT A= A1(*,J)
9110      MAT B= B1(*,J)
9120      MAT C= C1(*,J)
9130      MAT D= D1(*,J)
9140      Xv=Xv1(I)
9150    ELSE
9160      ALLOCATE V_int(G2),Yp(G2),A(G2),B(G2),C(G2),D(G2)
9170      MAT V_int= Mat_tp2(*,J)
9180      Gro_vec=G2
9190      MAT Yp= Yp2
9200      MAT A= A2(*,J)
9210      MAT B= B2(*,J)
9220      MAT C= C2(*,J)
9230      MAT D= D2(*,J)
9240      Xv=Xv2(I)
9250    END IF
9260    IF Xv>=V_int(1) AND Xv<=V_int(Gro_vec) THEN
9270      !
9280      !
9290      !*****
9300      !   CALCUL DE P
9310      !*****
9320      !
9330      !
9340      SELECT Chx_int
9350      CASE 1
9360        CALL Valspi3_2(V_int(*),Yp(*),A(*),B(*),C(*),D(*),Xv,Pcal)
9370      CASE 2
9380        CALL Valspi3_2(V_int(*),Yp(*),A(*),B(*),C(*),D(*),Xv,Pcal)
9390      CASE 3
9400        CALL Valspi3_2(V_int(*),Yp(*),A(*),B(*),C(*),D(*),Xv,Pcal)
9410      CASE 4
9420        CALL Valspi2(V_int(*),Yp(*),A(*),B(*),C(*),Xv,Pcal)
9430      CASE 5
9440        CALL Valspi2(V_int(*),Yp(*),A(*),B(*),C(*),Xv,Pcal)
9450      CASE 6
9460        CALL Valspi3_2(V_int(*),Yp(*),A(*),B(*),C(*),D(*),Xv,Pcal)
9470      CASE 7
9480        CALL Valspi2(V_int(*),Yp(*),A(*),B(*),C(*),Xv,Pcal)
9490      END SELECT
9500    ELSE
9510      Pcal=9.9E+99
9520    END IF
9530    IF Xv<V_int(1) OR Xv>V_int(Gro_vec) THEN
9540      Mint_p(I,J)=9.9E+99
9550    ELSE
9560      Mint_p(I,J)=Pcal
9570    END IF
9580    DEALLOCATE V_int(*),A(*),B(*),C(*),D(*),Yp(*)
9590  NEXT I
9600 NEXT J
9610 !
9620 !*****
9630 !
9640 !   CALCUL DES ERREURS
9650 !*****
9660 !
9670 N=0
9680 Errmax=0

```

```

9690 Errmoy=0
9700 Errmax_trans=0
9710 Pos_p=1
9720 Gr_trans=SIZE(Vec_pttrans,1)
9730 Ecart_reel=0
9740 Ecart_reeltrans=0
9750 FOR J=1 TO G6
9760   FOR I=1 TO G10
9770     M=1
9780     Transit2=(Mint_p(J,I)-Vec_p(J))^2
9790     Transit=ABS((Mint_p(J,I)-Vec_p(J))/Vec_p(J))
9800     IF Mint_p(J,I)>=1.0E+99 THEN
9810       Transit=0
9820       Transit2=0
9830       M=0
9840       Mint_p(J,I)=Vec_p(J)
9850     END IF
9860     Errmoy=Errmoy+Transit2
9870     N=N+M
9880     Condition=0
9890     IF ABS(Mint_p(J,I)-Vec_p(J))/Vec_p(J)>Ecart_reeltrans THEN
9900       FOR Z=1 TO Gr_trans
9910         IF Vec_pttrans(Z)=Vec_p(J) THEN
9920           Condition=1
9930         END IF
9940       NEXT Z
9950       IF Condition=0 THEN
9960         Ecart_reeltrans=ABS(Mint_p(J,I)-Vec_p(J))/Vec_p(J)
9970         Pos_p=J
9980         Pos_t=I
9990       END IF
10000     END IF
10010     IF ABS((Mint_p(J,I)-Vec_p(J))/Vec_p(J))>Ecart_reel THEN
10020       Ecart_reel=ABS((Mint_p(J,I)-Vec_p(J))/Vec_p(J))
10030     END IF
10040     IF ABS(Mint_p(J,I)-Vec_p(J))>Errmax THEN
10050       Errmax=ABS(Mint_p(J,I)-Vec_p(J))
10060     END IF
10070   NEXT I
10080 NEXT J
10090 Gr_trans=SIZE(Vec_ttrans,1)
10100 Pos_t=1
10110 Err_temp=0
10120 FOR J=1 TO G6
10130   FOR I=1 TO G10
10140     Condition=0
10150     IF ABS(Mint_p(J,I)-Vec_p(J))/Vec_p(J)>Err_temp THEN
10160       FOR Z=1 TO Gr_trans
10170         IF Vec_ttrans(Z)=Vec_t(I) THEN
10180           Condition=1
10190         END IF
10200       NEXT Z
10210       IF Condition=0 THEN
10220         Err_temp=ABS(Mint_p(J,I)-Vec_p(J))/Vec_p(J)
10230         Pos_t=I
10240       END IF
10250     END IF
10260   NEXT I
10270 NEXT J
10280 Errmoy=SQRT(Errmoy/N)
10290 Retr(1)=Vec_p(Pos_p)
10300 Retr(2)=Vec_t(Pos_t)
10310 Retr(3)=Vec_p(Pos_p)
10320 Retr(4)=Vec_t(Pos_t)
10330 Retr(5)=Errmoy
10340 Retr(6)=Errmax

```

```

10350      Retr(7)=Ecart_reel
10360      Retr(8)=1
10370 SUBEND
10380 CSUB Smospl3(REAL X(*),Y(*),S,Sigy,A(*),B(*),C(*),D(*)) 10390 CSUB
Det_v12(Va1(*),Va2(*),Vb1(*),Vb2(*),Ma(*),Mb(*)) 10400 CSUB Smospl2a(REAL
X(*),Y(*),Sigy,S,A(*),B(*),C(*)) 10410 CDEF FNSign(REAL I)
10420 CDEF FNDer1(REAL X0,X1,X2,X3,Y0,Y1,Y2,Y3)

```

Le programme principal pour la procédure 2 (PCR2) est:

```

10      CONTROL 32,2;1
20      STATUS 32,2;Status
30      PRINT "STATUS=" ;Status
40      ! RTPRIO=0
50      ! *****
60      !      PROGRAMME D'ETALLONNAGE
61      !
62      !      PROG2
70      ! *****
71      !
80      OPTION BASE 1
90      DIM Donnee$(30),Donnee_suf$(30),Er(5),Resul$(30)
100     INPUT "VOULEZ-VOUS RECUPERER UN FICHIER DE DONNES (O/N)",Rep$
110     !
120     ! *****
130     !
140     !      LES FICHIERS DE LECTURE OU D'ECRITURE SONT DE TYPE ASCII
150     !
160     ! *****
170     !
180     IF Rep$="O" THEN
190         LOOP
200             Flag=0
210             INPUT "ENTRER LE NOM DU FICHIER DE DONNEES A RECUPERER",Donnee$
220             Donnee$="DONNEE.BAS"&Donnee$
230             ON ERROR GOSUB Esr2
240             ASSIGN @F_1 TO Donnee$
250             OFF ERROR
260             EXIT IF Flag=0
270             END LOOP
280             !
290             ! *****
300             !
310             !      LE FICHIER DOIT CONTENIR DANS L'ORDRE SUIVANT 16 VALEURS REELS
320             !      DECRIVANT LE NOMBRE
330             !      D'ELEMENTS DES VECTEURS ET DES MATRICES, 8 VECTEURS, 10 MATRICES
340             !      ET 6 VALEURS REELS.
350             !
360             ! *****
370             !
380             ENTER @F_1;K1,K2,K3,K4,V5,V6,V7,V8,M11,M12,M21,M22,M31,M32,M41,M42
390             ALLOCATE Vec_p1prim(V5),Vec_p2prim(V6)
400             ALLOCATE Vec_p1per(K1),Vec_p2per(K2),Vec_t1per(K3),Vec_t2per(K4)
410             ALLOCATE Vec_p1(V5),Vec_p2(V6),Vec_t1(V7),Vec_t2(V8)
420             ALLOCATE Mat_at1(M11,M12),Mat_bt1(M11,M12),Mat_ct1(M21,M22),Mat_dt1(M21,M22)
430             ALLOCATE Mat_at2(M21,M22),Mat_bt2(M21,M22),Mat_ct2(M21,M22),Mat_dt2(M21,M22)
440             ALLOCATE Mat_v2per(M41,M42),Mat_v1per(M31,M32),Mat_v1(2,2),Mat_v2(2,2)
450             ALLOCATE V1(K1),V2(K2),V3(K3),V4(K4),Ma1(M11,M12),Mb1(M11,M12)

```

```

460      ALLOCATE Mc1(M11,M12),Md1(M11,M12),Ma2(M21,M22),Mb2(M21,M22)
470      ALLOCATE Mc2(M21,M22),Md2(M21,M22),Mv1(M31,M32),Mv2(M41,M42)
480      ALLOCATE Vp1(V5),Vp2(V6),Vt1(V7),Vt2(V8)
490      !
500      !***** ALLOCATION POUR DONNEE PRIMAIRE *****
510      !
520      ENTER @F_1;Vec_p1per(*),Vec_p2per(*),Vec_t1per(*),Vec_t2per(*)
530      ENTER @F_1;Vec_p1(*),Vec_p2(*),Vec_t1(*),Vec_t2(*)
540      ENTER @F_1;Mat_at1(*),Mat_bt1(*),Mat_ct1(*),Mat_dt1(*)
550      ENTER @F_1;Mat_at2(*),Mat_bt2(*),Mat_ct2(*),Mat_dt2(*)
560      ENTER @F_1;Mat_v1per(*),Mat_v2per(*)
570      ENTER @F_1;Chx_err,Erreur_v1,Erreur_v2,Erreur_t,Erreur_p,Chx_int
580      ASSIGN @F_1 TO *
590      Saute=1
600      Exis_fich=1
610      ELSE
620          INPUT "ENTRER Tmin",Tmin
630          INPUT "ENTRER Tmax",Tmax
640          INPUT "ENTRER Pmin",Pmin
650          INPUT "ENTRER Pmax",Pmax
660      LOOP
670          INPUT "ERREUR POUR ETAL DONNEE PAR LOI NORMALE OU UNIFORME (1/0)",Chx_err
680          IF Chx_err=1 THEN
690              INPUT "ENTRER VARIANCE DE P",Var_p
700              Erreur_p=Var_p
710              INPUT "ENTRER VARIANCE DE T",Var_t
720              Erreur_t=Var_t
730              INPUT "ENTRER VARIANCE DE V1",Var_v1
740              Erreur_v1=Var_v1
750              INPUT "ENTRER VARIANCE DE V2",Var_v2
760              Erreur_v2=Var_v2
770              Sortir=1
780          ELSE
790              IF Chx_err=0 THEN
800                  INPUT "ENTRER DELTA P",Delta_p
810                  Erreur_p=Delta_p
820                  INPUT "ENTRER DELTA T",Delta_t
830                  Erreur_t=Delta_t
840                  INPUT "ENTRER DELTA V1",Delta_v1
850                  Erreur_v1=Delta_v1
860                  INPUT "ENTRER DELTA V2",Delta_v2
870                  Erreur_v2=Delta_v2
880                  Sortir=1
890              ELSE
900                  Sortir=0
910              END IF
920          END IF
930          EXIT IF Sortir=1
940      END LOOP
950      Saute=0
960      Exis_fich=0
970      END IF
980      INPUT "ERREUR POUR EVAL DONNEE PAR LOI NORMALE OU UNIFORME (1/0)",Cerr
990      INPUT "ENTRER LA VALEUR DE LA VARIANCE OU ERREUR UNIF POUR T",Err_t
1000     INPUT "ENTRER LA VALEUR DE LA VARIANCE OU ERREUR UNIF POUR V1",Err_v1
1010     INPUT "ENTRER LA VALEUR DE LA VARIANCE OU ERREUR UNIF POUR V2",Err_v2 1020 Er(1)=Cerr
1030     Er(2)=Err_t
1040     Er(3)=Err_v1
1050     Er(4)=Err_v2
1060     Er(5)=Erreur_p
1070     Sortir=0
1080     CLEAR SCREEN
1090     PRINT " LES INTERPOLATIONS POSSIBLES QUE PERMET CE PROGRAMME SONT:"
1100     PRINT
1110     PRINT "          1) INTSPL3"
1120     PRINT "          2) OPTSPL3"

```

```

1130 PRINT "          3) OPTSPL3_B"
1140 PRINT "          4) INTSPL2"
1150 PRINT "          5) OPTSPL2"
1160 PRINT "          6) SMOSPL3"
1161 PRINT "          7) SMOSPL2"
1170 LOOP
1180     INPUT " ENTRER VOTRE CHOIX",Chx_int
1190     IF Chx_int<=7 THEN
1200         IF Chx_int>=1 THEN
1210             Sortir=1
1220         END IF
1230     END IF
1240 EXIT IF Sortir=1
1250 END LOOP
1260 CLEAR SCREEN
1270 INPUT "ENTRER LE NOMBRE D'ITERATION DE TEMPERATURE DESIREE",Nbr_temp
1280 INPUT "ENTRER LE NOMBRE D'ITERATION DE PRESSION DESIREE",Nbr_pres
1290 INPUT "ENTRER LE NOM DU FICHIER DE SAUVEGARDE DES DONNEES",Donnee$
1300 Donnee$="DONNEE.BAS/"&Donnee$
1310 INPUT "ENTRER LE NOM DU FICHIER POUR SAUVEGARDE DES RESULTATS",Resul$
1320 Resul$="RESULTAT.BAS/"&Resul$
1330 ON ERROR GOSUB Esr1
1340 CREATE ASCII Resul$,10
1350 OFF ERROR
1360 ASSIGN @F_2 TO Resul$
1370 Total_iter=Nbr_temp*Nbr_pres
1380 OUTPUT @F_2;Chx_int,Chx_err,Erreur_p,Erreur_t,Erreur_v1,Erreur_v2
1390 !
1400 !*****
1410 !
1420 ! SI FICHIER DE DONNEE N'EXISTE PAS ALORS CALCUL DE
1430 ! VEC_P1, VEC_P2, MAT_V1, MAT_V2, MAT_V1PER
1440 ! MAT_V2PER, MAT_P1PER, MAT_P2PER, VEC_T1, VEC_T1PER, VEC_T2
1450 ! VEC_T2PER, MAT_AT1, MAT_BT1, MAT_CT1, MAT_DT1, MAT_AT2, MAT_BT2
1460 ! MAT_CT2, MAT_DT2
1470 !
1480 !*****
1490 !
1500 IF Saute=0 THEN
1510     Dim_p=5
1520     Dim_t=5
1530     ALLOCATE Vec_p1prim(Dim_p),Vec_p2prim(Dim_p),Vec_p1(Dim_p),Vec_p2(Dim_p),Vec_p1per(Dim_p),Vec_p2per(Dim
1540     ALLOCATE Vec_t1(Dim_t),Vec_t2(Dim_t),Vec_t1per(Dim_t),Vec_t2per(Dim_t)
1550     ALLOCATE Mat_v1(Dim_p,Dim_t),Mat_v2(Dim_p,Dim_t),Mat_v1per(Dim_p,Dim_t),Mat_v2per(Dim_p,Dim_t)
1560     ALLOCATE Mat_at1(Dim_p,Dim_t),Mat_bt1(Dim_p,Dim_t),Mat_ct1(Dim_p,Dim_t),Mat_dt1(Dim_p,Dim_t)
1570     ALLOCATE Mat_at2(Dim_p,Dim_t),Mat_bt2(Dim_p,Dim_t),Mat_ct2(Dim_p,Dim_t),Mat_dt2(Dim_p,Dim_t)
1580     ALLOCATE V1(Dim_p),V2(Dim_p),V3(Dim_t),V4(Dim_t),Ma1(Dim_p,Dim_t),Mb1(Dim_p,Dim_t),Mc1(Dim_p,Dim_t)
1590     ALLOCATE Md1(Dim_p,Dim_t),Ma2(Dim_p,Dim_t),Mb2(Dim_p,Dim_t),Mc2(Dim_p,Dim_t),Md2(Dim_p,Dim_t),Mv1(Dim_p
1600     ALLOCATE Mv2(Dim_p,Dim_t),Vp1(Dim_p),Vp2(Dim_p),Vt1(Dim_t),Vt2(Dim_t)
1610 !
1620 !*****
1630 !
1640 ! CALCUL DE V1, V2, T1 ET T2
1650 !
1660 !*****
1670 !
1680     Pas_temp=(Tmax-Tmin)/(Dim_t-1)
1690     FOR I=1 TO Dim_t
1700         Vec_t1(I)=Tmin+(I-1)*Pas_temp
1710         Vec_t2(I)=Tmin+(I-1)*Pas_temp
1720     NEXT I
1730     Pas_pres=(Pmax-Pmin)/(Dim_p-1)
1740     FOR I=1 TO Dim_p
1750         Vec_p1(I)=Pmin+(I-1)*Pas_pres
1760         Vec_p2(I)=Pmin+(I-1)*Pas_pres
1770     NEXT I

```

```

1780          V5=Dim_p
1790          V7=Dim_t
1800 END IF
1810 DIM Rtr(8)
1820 OUTPUT @F_2;Err_t,Err_v1,Err_v2,Vec_p1(1),Vec_p1(V5),Vec_t1(1),Vec_t1(V7)
1830 OUTPUT @F_2;Total_iter
1840 Fin=0
1850 CLEAR SCREEN
1860 !
1870 !*****
1880 !
1890 !   GARDE EN MEMOIRE DES DONNEES PRIMAIRE
1900 !
1910 !*****
1920 !
1930 RANDOMIZE
1940 MAT Vec_p1prim= Vec_p1
1950 MAT Vec_p2prim= Vec_p2
1960 OUTPUT @F_2;Nbr_temp,Nbr_pres
1970 FOR I=1 TO Nbr_temp
1980   PRINT "NBR_TEMP=";I
1990   FOR J=1 TO Nbr_pres
2000     IF Saute=0 THEN
2010       CALL Det_v1(Vec_p1(*),Vec_t1(*),Mat_v1(*))
2020       IF Chx_err=1 THEN
2030         CALL Errmor(Vec_p1(*),Vec_p1per(*),Var_p)
2070         CALL Errmor(Vec_p2(*),Vec_p2per(*),Var_p)
2110         CALL Errmor(Vec_t1(*),Vec_t1per(*),Var_t)
2150         CALL Errmor(Vec_t2(*),Vec_t2per(*),Var_t)
2260       ELSE
2270         CALL Errunif(Vec_p1(*),Vec_p1per(*),Delta_p)
2310         CALL Errunif(Vec_p2(*),Vec_p2per(*),Delta_p)
2350         CALL Errunif(Vec_t1(*),Vec_t1per(*),Delta_t)
2390         CALL Errunif(Vec_t2(*),Vec_t2per(*),Delta_t)
2500       END IF
2501       CALL Det_v1(Vec_p1per(*),Vec_t1per(*),Mat_v1per(*))
2506       IF Chx_err=1 THEN
2507         CALL Errmor(Mat_v1per(*),Mat_v1per(*),Var_v1)
2508         Transit1=SIZE(Mat_v1,1)
2509         Transit2=SIZE(Mat_v1,2)
2510         FOR Boucle=1 TO Transit2
2511           Mat_v1per(1,Boucle)=Mat_v1(1,Boucle)-Var_v1*RND/2
2512           Mat_v1per(Transit1,Boucle)=Mat_v1(Transit1,Boucle)+Var_v1*RND/2
2513         NEXT Boucle
2514       ELSE
2515         CALL Errunif(Mat_v1per(*),Mat_v1per(*),Delta_v1)
2516         Transit1=SIZE(Mat_v1,1)
2517         Transit2=SIZE(Mat_v1,2)
2518         FOR Boucle=1 TO Transit2
2519           Mat_v1per(1,Boucle)=Mat_v1(1,Boucle)-Delta_v1*RND/2
2520           Mat_v1per(Transit1,Boucle)=Mat_v1(Transit1,Boucle)+Delta_v1*RND/2
2521         NEXT Boucle
2522       END IF
2523       Longueur=SIZE(Vec_t1per,1)
2524       N=SIZE(Vec_p1per,1)
2525       ALLOCATE Var1(Longueur),Var2a(Longueur),Var2b(Longueur),Var2c(Longueur),Var2d(Longueur)
2526       FOR K=1 TO N
2527         MAT Var1= Mat_v1per(K,*)
2528         SELECT Chx_int
2529         CASE 1
2530           CALL Intspl3_2(Vec_t1(*),Var1(*),Var2a(*),Var2b(*),Var2c(*),Var2d(*))
2531           MAT Mat_at1(K,*)= Var2a
2532           MAT Mat_bt1(K,*)= Var2b
2533           MAT Mat_ct1(K,*)= Var2c
2534           MAT Mat_dt1(K,*)= Var2d
2535         CASE 2

```

```

2536      CALL Optspi3_2(Vec_t1(*),Var1(*),Var2a(*),Var2b(*),Var2c(*),Var2d(*))
2537      MAT Mat_at1(K,*)= Var2a
2538      MAT Mat_bt1(K,*)= Var2b
2539      MAT Mat_ct1(K,*)= Var2c
2540      MAT Mat_dt1(K,*)= Var2d
2541      CASE 3
2542      CALL Optspi3b_2(Vec_t1(*),Var1(*),Var2a(*),Var2b(*),Var2c(*),Var2d(*))
2543      MAT Mat_at1(K,*)= Var2a
2544      MAT Mat_bt1(K,*)= Var2b
2545      MAT Mat_ct1(K,*)= Var2c
2546      MAT Mat_dt1(K,*)= Var2d
2547      CASE 4
2548      CALL Intspi2(Vec_t1(*),Var1(*),Var2a(*),Var2b(*),Var2c(*))
2549      MAT Mat_at1(K,*)= Var2a
2550      MAT Mat_bt1(K,*)= Var2b
2551      MAT Mat_ct1(K,*)= Var2c
2552      CASE 5
2553      CALL Optspi2(Vec_t1(*),Var1(*),Var2a(*),Var2b(*),Var2c(*))
2554      MAT Mat_at1(K,*)= Var2a
2555      MAT Mat_bt1(K,*)= Var2b
2556      MAT Mat_ct1(K,*)= Var2c
2557      CASE 6
2558      S=INT(Longeur+SQRT(2*Longeur))
2559      Sigy=Erreur_v1/2
2560      CALL Smospi3(Vec_t1(*),Var1(*),S,Sigy,Var2a(*),Var2b(*),Var2c(*),Var2d(*))
2561      MAT Mat_at1(K,*)= Var2a
2562      MAT Mat_bt1(K,*)= Var2b
2563      MAT Mat_ct1(K,*)= Var2c
2564      MAT Mat_dt1(K,*)= Var2d
2565      CASE 7
2566      S=INT(Longeur+SQRT(2*Longeur))
2567      Sigy=Erreur_v1/2
2568      IF Sigy=0 THEN
2569      Sigy=.000001
2570      END IF
2571      CALL Smospi2a(Vec_t1(*),Var1(*),Sigy,S,Var2a(*),Var2b(*),Var2c(*))
2572      MAT Mat_at1(K,*)= Var2a
2573      MAT Mat_bt1(K,*)= Var2b
2574      MAT Mat_ct1(K,*)= Var2c
2575      END SELECT
2576      NEXT K
2577      DEALLOCATE Var1(*),Var2a(*),Var2b(*),Var2c(*),Var2d(*)
2581 !
2582 !
2583 !*****
2584 !
2585 !          SAUVEGARDE DES DONNEES
2586 !*****
2587 !
2588 !
2589      V5=SIZE(Vec_p1,1)
2590      V6=SIZE(Vec_p2,1)
2591      V7=SIZE(Vec_t1,1)
2592      V8=SIZE(Vec_t2,1)
2593      M11=SIZE(Mat_at1,1)
2594      M12=SIZE(Mat_at1,2)
2595      M21=SIZE(Mat_at2,1)
2596      M22=SIZE(Mat_at2,2)
2597      M31=SIZE(Mat_v1per,1)
2598      M32=SIZE(Mat_v1per,2)
2599      IF J=Nbr_pres THEN
2600      Sufx1$=VAL$(V7)
2601      Sufx2$=VAL$(V5)
2602      Sufx$="."&Sufx1$&"P"&Sufx2$
2603      Donnee_sufx$=Donnee$&Sufx$
2604      ON ERROR GOSUB Esr3

```

```

2605 !      CREATE ASCII Donnee_sufx$,10
2606 !      OFF ERROR
2607 !      ASSIGN @F_1 TO Donnee_sufx$
2608 !      OUTPUT @F_1;V5,V6,V7,V8,V5,V6,V7,V8,M11,M12,M21,M22,M31,M32
2609 !      OUTPUT @F_1;M41,M42,Vec_p1per(*),Vec_p2per(*),Vec_t1per(*)
2610 !      OUTPUT @F_1;Vec_t2per(*),Vec_p1(*),Vec_p2(*),Vec_t1(*),Vec_t2(*)
2611 !      OUTPUT @F_1;Mat_at1(*),Mat_bt1(*),Mat_ct1(*),Mat_dt1(*),Mat_at2(*)
2612 !      OUTPUT @F_1;Mat_bt2(*),Mat_ct2(*),Mat_dt2(*),Mat_v1per(*),Mat_v2per(*)
2613 !      OUTPUT @F_1;Chx_err,Erreur_v1,Erreur_v2,Erreur_t,Erreur_p,Chx_int
2614 !      ASSIGN @F_1 TO *
2615 !      END IF
2616 !      END IF
2617 !      Saute=0
2618 !      MAT V1= Vec_p1per
2619 !      MAT V2= Vec_p2per
2620 !      MAT V3= Vec_t1per
2621 !      MAT V4= Vec_t2per
2622 !      MAT Ma1= Mat_at1
2623 !      MAT Mb1= Mat_bt1
2624 !      MAT Mc1= Mat_ct1
2625 !      MAT Md1= Mat_dt1
2626 !      MAT Mv1= Mat_v1per
2627 !      MAT Vp1= Vec_p1
2628 !      MAT Vp2= Vec_p2
2629 !      MAT Vt1= Vec_t1
2630 !      MAT Vt2= Vec_t2
2631 !      Cint=Chx_int
2632 !      CALL Eval(V1(*),V2(*),V3(*),V4(*),Vp1(*),Vp2(*),Vt1(*),Vt2(*),Ma1(*),Mb1(*),Mc1(*),Md1(*),Mv1(*),Cint,
Er(*),Rtr(*))
2633 !      P1n=Rtr(1)
2634 !      T1n=Rtr(2)
2635 !      P2n=Rtr(3)
2636 !      T2n=Rtr(4)
2637 !      Errmoy=Rtr(5)
2638 !      Errmax=Rtr(6)
2639 !      Ecart_reel=Rtr(7)
2640 !      !PRINT "ERRMAX=";Errmax
2641 !      !PRINT "ERREUR RELAT. MAX=";Ecart_reel
2642 !      !PRINT "ERRMOY=";Errmoy
2643 !      !PRINT " "
2644 !      !PRINT "PRES NOV=";P1n
2645 !      !PRINT "TEMP NOV=";T1n
2646 !      !PRINT " "
2647 !      Fin=Rtr(8)
2648 !      B=5
2649 !      ALLOCATE Vec_p1n(V5+B),Vec_p2n(V6+B),Vec_t1n(V7),Vec_t2n(V8)
2650 !      MAT Vec_t1n= Vec_t1
2651 !      MAT Vec_t2n= Vec_t2
2652 !      CALL Vec_nov(Vec_p1(*),Vec_p1n(*),P1n)
2653 !      CALL Vec_nov(Vec_p2(*),Vec_p2n(*),P2n)
2654 !      Pas_pres=(Pmax-Pmin)/(V5+B-1)
2655 !      FOR Kk=1 TO V5+B
2656 !      Vec_p1n(Kk)=Pmin+(Kk-1)*Pas_pres
2657 !      NEXT Kk
2658 !      Pas_pres=(Pmax-Pmin)/(V6+B-1)
2659 !      FOR Kk=1 TO V6+B
2660 !      Vec_p2n(Kk)=Pmin+(Kk-1)*Pas_pres
2661 !      NEXT Kk
2662 !      ON ERROR GOSUB Esr3
2663 !      CREATE ASCII "TRANSIT",10
2664 !      OFF ERROR
2665 !      ASSIGN @F_3 TO "TRANSIT"
2666 !      OUTPUT @F_3;Vec_p1n(*),Vec_p2n(*),Vec_t1n(*),Vec_t2n(*)
2667 !      ASSIGN @F_3 TO *
2668 !      DEALLOCATE Vec_p1n(*),Vec_p2n(*),Vec_t1n(*),Vec_t2n(*)
2669 !      DEALLOCATE Vec_p1(*),Vec_p2(*),Vec_t1(*),Vec_t2(*),Vec_p1per(*)

```



```

2670      DEALLOCATE Vec_p2per(*),Vec_t1per(*),Vec_t2per(*),Mat_v1(*),Mat_v2(*)
2671      DEALLOCATE Mat_v1per(*),Mat_v2per(*),Mat_at1(*),Mat_bt1(*),Mat_ct1(*)
2672      DEALLOCATE Mat_dt1(*),Mat_at2(*),Mat_bt2(*),Mat_ct2(*),Mat_dt2(*)
2673      DEALLOCATE V1(*),V2(*),V3(*),V4(*),Ma1(*),Mb1(*),Mc1(*),Md1(*)
2674      DEALLOCATE Ma2(*),Mb2(*),Mc2(*),Md2(*),Mv1(*),Mv2(*),Vp1(*),Vp2(*),Vt1(*),Vt2(*)
2675      ALLOCATE Vec_p1(V5+B),Vec_p2(V6+B),Vec_p1per(V5+B),Vec_p2per(V6+B)
2676      ALLOCATE Vec_t1(V7),Vec_t2(V8),Vec_t1per(V7),Vec_t2per(V8)
2677      ALLOCATE Mat_v1(V5+B,V7),Mat_v2(V6+B,V8),Mat_v1per(V5+B,V7),Mat_v2per(V6+B,V8)
2678      ALLOCATE Mat_at1(V5+B,V7),Mat_bt1(V5+B,V7),Mat_ct1(V5+B,V7),Mat_dt1(V5+B,V7)
2679      ALLOCATE Mat_at2(V6+B,V8),Mat_bt2(V6+B,V8),Mat_ct2(V6+B,V8),Mat_dt2(V6+B,V8)
2680      ALLOCATE V1(V5+B),V2(V6+B),V3(V7),V4(V8),Ma1(V5+B,V7),Mb1(V5+B,V7),Mc1(V5+B,V7)
2681      ALLOCATE Md1(V5+B,V7),Ma2(V6+B,V8),Mb2(V6+B,V8),Mc2(V6+B,V8),Md2(V6+B,V8),Mv1(V5+B,V7)
2682      ALLOCATE Mv2(V6+B,V8),Vp1(V5+B),Vp2(V6+B),Vt1(V7),Vt2(V8)
2684      ASSIGN @F_3 TO "TRANSIT"
2685      ENTER @F_3;Vec_p1(*),Vec_p2(*),Vec_t1(*),Vec_t2(*)
2686      ASSIGN @F_3 TO *
2687  !
2688  !
2689  !*****
2690  !
2691  !   ECRITURE DES RESULTATS DANS LE FICHIER ADEQUAT
2692  !
2693  !
2694  !*****
2695  !
2696  !
2697      OUTPUT @F_2;V5,V7,V6,V8,Errmax,Errmoy,Ecart_reel
2698      NEXT J
2699      V5=SIZE(Vec_p1prim,1)
2700      V6=SIZE(Vec_p2prim,1)
2701      ALLOCATE Vec_t1n(V7+B),Vec_t2n(V8+B)
2702  ! CALL Vec_nov(Vec_t1(*),Vec_t1n(*),T1n) 2703 ! CALL
Vec_nov(Vec_t2(*),Vec_t2n(*),T2n) 2704 Pas_temp=(Tmax-
Tmin)/(V7+B-1)
2705      FOR Kk=1 TO V7+B
2706          Vec_t1n(Kk)=Tmin+(Kk-1)*Pas_temp
2707      NEXT Kk
2708      Pas_temp=(Tmax-Tmin)/(V8+B-1)
2709      FOR Kk=1 TO V8+B
2710          Vec_t2n(Kk)=Tmin+(Kk-1)*Pas_temp
2711      NEXT Kk
2712      ASSIGN @F_3 TO "TRANSIT"
2713      OUTPUT @F_3;Vec_t1n(*),Vec_t2n(*)
2714      ASSIGN @F_3 TO *
2715      DEALLOCATE Vec_t1n(*),Vec_t2n(*)
2716      DEALLOCATE Vec_p1(*),Vec_p2(*),Vec_t1(*),Vec_t2(*),Vec_p1per(*)
2717      DEALLOCATE Vec_p2per(*),Vec_t1per(*),Vec_t2per(*),Mat_v1(*),Mat_v2(*)
2718      DEALLOCATE Mat_v1per(*),Mat_v2per(*),Mat_at1(*),Mat_bt1(*),Mat_ct1(*)
2719      DEALLOCATE Mat_dt1(*),Mat_at2(*),Mat_bt2(*),Mat_ct2(*),Mat_dt2(*)
2720      DEALLOCATE V1(*),V2(*),V3(*),V4(*),Ma1(*),Mb1(*),Mc1(*),Md1(*)
2721      DEALLOCATE Ma2(*),Mb2(*),Mc2(*),Md2(*),Mv1(*),Mv2(*)
2722      DEALLOCATE Vp1(*),Vp2(*),Vt1(*),Vt2(*)
2723      ALLOCATE Vec_p1(V5),Vec_p2(V6),Vec_p1per(V5),Vec_p2per(V6)
2724      ALLOCATE Vec_t1(V7+B),Vec_t2(V8+B),Vec_t1per(V7+B),Vec_t2per(V8+B)
2725      ALLOCATE Mat_v1(V5,V7+B),Mat_v2(V6,V8+B),Mat_v1per(V5,V7+B),Mat_v2per(V6,V8+B)
2726      ALLOCATE Mat_at1(V5,V7+B),Mat_bt1(V5,V7+B),Mat_ct1(V5,V7+B),Mat_dt1(V5,V7+B)
2727      ALLOCATE Mat_at2(V6,V8+B),Mat_bt2(V6,V8+B),Mat_ct2(V6,V8+B),Mat_dt2(V6,V8+B)
2728      ALLOCATE V1(V5),V2(V6),V3(V7+B),V4(V8+B),Ma1(V5,V7+B),Mb1(V5,V7+B),Mc1(V5,V7+B)
2729      ALLOCATE Md1(V5,V7+B),Ma2(V6,V8+B),Mb2(V6,V8+B),Mc2(V6,V8+B),Md2(V6,V8+B),Mv1(V5,V7+B)
2730      ALLOCATE Mv2(V6,V8+B),Vp1(V5),Vp2(V6),Vt1(V7+B),Vt2(V8+B)
2731      MAT Vec_p1= Vec_p1prim
2732      MAT Vec_p2= Vec_p2prim
2733      ASSIGN @F_3 TO "TRANSIT"
2734      ENTER @F_3;Vec_t1(*),Vec_t2(*)
2735      ASSIGN @F_3 TO *
2736  NEXT I

```

```

2737 ASSIGN @F_2 TO *
2738 STOP
2739 Esr1:IF ERRN=54 THEN
2740     CLEAR SCREEN
2741     PRINT "FICHIER EXISTE DEJA"
2742     PRINT "VOULEZ-VOUS CANGER DE NOM (O/N) ?"
2743     INPUT Chx$
2744     IF Chx$="N" THEN
2745         ERROR RETURN
2746     ELSE
2747         INPUT "ENTRER LE NOUVEAU NOM",Donnee$
2748         RETURN
2749     END IF
2750 END IF
2751 Esr2:IF ERRN=56 THEN
2752     CLEAR SCREEN
2753     PRINT "FICHIER N'EXISTE PAS DANS LE SOUS REPERTOIRE"
2754     PRINT "DONNEE.BAS"
2755     Flag=1
2756     ERROR RETURN
2757 END IF
2758 RETURN
2759 Esr3:IF ERRN=54 THEN
2760     ERROR RETURN
2761 END IF
2762 END
2763 CSUB Intspl2(X(*),Y(*),A(*),B(*),C(*))
2764 CSUB Optspl2(X(*),Y(*),A(*),B(*),C(*))
2765 CSUB Intspl3_2(X(*),Y(*),A(*),B(*),C(*),D(*))
2766 CSUB Optspl3b_2(X(*),Y(*),A(*),B(*),C(*),D(*))
2767 CSUB Optspl3_2(X(*),Y(*),A(*),B(*),C(*),D(*))
2768 CSUB Errunif(Entre(*),Sortie(*),Var)
2769 CSUB Erru1(Entre(*),Sortie(*),Boucle(*),Var)
2770 CSUB Erru2(Entre(*),Sortie(*),Boucle(*),Var)
2771 CSUB Erru3(Entre(*),Sortie(*),Boucle(*),Var)
2772 CSUB Error(Entre(*),Sortie(*),Var)
2773 CSUB Errm1(Entre(*),Sortie(*),Boucle(*),Var)
2774 CSUB Errm2(Entre(*),Sortie(*),Boucle(*),Var)
2775 CSUB Errm3(Entre(*),Sortie(*),Boucle(*),Var)
2776 CSUB Vec_nov(V1_anc(*),V1_nov(*),V1_pla)
2777 CSUB Valspl3_2(X(*),Y(*),A(*),B(*),C(*),D(*),Xm,Ym)
2778 CSUB Der_vspl3_2(X(*),Y(*),A(*),B(*),C(*),D(*),Xm,Ym)
2779 CSUB Valspl2(X(*),Y(*),A(*),B(*),C(*),Xm,Ym)
2780 CSUB Der_vspl2(X(*),Y(*),A(*),B(*),C(*),Xm,Ym)
2781 SUB Eval(V1(*),V2(*),V3(*),V4(*),Vp1(*),Vp2(*),Vt1(*),Vt2(*),Ma1(*),Mb1(*),Mc1(*),Md1(*),Mv1(*),Chx_int,Er(*),Retr(*))
2782     OPTION BASE 1
2783 !
2784 !
2785 !*****
2786 !
2787 ! PROGRAMME D'EVALUATION
2788 !
2789 !     ENTREE: V1, V2, V3, V4, VP1, VP2, VT1, VT2, MA1, MB1
2790 !           MC1, MD1, MA2, MB2, MC2, MD2, MV1, MV2, CHX_INT
2791 !
2792 !     SORTIE: RETR
2793 !
2794 !*****
2795 !
2796 !     G1=SIZE(V1,1)
2797 !     G2=SIZE(V2,1)
2798 !     G3=SIZE(V3,1)
2799 !     G4=SIZE(V4,1)
2800 !     G5=SIZE(Vp1,1)
2801 !     G6=G5+3*(G5-1)
2802 !     G7=SIZE(Vp2,1)

```

```

2803      G8=G7+3*(G7-1)
2804      G9=SIZE(Vt1,1)
2805      G10=G9+3*(G9-1)
2806      G11=SIZE(Vt2,1)
2807      G12=G11+3*(G11-1)
2808      M11=SIZE(Mv1,1)
2809      M12=SIZE(Mv1,2)
2810      Chx_err=Er(1)
2811      Err_t=Er(2)
2812      Err_v1=Er(3)
2813      Err_v2=Er(4)
2814      Err_p=Er(5)
2815      ALLOCATE Vec_p1per(G1),Vec_p2per(G2),Vec_t1per(G3),Vec_t2per(G4)
2816      ALLOCATE Vec_p1(G5),Vec_p2(G7),Vec_t1(G9),Vec_t2(G11)
2817      ALLOCATE Vec_ptrans(G5),Vec_ttrans(G9)
2818      ALLOCATE Mat_v1per(M11,M12),Mat_v2per(M11,M12)
2819      MAT Vec_p1per= V1
2820      MAT Vec_p2per= V2
2821      MAT Vec_t1per= V3
2822      MAT Vec_t2per= V4
2823      MAT Mat_v1per= Mv1
2824      MAT Vec_p1= Vp1
2825      MAT Vec_p2= Vp2
2826      MAT Vec_t1= Vt1
2827      MAT Vec_t2= Vt2
2829 !
2830 !
2831 !*****
2832 !  CALCUL DE VEC_P, VEC_T
2833 !*****
2834 !
2835 !
2836      MAT Vec_ptrans= Vp1
2837      Grosseur=G5
2838      FOR J=1 TO G7
2839          Incremente=0
2840          FOR I=1 TO G5
2841              IF Vp1(I)=Vp2(J) THEN
2842                  Incremente=1
2843              END IF
2844          NEXT I
2845          IF Incremente=0 THEN
2846              ALLOCATE V_nov(Grosseur+1)
2847              Val_nov=Vec_p2(J)
2848              CALL Vec_nov(Vec_ptrans(*),V_nov(*),Val_nov)
2849              DEALLOCATE Vec_ptrans(*)
2850              Grosseur=Grosseur+1
2851              ALLOCATE Vec_ptrans(Grosseur)
2852              MAT Vec_ptrans= V_nov
2853              DEALLOCATE V_nov(*)
2854          END IF
2855      NEXT J
2856      G5=SIZE(Vec_ptrans,1)
2857      G6=G5+1*(G5-1)
2858      ALLOCATE Vec_p(G6)
2859      FOR J=1 TO G5-1
2860          Vec_p(2*J-1)=Vec_ptrans(J)
2861          Vec_p(2*J)=(Vec_ptrans(J+1)-Vec_ptrans(J))/2+Vec_p(2*J-1)
2862      NEXT J
2863      Vec_p(2*G5-1)=Vec_ptrans(G5)
2864      MAT Vec_ttrans= Vt1
2865      Grosseur=G9
2866      FOR J=1 TO G11
2867          Incremente=0
2868          FOR I=1 TO G9
2869              IF Vt1(I)=Vt2(J) THEN

```

```

2870         Incremente=1
2871     END IF
2872 NEXT I
2873 IF Incremente=0 THEN
2874     ALLOCATE V_nov(Grosseur+1)
2875     Val_nov=Vec_t2(J)
2876     CALL Vec_nov(Vec_ttrans(*),V_nov(*),Val_nov)
2877     DEALLOCATE Vec_ttrans(*)
2878     Grosseur=Grosseur+1
2879     ALLOCATE Vec_ttrans(Grosseur)
2880     MAT Vec_ttrans= V_nov
2881     DEALLOCATE V_nov(*)
2882 END IF
2883 NEXT J
2884 G9=SIZE(Vec_ttrans,1)
2885 G10=G9+1*(G9-1)
2886 ALLOCATE Vec_t(G10),Vec_tper(G10)
2887 FOR J=1 TO G9-1
2888     Vec_t(2*J-1)=Vec_ttrans(J)
2889     Vec_t(2*J)=(Vec_ttrans(J+1)-Vec_ttrans(J))/2+Vec_t(2*J-1)
2890 NEXT J
2891 Vec_t(2*G9-1)=Vec_ttrans(G9)
2892 ALLOCATE Mat_v1c(G6,G10),Mat_v2c(G6,G10),Mat_v1cper(G6,G10)
2893 ALLOCATE Mat_v2cper(G6,G10)
2894 CALL Det_v12(Vec_p(*),Vec_t(*),Vec_p(*),Vec_t(*),Mat_v1c(*),Mat_v2c(*))
2895 !
2896 ! *****
2897 !
2898 !   AJOUT DES PERTURBATIONS SUR T, V1, V2
2899 !
2900 ! *****
2901 !
2902 IF Chx_err=1 THEN
2903     CALL Errmor(Vec_t(*),Vec_tper(*),Err_t)
2904     CALL Errmor(Mat_v1c(*),Mat_v1cper(*),Err_v1)
2905     CALL Errmor(Mat_v2c(*),Mat_v2cper(*),Err_v2)
2906 ELSE
2907     CALL Errunif(Vec_t(*),Vec_tper(*),Err_t)
2908     CALL Errunif(Mat_v1c(*),Mat_v1cper(*),Err_v1)
2909     CALL Errunif(Mat_v2c(*),Mat_v2cper(*),Err_v2)
2910 END IF
2911 Vec_tper(1)=Vec_t(1)+Err_t*RND/2
2912 Transit=SIZE(Vec_tper,1)
2913 Vec_tper(Transit)=Vec_t(Transit)-RND/2*Err_t
2914 Transit1=SIZE(Mat_v1c,1)
2915 Transit2=SIZE(Mat_v1c,2)
2916 FOR Boucle=1 TO Transit2
2917     Mat_v1cper(1,Boucle)=Mat_v1c(1,Boucle)+Err_v1*RND/2
2918     Mat_v1cper(Transit1,Boucle)=Mat_v1c(Transit1,Boucle)-Err_v1*RND/2
2919 NEXT Boucle
2920 Transit1=SIZE(Mat_v2c,1)
2921 Transit2=SIZE(Mat_v2c,2)
2922 FOR Boucle=1 TO Transit2
2923     Mat_v2cper(1,Boucle)=Mat_v2c(1,Boucle)+Err_v2*RND/2
2924     Mat_v2cper(Transit1,Boucle)=Mat_v2c(Transit1,Boucle)-Err_v2*RND/2
2925 NEXT Boucle
2926 !
2927 ! *****
2928 !
2929 !   INTERPOLATION DE T
2930 !
2931 ! *****
2932 !
2933 !
2934 !
2935 ALLOCATE Mat_tp1(G1,G10),Mat_tp2(G2,G10),Xt1(G3),Yv1(G3)

```

```

2936 ALLOCATE X12(G4),Yv2(G4),Ta1(G3),Tb1(G3),Tc1(G3),Td1(G3),Ta2(G4),Tb2(G4)
2937 ALLOCATE Tc2(G4),Td2(G4)
2938 MAT X1= Vec_t1
2939 FOR J=1 TO G10
2940   Val_t=Vec_tper(J)
2941   FOR I=1 TO G1
2942     MAT Yv1= Mat_v1per(I,*)
2943     MAT Ta1= Ma1(I,*)
2944     MAT Tb1= Mb1(I,*)
2945     MAT Tc1= Mc1(I,*)
2946     MAT Td1= Md1(I,*)
2947     SELECT Chx_int
2948     CASE 1
2949       CALL Valspl3_2(X1(*),Yv1(*),Ta1(*),Tb1(*),Tc1(*),Td1(*),Val_t,Ym)
2950     CASE 2
2951       CALL Valspl3_2(X1(*),Yv1(*),Ta1(*),Tb1(*),Tc1(*),Td1(*),Val_t,Ym)
2952     CASE 3
2953       CALL Valspl3_2(X1(*),Yv1(*),Ta1(*),Tb1(*),Tc1(*),Td1(*),Val_t,Ym)
2954     CASE 4
2955       CALL Valspl2(X1(*),Yv1(*),Ta1(*),Tb1(*),Tc1(*),Val_t,Ym)
2956     CASE 5
2957       CALL Valspl2(X1(*),Yv1(*),Ta1(*),Tb1(*),Tc1(*),Val_t,Ym)
2958     CASE 6
2959       CALL Valspl3_2(X1(*),Yv1(*),Ta1(*),Tb1(*),Tc1(*),Td1(*),Val_t,Ym)
2960     CASE 7
2961       CALL Valspl2(X1(*),Yv1(*),Ta1(*),Tb1(*),Tc1(*),Val_t,Ym)
2962     END SELECT
2963     Mat_tp1(I,J)=Ym
2964   NEXT I
2965 NEXT J
2966 DEALLOCATE X1(*),Yv1(*)
2967 DEALLOCATE X2(*),Yv2(*),Ta1(*),Tb1(*),Tc1(*),Td1(*),Ta2(*),Tb2(*)
2968 DEALLOCATE Tc2(*),Td2(*)
2969 DEALLOCATE Vec_t1per(*),Vec_t2per(*)
2970 DEALLOCATE Mat_v1c(*),Mat_v2c(*)
2971 DEALLOCATE Mat_v1per(*),Mat_v2per(*)
2972 ALLOCATE A1(G1,G10),B1(G1,G10),C1(G1,G10),D1(G1,G10),A2(G2,G10)
2973 ALLOCATE B2(G2,G10),C2(G2,G10),D2(G2,G10)
2974 ALLOCATE Xp1(G1),Yp1(G1),Xp2(G2),Yp2(G2),Va1(G1),Vb1(G1),Vc1(G1),Vd1(G1)
2975 ALLOCATE Va2(G2),Vb2(G2),Vc2(G2),Vd2(G2)
2976 MAT Yp1= Vec_p1
2977 ! S1=INT(G1+SQRT(2*G1))
2978 S1=G1
2979 Sigy1=Err_p/2
2980 FOR J=1 TO G10
2981   MAT Xp1= Mat_tp1(*,J)
2982   SELECT Chx_int
2983   CASE 1
2984     CALL Intspl3_2(Xp1(*),Yp1(*),Va1(*),Vb1(*),Vc1(*),Vd1(*))
2985     MAT A1(*,J)= Va1
2986     MAT B1(*,J)= Vb1
2987     MAT C1(*,J)= Vc1
2988     MAT D1(*,J)= Vd1
2989   CASE 2
2990     CALL Optspl3_2(Xp1(*),Yp1(*),Va1(*),Vb1(*),Vc1(*),Vd1(*))
2991     MAT A1(*,J)= Va1
2992     MAT B1(*,J)= Vb1
2993     MAT C1(*,J)= Vc1
2994     MAT D1(*,J)= Vd1
2995   CASE 3
2996     CALL Optspl3b_2(Xp1(*),Yp1(*),Va1(*),Vb1(*),Vc1(*),Vd1(*))
2997     MAT A1(*,J)= Va1
2998     MAT B1(*,J)= Vb1
2999     MAT C1(*,J)= Vc1
3000     MAT D1(*,J)= Vd1
3001   CASE 4

```

```

3002      CALL Intspl2(Xp1(*),Yp1(*),Va1(*),Vb1(*),Vc1(*))
3003      MAT A1(*,J)= Va1
3004      MAT B1(*,J)= Vb1
3005      MAT C1(*,J)= Vc1
3006      CASE 5
3007      CALL Optspl2(Xp1(*),Yp1(*),Va1(*),Vb1(*),Vc1(*))
3008      MAT A1(*,J)= Va1
3009      MAT B1(*,J)= Vb1
3010      MAT C1(*,J)= Vc1
3011      CASE 6
3012      CALL Smospl3(Xp1(*),Yp1(*),S1,Sigy1,Va1(*),Vb1(*),Vc1(*),Vd1(*))
3013      MAT A1(*,J)= Va1
3014      MAT B1(*,J)= Vb1
3015      MAT C1(*,J)= Vc1
3016      MAT D1(*,J)= Vd1
3017      CASE 7
3024      IF Sigy1=0 THEN
3025          Sigy1=.000001
3026      END IF
3027      CALL Smospl2a(Xp1(*),Yp1(*),Sigy1,S1,Va1(*),Vb1(*),Vc1(*))
3028      MAT A1(*,J)= Va1
3029      MAT B1(*,J)= Vb1
3030      MAT C1(*,J)= Vc1
3031      END SELECT
3032      NEXT J
3033      !
3034      !
3035      !*****
3036      !
3037      !      INTERPOLATION DE P
3038      !
3039      !*****
3040      !
3041      !
3042      ALLOCATE Xv1(G6),Xv2(G6),Mint_p(G6,G10)
3043      Vmin=2.5-2.5*COS(P/4)
3044      Vmax=2.5+2.5*SIN(P/4)
3045      MAT Yp1= Vec_p1
3046      MAT Yp2= Vec_p2
3047      FOR J=1 TO G10
3048          MAT Xv1= Mat_v1cper(*,J)
3049          MAT Xv2= Mat_v2cper(*,J)
3050          FOR I=1 TO G6
3051              !
3052              !*****
3053              !
3054              !      CHOIX DU CAPTEUR
3055              !
3056              !*****
3057              !
3058              Nb1=INT(Xv1(I)/5)
3059              Nb2=INT(Xv2(I)/5)
3060              Val_ajus1=Xv1(I)-Nb1*5
3061              Val_ajus2=Xv2(I)-Nb2*5
3062              Val_ajus1=ABS(Val_ajus1-2.5)
3063              Val_ajus2=ABS(Val_ajus2-2.5)
3064              IF Val_ajus1<Val_ajus2 THEN
3065                  Chx_v=1
3066              ELSE
3067                  Chx_v=2
3068              END IF
3069              IF Chx_v=1 THEN
3070                  ALLOCATE V_int(G1),Yp(G1),A(G1),B(G1),C(G1),D(G1)
3071                  MAT V_int= Mat_tp1(*,J)
3072                  Gro_vec=G1
3073                  MAT Yp= Yp1

```

```

3074         MAT A= A1(*,J)
3075         MAT B= B1(*,J)
3076         MAT C= C1(*,J)
3077         MAT D= D1(*,J)
3078         Xv=Xv1(I)
3079         Xv=Xv+INT(Xv/5)*Vmax-INT(Xv/5)*3*Vmin
3080     ELSE
3081         ALLOCATE V_int(G2),Yp(G2),A(G2),B(G2),C(G2),D(G2)
3082         MAT V_int= Mat_tp1(*,J)
3083         Gro_vec=G1
3084         MAT Yp= Yp2
3085         MAT A= A1(*,J)
3086         MAT B= B1(*,J)
3087         MAT C= C1(*,J)
3088         MAT D= D1(*,J)
3089         Xv=Xv2(I)
3090         Xv=Xv+INT(Xv/5)*Vmax-INT(Xv/5)*3*Vmin+Vmax-Vmin
3091     END IF
3092     IF Xv>=V_int(1) AND Xv<=V_int(Gro_vec) THEN
3093         !
3094         !
3095         !*****
3096         !      CALCUL DE P
3097         !*****
3098         !
3099         !
3100         SELECT Chx_int
3101         CASE 1
3102             CALL Valspl3_2(V_int(*),Yp(*),A(*),B(*),C(*),D(*),Xv,Pcal)
3103         CASE 2
3104             CALL Valspl3_2(V_int(*),Yp(*),A(*),B(*),C(*),D(*),Xv,Pcal)
3105         CASE 3
3106             CALL Valspl3_2(V_int(*),Yp(*),A(*),B(*),C(*),D(*),Xv,Pcal)
3107         CASE 4
3108             CALL Valspl2(V_int(*),Yp(*),A(*),B(*),C(*),Xv,Pcal)
3109         CASE 5
3110             CALL Valspl2(V_int(*),Yp(*),A(*),B(*),C(*),Xv,Pcal)
3111         CASE 6
3112             CALL Valspl3_2(V_int(*),Yp(*),A(*),B(*),C(*),D(*),Xv,Pcal)
3113         CASE 7
3114             CALL Valspl2(V_int(*),Yp(*),A(*),B(*),C(*),Xv,Pcal)
3115         END SELECT
3116     ELSE
3117         Pcal=9.9E+99
3118     END IF
3119     IF Xv<V_int(1) OR Xv>V_int(Gro_vec) THEN
3120         Mint_p(I,J)=9.9E+99
3121     ELSE
3122         Mint_p(I,J)=Pcal
3123     END IF
3124     DEALLOCATE V_int(*),A(*),B(*),C(*),D(*),Yp(*)
3125 NEXT I
3126 NEXT J
3127 !
3128 !*****
3129 !
3130 !      CALCUL DES ERREURS
3131 !*****
3132 !
3133 N=0
3134 Errmax=0
3135 Errmoy=0
3136 Errmax_trans=0
3137 Pos_p=1
3138 Gr_trans=SIZE(Vec_pttrans,1)
3139 Ecart_reel=0

```

```

3140      Ecart_reeltrans=0
3141      FOR J=1 TO G6
3142          FOR I=1 TO G10
3143              M=1
3144              Transit2=(Mint_p(J,I)-Vec_p(J))^2
3145              Transit=ABS((Mint_p(J,I)-Vec_p(J))/Vec_p(J)
3146              IF Mint_p(J,I)>=1.0E+99 THEN
3147                  Transit=0
3148                  Transit2=0
3149                  M=0
3150                  Mint_p(J,I)=Vec_p(J)
3151              END IF
3152              Errmoy=Errmoy+Transit2
3153              N=N+M
3154              Condition=0
3155              IF ABS(Mint_p(J,I)-Vec_p(J))/Vec_p(J)>Ecart_reeltrans THEN
3156                  FOR Z=1 TO Gr_trans
3157                      IF Vec_pttrans(Z)=Vec_p(J) THEN
3158                          Condition=1
3159                      END IF
3160                  NEXT Z
3161                  IF Condition=0 THEN
3162                      Ecart_reeltrans=ABS(Mint_p(J,I)-Vec_p(J))/Vec_p(J)
3163                      Pos_p=J
3164                      Pos_t=I
3165                  END IF
3166              END IF
3167              IF ABS((Mint_p(J,I)-Vec_p(J))/Vec_p(J)>Ecart_reel THEN
3168                  Ecart_reel=ABS((Mint_p(J,I)-Vec_p(J))/Vec_p(J)
3169              END IF
3170              IF ABS(Mint_p(J,I)-Vec_p(J))>Errmax THEN
3171                  Errmax=ABS(Mint_p(J,I)-Vec_p(J))
3172              END IF
3173          NEXT I
3174      NEXT J
3175      Gr_trans=SIZE(Vec_ttrans,1)
3176      Pos_t=1
3177      Err_temp=0
3178      FOR J=1 TO G6
3179          FOR I=1 TO G10
3180              Condition=0
3181              IF ABS(Mint_p(J,I)-Vec_p(J))/Vec_p(J)>Err_temp THEN
3182                  FOR Z=1 TO Gr_trans
3183                      IF Vec_ttrans(Z)=Vec_t(I) THEN
3184                          Condition=1
3185                      END IF
3186                  NEXT Z
3187                  IF Condition=0 THEN
3188                      Err_temp=ABS(Mint_p(J,I)-Vec_p(J))/Vec_p(J)
3189                      Pos_t=I
3190                  END IF
3191              END IF
3192          NEXT I
3193      NEXT J
3194      Errmoy=SQR(Errmoy/N)
3195      Retr(1)=Vec_p(Pos_p)
3196      Retr(2)=Vec_t(Pos_t)
3197      Retr(3)=Vec_p(Pos_p)
3198      Retr(4)=Vec_t(Pos_t)
3199      Retr(5)=Errmoy
3200      Retr(6)=Errmax
3201      Retr(7)=Ecart_reel
3202      Retr(8)=1
3203  SUBEND
3204  CSUB Smosp13(REAL X(*),Y(*),S,Sigy,A(*),B(*),C(*),D(*))
3205  CSUB Det_v12(Va1(*),Va2(*),Vb1(*),Vb2(*),Ma(*),Mb(*))

```



```

3206 CSUB Det_v1(Pres1(*),Temp1(*),Ma(*))
3207 CDEF FNSign(REAL I)
3208 CDEF FNDer1(REAL X0,X1,X2,X3,Y0,Y1,Y2,Y3)

```

### Les sous-programmes pour PCR1 et PCR2 sont:

```

170 END
180 SUB Det_v1(Pres1(*),Temp1(*),Ma(*))
190 !
200 !*****
201 !
202 !      SOUS PROGRAMME DE MONOTONISATION DE DEUX SINUS
203 !
204 !      REALISE PAR
205 !
206 !      SERGE AMPLEMAN
207 !
208 !
209 !      LE PROGRAMME TRANSFORME DEUX MATRICE DE TENSION
210 !      SINUSOIDALES EN SIGAUX MONOTONIQUES
211 !
212 !
213 !      ENTREE:  PRES1,TEMP1
214 !
215 !      SORTIE:  MA
216 !
217 !
218 !      PRES1 ET TEMP1 SONT DES VECTEURS
219 !      MA  EST UNE MATRICE DE TENSION
220 !
221 !
222 !*****
223 !
224 !*****
225 !*****
227 !      CARACTERISTIQUE DES ONDES SINUSOIDALES
228 !*****
229 !
230 !
240 OPTION BASE 1
250 Nbre_temp1=SIZE(Temp1,1)
260 Nbre_pres1=SIZE(Pres1,1)
270 Dphas=PI/2
280 B=PI/50
290 Po=25
300 A=2*PI/Po
310 Dp=((PI/4)/A-(-PI/4)/A)
320 Vmax=SIN(PI/2-Dphas/2)
330 Vmin=SIN(3*PI/2-Dphas/2)
340 !
350 !*****
360 ! RECHERCHE DE P1
370 !*****
380 !
390 ALLOCATE P1(Nbre_temp1)
400 FOR J=1 TO Nbre_temp1
410   IF SIN(B*Temp1(J))>Vmax OR SIN(B*Temp1(J))<Vmin THEN
420     Deriv=COS(B*Temp1(J)-Dphas)
430     IF Deriv>=0 THEN
440       X=PI/4
450     ELSE
460       X=5*PI/4
470     END IF
480     C=52
490     WHILE P1(J)<=0 OR P1(J)>Dp

```

```

500     P1(J)=(X+C*PI/2-B*Temp1(J)+Dphas)/A
510     C=C+2+(-1)^(C+1)
520     END WHILE
530     ELSE
540     Deriv=COS(B*Temp1(J))
550     IF Deriv>=0 THEN
560     X=PI/4
570     ELSE
580     X=5*PI/4
590     END IF
600     C=-52
610     WHILE P1(J)<=0 OR P1(J)>Dp
620     P1(J)=(X+C*PI/2-B*Temp1(J))/A
630     C=C+2+(-1)^(C+1)
640     END WHILE
650     END IF
660 NEXT J
670 !
680 !*****
690 ! DETERMINATION DE LA FRACTION MONOTONIQUE N
700 !*****
710 !
720 FOR J=1 TO Nbre_temp1
730     FOR I=1 TO Nbre_pres1
740     Z=(Pres1(I)-P1(J))/Dp
750     IF Z=INT(Z) THEN
760     N=Z
770     ELSE
780     IF INT(Z)<0 THEN
790     N=0
800     ELSE
810     N=INT(Z)+1
820     END IF
830     END IF
831     IF Z=-1 THEN N=0
840 !
850 !*****
860 ! MONOTONISATION DES PARTIES COMPRESENT ENTRE VMIN ET VMAX
870 !*****
880 !
890     IF SIN(A*Pres1(I)+B*Temp1(J))>Vmax OR SIN(A*Pres1(I)+B*Temp1(J))<Vmin THEN
900     Derive=COS(A*Pres1(I)+B*Temp1(J)-Dphas)
910     V=SIN(A*Pres1(I)+B*Temp1(J)-Dphas)
920     ELSE
930     Derive=COS(A*Pres1(I)+B*Temp1(J))
940     V=SIN(A*Pres1(I)+B*Temp1(J))
950     END IF
960     IF Derive>=0 THEN
970     Pente=0
980     ELSE
990     Pente=1
1000    END IF
1010    Vamax=2.5+2.5*Vmax
1020    Vamin=2.5+2.5*Vmin
1030    IF Pente=1 THEN
1040    Valeur=2.5+2.5*V
1050    Ma(I,J)=((N+1)*Vamax)-((N-1)*Vamin)-Valeur
1060    ELSE
1070    Valeur=2.5+2.5*V
1080    Ma(I,J)=(N*Vamax)-(N*Vamin)+Valeur
1090    END IF
1100 NEXT I
1110 NEXT J
1120 !
1130 !*****
1140 ! MONOTONISATION DE LA TEMPERATURE POUR POUVOIR APPLIQUER LE SPLINE

```

```

1150 !*****
1160 !
1170 FOR J=1 TO Nbre_temp1
1180   FOR I=1 TO Nbre_pres1
1190     Z=Temp1(J)/25+.5
1200     N=INT(Z)
1210     Ma(I,J)=Ma(I,J)+N*(5*SIN(PI/4))
1220   NEXT I
1230 NEXT J
1430 SUBEND

178 END
179 SUB Det_v12(Va1(*),Va2(*),Vb1(*),Vb2(*),Ma(*),Mb(*))
180   OPTION BASE 1
181 !
182 !*****
183 !
184 !   SOUS-PROGRAMME QUI TROUVE DEUX MATRICES DE TENSION
185 !
186 !   CES TENSION REPRESENTENT LES PRESSIONS DES DEUX CAPTEURS
187 !
188 !       ENTREE: - VA1,VA2 OU VA1= PRESSION DU CAPTEUR1
189 !                 VA2= TEMPERATURE DU CAPTEUR 1
190 !                 - VB1,VB2 OU VB1= PRESSION DU CAPTEUR 2
191 !                 VB2= TEMPERATURE DU CAPTEUR 2
192 !
193 !*****
194 !
195   Nbre_temp1=SIZE(Va2,1)
196   Nbre_pres1=SIZE(Va1,1)
197   Nbre_temp2=SIZE(Vb2,1)
198   Nbre_pres2=SIZE(Vb1,1)
199 !
200 !   LE SINUS EST DE LA FORME SIN(A*P + B*T)
201 !
202 !   OU A=2*PI/Po
203 !
204   B=PI/50
205   Po=25
206   A=2*PI/Po
207   Demi_p=Po/2
208   N=0
209 !
210 !
211 !   CLACUL DE LA PREIMIERE MATRICE
212 !
213 !
214   FOR I=1 TO Nbre_temp1
215     Tmin=0
216     Tmax=100/4
217     N=1
218     Sortir=1
219     WHILE Sortir=1
220       IF Tmin<=Va2(I) AND Va2(I)<Tmax THEN
221         Sortir=0
222         Pos1=N
223       END IF
224       Tmin=Tmax
225       Tmax=Tmax+100/2
226       N=N+1
227     END WHILE
228     Ecart=5*(Pos1-1)
229     Derive=PROUND(COS(PI/50*Va2(I)),-15)
230     IF Derive=0 THEN

```

```

231   IF PROUND(SIN(B*Va2(I)), -15) > 0 THEN
232     Penteneg = 1
233   ELSE
234     Penteneg = 0
235   END IF
236 ELSE
237   IF Derive > 0 THEN
238     Penteneg = 0
239   ELSE
240     Penteneg = 1
241   END IF
242 END IF
243 N = 0
244 Sortir = 1
245 WHILE Sortir = 1
246   P1 = (2*N+1)*PI/(2*A) - B*Va2(I)/A
247   IF P1 >= 0 THEN
248     Sortir = 0
249   END IF
250   N = N + 1
251 END WHILE
252 FOR J = 1 TO Nbre_pres1
253   Vtrans = 2.5 + 2.5*PROUND(SIN(A*Va1(J) + B*Va2(I)), -15)
254   N = 1
255   Pmin = 0
256   Pmax = P1
257   Sortir = 1
258   WHILE Sortir = 1
259     IF Pmin <= Va1(J) AND Va1(J) < Pmax THEN
260       Sortir = 0
261       Pos1 = N
262     END IF
263     Pmin = Pmax
264     Pmax = Po/2 + Pmax
265     N = N + 1
266   END WHILE
267   IF Penteneg = 0 THEN
268     Ma(J, I) = Ecart + INT(Pos1/2)*10 + (-1)^(Pos1-1)*Vtrans
269   ELSE
270     Ma(J, I) = Ecart + 5 + INT((Pos1-1)/2)*10 + (-1)^Pos1*Vtrans
271   END IF
272 NEXT J
273 NEXT I
306 !
307 ! CALCUL DE LA DEUXIEME MATRICE
308 !
309 !
310 FOR I = 1 TO Nbre_temp2
311   Tmin = 0
312   Tmax = 100/2
313   N = 1
314   Sortir = 1
315   WHILE Sortir = 1
316     IF Tmin <= Vb2(I) AND Vb2(I) < Tmax THEN
317       Sortir = 0
318       Pos1 = N
319     END IF
320     Tmin = Tmax
321     Tmax = Tmax + 100/2
322     N = N + 1
323   END WHILE
324   Ecart = 5*(Pos1-1)
325   Derive = PROUND(SIN(PI/50*Vb2(I)), -15)
326   IF Derive = 0 THEN
327     IF PROUND(-COS(B*Vb2(I)), -15) > 0 THEN
328       Penteneg = 1

```

```

329 ELSE
330   Penteneg=0
331 END IF
332 ELSE
333   IF Derive>0 THEN
334     Penteneg=0
335   ELSE
336     Penteneg=1
337   END IF
338 END IF
339 N=1
340 Sortir=1
341 WHILE Sortir=1
342   P1=N*PI/A-B*Vb2(I)/A
343   IF P1>=0 THEN
344     Sortir=0
345   END IF
346   N=N+1
347 END WHILE
354 CLEAR SCREEN
356 FOR J=1 TO Nbre_pres2
357   Vtrans=2.5-2.5*PROUND(COS(A*Vb1(J)+B*Vb2(I)),-15)
358   N=1
359   Pmin=0
360   Pmax=P1
361   Sortir=1
362   WHILE Sortir=1
363     IF Pmin<=Vb1(J) AND Vb1(J)<Pmax THEN
364       Sortir=0
365       Pos1=N
366     END IF
367     Pmin=Pmax
368     Pmax=Po/2+Pmax
369     N=N+1
370   END WHILE
371   IF Penteneg=0 THEN
372     Mb(J,I)=Ecart+INT(Pos1/2)*10+(-1)^(Pos1-1)*Vtrans
373   ELSE
374     Mb(J,I)=Ecart+5+INT((Pos1-1)/2)*10+(-1)^Pos1*Vtrans
375   END IF
376 NEXT J
377 NEXT I
378 SUBEND

220 END
230 SUB Det_vg(Va1(*),Va2(*),Ma(*))
240   OPTION BASE 1
250   !
260   !*****
270   !
280   ! SOUS-PROGRAMME QUI TROUVE UNE MATRICE DE TENSION
290   !
300   ! CETTE TENSION REPRESENTE LA PRESSION DU DUIDE
310   !
320   !   ENTREE: - VA1,VA2 OU VA1= PRESSION DU GUIDE
330   !             VA2= TEMPERATURE DU GUIDE
340   !
350   !*****
360   !
370   !
380   !
390   Nbre_temp1=SIZE(Va2,1)
400   Nbre_pres1=SIZE(Va1,1)
410   !
420   !
430   !
440   ! LE SINUS EST DE LA FORME SIN(A*P + B*T)
450   !

```

```

460 ! OU A=2*PI/Po
470 !
480 B=PI/200
490 Po=300
500 A=2*PI/Po
510 Demi_p=Po/2
520 N=0
530 !
540 !
550 ! CLACUL DE LA PREIMIERE MATRICE
560 !
570 !
580 FOR I=1 TO Nbre_temp1
590   FOR J=1 TO Nbre_pres1
600     Ma(J,I)=2.5+2.5*SIN(A*Va1(J)+B*Va2(I)-PI/2+PI/24)
1070   NEXT J
1080 NEXT I
1630 SUBEND

190 END
200 SUB Smosp3(REAL X(*),Y(*),S,Sigy,A(*),B(*),C(*),D(*),INTEGER N,N0)
210 !
220 !
230 ! APPROXIMATION DU LISSAGE DES DONNEES X(*),Y(*) UTILISANT LES
240 ! SPLINES CUBIQUES.
250 !
260 ! ENTREE: X,Y COORDONNEE DES POINTS DE MESURE.
270 !       Sigy DEVIATION STANDARD DE L'ERREUR SUR Y
280 !       S   PARAMETRE DE REGULARISATION
290 !       N   NOMBRE DE POINTS DE DONNEES
300 !       N0  INDEX DU PREMIER POINT DE DONNEE
310 !
320 ! SORTIE: A,B,C,D COEFFICIENT DE LA FONCTION SPLINE
330 !
340 !-----
340 INTEGER N2,Li,M1,M2,I
350 REAL P,H,F,F2,G,E,Sigy2
360 ALLOCATE REAL R(-1:N),R1(-1:N),R2(-1:N),T0(-1:N),T1(-1:N)
370 ALLOCATE REAL U(-1:N),V(-1:N)
380 N2=N0+N-1
390 M1=N0+1
400 M2=N2-1
410 P=0 ! PARAMETRE P DE LAGRANGE
420 H=X(M1)-X(N0)
430 F=(Y(M1)-Y(N0))/H
440 FOR I=M1 TO M2
450   G=H
460   H=X(I+1)-X(I)
470   E=F
480   F=(Y(I+1)-Y(I))/H
490   D(I)=F-E
500 ! LES VECTEURS T0 ET T1 CONTIENT LES DIAGONALES DE LA MATRICE T
510   T0(I)=2*(H+G)/3
520   T1(I)=H/3
530 ! LES VECTEURS R,R1 ET R2 CONTIENNENT LA DIAGONALE DE LA MATRICE Sigy*Q
540   R2(I)=Sigy/G
550   R(I)=Sigy/H
560   R1(I)=R2(I)-R(I)
570 NEXT I
580 ! CALCUL LE PRODUIT DE Sigy*Q ET LA TRANSPOSE
590 FOR I=M1 TO M2
600   C(I)=R(I)^2+R1(I)^2+R2(I)^2
610   B(I)=R(I)*R1(I+1)+R1(I)*R2(I+1)
620   A(I)=R(I)*R2(I+2)
630 NEXT I

```

```

640   F2=-S
650 ! DEPART DE L'ITERATION
660   Li=0
670 ! CALCUL DU VECTEUR U AVEC L'UTILISATION DE LA DECOMPOSITION DE CHOLESKY
680   REPEAT
690     FOR I=M1 TO M2
700       R1(I-1)=F*R(I-1)
710       R2(I-2)=G*R(I-2)
720       R(I)=1/(P*C(I)+TQ(I)-F*R1(I-1)-G*R2(I-2))
730       U(I)=D(I)-R1(I-1)*U(I-1)-R2(I-2)*U(I-2)
740       F=P*B(I)+T1(I)-H*R1(I+1)
750       G=H
760       H=A(I)*P
770     NEXT I
780     FOR I=M2 TO M1 STEP -1
790       U(I)=R(I)*U(I)-R1(I)*U(I+1)-R2(I)*U(I+2)
800     NEXT I
810     H=0
820     E=0
830     Sigy2=Sigy^2
840 ! CALCUL LE VECTEUR V=Sigy*Q*U ET LE CARRE DE LA SECONDE NORME E
850     FOR I=N0 TO M2
860       G=H
870       H=(U(I+1)-U(I))/(X(I+1)-X(I))
880       V(I)=(H-G)*Sigy2
890       E=E+V(I)*(H-G)
900     NEXT I
910     G=H*Sigy2
920     V(N2)=G
930     E=E-G*H
940     G=F2
950     F2=E*P*P
960 ! SI FIN DES ITERATIONS, ALORS CALCUL LES COEFFICIENTS
970     IF (F2>=S) OR (F2<G) THEN GOTO 1120
980     F=0
990     H=(V(M1)-V(N0))/(X(M1)-X(N0))
1000    FOR I=M1 TO M2
1010      G=H
1020      H=(V(I+1)-V(I))/(X(I+1)-X(I))
1030      G=H-G-R1(I-1)*R(I-1)-R2(I-2)*R(I-2)
1040      F=F+G*R(I)*G
1050      R(I)=G
1060    NEXT I
1070    H=E-P*F
1080    IF H<=0 THEN GOTO 1120
1090    P=P+(S-F2)/((SQRT(S/E)+P)*H)
1100    Li=Li+1
1110  UNTIL Li>100
1120 ! CALCUL LES COEFFICIENTS
1130  FOR I=N0 TO N2
1140    D(I)=Y(I)-P*V(I)
1150    B(I)=U(I)
1160  NEXT I
1170  FOR I=N0 TO M2
1180    H=X(I+1)-X(I)
1190    A(I)=(B(I+1)-B(I))/(3*H)
1200    C(I)=(D(I+1)-D(I))/H-(H*A(I)+B(I))*H
1210  NEXT I
1220  DEALLOCATE R(*),R1(*),R2(*),TQ(*),T1(*),U(*),V(*)
1230  SUBEND
1240 !
1250 !

2620 SUB Smospl2c(REAL X(*),Y(*),Sigy,S,A(*),B(*),C(*))
2630 !

```

```

2640 !
2650 ! CALCUL LES COEFFICIENTS A,B,C DE LA FONCTION SPLINE PARABOLIQUE
2660 ! DE LISSAGE A L'AIDE DES POINTS DE DONNEES X(N) ET Y(N), N=1,...,Nn
2670 !
2680 !
2690 ! C(1)+C(2)+...+C(Nn)=Y(1)+Y(2)+...+Y(Nn)
2700 ! SQR(C(1)-Y(1))+SQR(C(2)-Y(2))+...+SQR(C(Nn)-Y(Nn))<S*SQR(Sigy)
2710 !
2720 ! ENTREE: X,Y LES POINTS DE DONNEES
2730 !     Sigy DEVIATION STANDARD DES DONNEES DE Y
2740 !     S   PARAMETRE DE REGULARISATION (S=Nn OU S=Nn-1)
2750 !     Nn  LE NOMBRE DE POINTS DE DONNEES
2760 !
2770 ! SORTIE: A,B,C LES COEFFICIENTS DE LA FONCTION SPLINE PARABOLIQUE
2780 !         DE LISSAGE.
2790 !
2800 ! INTEGER N
2810 ! REAL Da,Dj,Dj_db1,J,La,La0,La1,La2,Sn,Sd,W0,W1,W2
2811 ! N=SIZE(X,1)
2812 ! Nn=N
2820 ! ALLOCATE REAL Dj_dc(-1:N),Dj_dq(-1:N)
2830 ! VALEURS INITIALES DES PARAMETRES
2840 ! B(1)=FNDer1(X(1),X(2),X(3),X(4),Y(1),Y(2),Y(3),Y(4))
2850 ! FOR N=1 TO Nn-1
2860 !     X(N)=X(N+1)-X(N) ! DX[N] -> X[N]
2870 !     C(N)=Y(N)
2880 ! NEXT N
2890 ! C(Nn)=Y(Nn)
2891 ! FOR N=1 TO Nn-1
2892 !     A(N)=(C(N+1)-C(N))/X(N)-B(N)
2893 !     B(N+1)=B(N)+2*A(N)
2894 !     A(N)=A(N)/X(N)
2895 ! NEXT N
2910 ! VALEUR INITIAL DE LA NORME L2 DE LA SECONDE DERIVE DU SPLINE
2920 ! J=0
2930 ! FOR N=1 TO Nn-1
2940 !     J=J+(A(N)^2)*X(N)
2950 ! NEXT N
2960 ! J=J/2
2970 ! VALEURS INITIALES DES PARAMETRES D'ITERATION
2980 ! W0=-S*Sigy^2
2990 ! W1=0
3000 ! W2=0
3010 ! La=0
3020 ! REPEAT
3030 !     Dj_db1=0
3040 !     FOR N=1 TO Nn-1
3050 !         IF (N MOD 2)=1 THEN
3060 !             Dj_db1=Dj_db1-A(N)
3070 !         ELSE
3080 !             Dj_db1=Dj_db1+A(N)
3090 !         END IF
3100 !     NEXT N
3110 ! CALCUL dJ_dQ(N) POUR N=1,2,...,NN
3120 !     Dj_dq(Nn-1)=A(Nn-1)
3130 !     FOR N=Nn-2 TO 2 STEP -1
3140 !         Dj_dq(N)=A(N)-A(N+1)-Dj_dq(N+1)
3150 !     NEXT N
3160 !     Dj_dq(1)=A(1)
3170 ! CALCUL La0
3180 !     Da=Dj_dq(1)-Dj_db1
3190 !     Sn=Da*A(1)
3200 !     Sd=(Da^2)/X(1)
3210 !     FOR N=2 TO Nn-1
3220 !         Da=Dj_dq(N)-Dj_dq(N-1)-Da
3230 !         Sn=Sn+Da*A(N)

```



```

3240     Sd=Sd+(Da^2)/X(N)
3250     NEXT N
3260     La0=-Sn/Sd
3270! CALCUL dJ_dc(N) POUR N=1,2,...,NN
3280     Dj_dc(1)=0
3290     FOR N=1 TO Nn-1
3300         Dj_dc(1)=Dj_dc(1)-(1-N/Nn)*X(N)*Dj_dq(N)
3310     NEXT N
3320     FOR N=2 TO Nn
3330         Dj_dc(N)=Dj_dc(N-1)+Dj_dq(N-1)*X(N-1)
3340     NEXT N
3350! RESOLUTION DE L'EQUATION QUADRATIQUE AVEC LA1 ET LA2 RESPECTEES
3360     W0=W0+La*(La*W2+2*W1)
3370     W1=0
3380     W2=0
3390     FOR N=1 TO Nn
3400         W1=W1+Dj_dc(N)*(C(N)-Y(N))
3410         W2=W2+Dj_dc(N)^2
3420     NEXT N
3430     La2=(-W1-FNSign(W1)*SQRT(W1^2-W0*W2))/W2
3440     IF La2=0 THEN
3450         La1=0
3460     ELSE
3470         La1=W0W2/La2
3480     END IF
3490! CHOIX DE La DANS La0,La1 ET La2
3500     IF La1>La2 THEN
3510         La=La1
3520     ELSE
3530         La=La2
3540     END IF
3550     IF La0<0 THEN
3560         La=.9999*MAX(La1,La0)
3570     ELSE
3580         La=.9999*MIN(La0,La2)
3590     END IF
3600! CALCUL LES PARAMETRES DU SPLINE
3610     FOR N=1 TO Nn
3620         C(N)=C(N)+La*Dj_dc(N)
3630     NEXT N
3640     B(1)=B(1)+La*Dj_db1
3641     FOR N=1 TO Nn-1
3642         A(N)=(C(N+1)-C(N))/X(N)-B(N)
3643         B(N+1)=B(N)+2*A(N)
3644         A(N)=A(N)/X(N)
3645     NEXT N
3660     UNTIL ABS(La*(Sn+La*Sd/2))<.001*J ! LE NOUVEAU J EST PLUS PETIT
3670         ! QUE 0.1% DE SA VALEUR INITIAL
3680     DEALLOCATE Dj_dc(*),Dj_dq(*)
3690 SUBEND

3700 !
3710 !
3720 SUB Compab(REAL A(*),B(*),C(*),X(*),INTEGER Nn)
3730 !
3740 !
3750 ! ROUTINE UTILE POUR SMOSPL2C
3760 !
3770 ! ENTREE: A,B,C LES COEFFICIENTS DE LA FONCTION SPLINE PARABOLIQUE
3780 !     X LES DONNEES EN X
3790 !     Nn LE NOMBRE DE DONNEES
3800 !
3810 ! SORTIE: A,B,C LES COEFFICIENTS DE LA FONCTION SPLINE PARABOLIQUE
3820 !
3830 ! INTEGER N

```

```

3840 FOR N=1 TO Nn-1
3850   A(N)=(C(N-1)-C(N))/X(N)-B(N)
3860   B(N+1)=B(N)+2*A(N)
3870   A(N)=A(N)/X(N)
3880 NEXT N
3890 SUBEND

3900 !
3910 !
3920 SUB Valspl3(INTEGER N,REAL X(*),A(*),B(*),C(*),D(*),Vx,Vy,Vy1)
3930 !
3940 !
3950 ! CALCUL LA VALEUR Vy ET SA PREMIERE DERIVEE Vy1 DE LA FONCTION
3960 ! SPLINE CUBIQUE DEFINIE PAR X ET LES COEFFICIENTS A,B,C,D
3970 !
3980 ! ENTREE: X LES VALEURS DE DE L'AXE DES X
3990 !   A,B,C,D LES COEFFICIENTS DE LA SPLINE CUBIQUE
4000 !   N LE NOMBRE DE POINTS DE DONNEES
4010 !   Vx LA VALEUR SITUE DANS L'INTERVALLE [Xi,Xi+1]
4020 !
4030 ! SORTIE: Vy LA VALEUR DE L'AXE DES Y SITUE DANS [Yi,Yi+1]
4040 !   Vy1 LA DERIVE DE Vy
4050 !
4060 INTEGER I,II,Ih
4070 REAL Dx,H
4080 II=1
4090 Ih=N
4100 WHILE Ih>II+1
4110   I=(Ih+II) DIV 2
4120   IF X(I)>Vx THEN
4130     Ih=I
4140   ELSE
4150     II=I
4160   END IF
4170 END WHILE
4180 IF II=Ih THEN
4190   IF II=N THEN
4200     II=II-1
4210   ELSE
4220     Ih=Ih+1
4230   END IF
4240 END IF
4250 H=X(Ih)-X(II)
4260 Dx=Vx-X(II)
4270 Vy=((A(II)*Dx+B(II))*Dx+C(II))*Dx+D(II)
4280 Vy1=(3*A(II)*Dx+2*B(II))*Dx+C(II)
4290 SUBEND

4300 !
4310 !
4320 DEF FNSign(REAL I)
4330 !
4340 !
4350 ! DETERMINE LE SIGNE DE LA VALEUR DE I
4360 !
4370 ! ENTREE: I UNE VALEUR REELLE
4380 !
4390 ! SORTIE: Rep LA REPONSE ENTRIERE (1 OU -1)
4400 !
4410 INTEGER Rep
4420 IF I>0 THEN
4430   Rep=1
4440 ELSE
4450   Rep=-1

```

```

4460 END IF
4470 RETURN Rep
4480 FNEND

```

```

4490 !
4500 !
4720 SUB Valspl2(INTEGER N,REAL X(*),A(*),B(*),C(*),Vx,Vy,Vy1)
4730 !
4740 !
4750 ! CALCUL LA VALEUR Vy ET SA PREMIERE DERIVEE Vy1 DE LA FONCTION
4760 ! SPLINE PARABOLIQUE DEFINIE PAR X ET LES COEFFICIENTS A,B,C
4770 !
4780 ! ENTREE: X LES VALEURS DE DE L'AXE DES X
4790 !     A,B,C LES COEFFICIENTS DE LA SPLINE PARABOLIQUE
4800 !     N LE NOMBRE DE POINTS DE DONNEES
4810 !     Vx LA VALEUR SITUE DANS L'INTERVALLE [Xi,Xi+1]
4820 !
4830 ! SORTIE: Vy LA VALEUR DE L'AXE DES Y SITUE DANS [Yi,Yi+1]
4840 !     Vy1 LA DERIVE DE Vy
4850 !
4860 INTEGER I,II,Ih
4870 REAL Dx,H
4880 II=1
4890 Ih=N
4900 WHILE Ih>II+1
4910     I=(Ih+II) DIV 2
4920     IF X(I)>Vx THEN
4930         Ih=I
4940     ELSE
4950         II=I
4960     END IF
4970 END WHILE
4980 IF II=Ih THEN
4990     IF II=N THEN
5000         II=II-1
5010     ELSE
5020         Ih=Ih+1
5030     END IF
5040 END IF
5050 H=X(Ih)-X(II)
5060 Dx=Vx-X(II)
5070 Vy=(A(II)*Dx+B(II))*Dx+C(II)
5080 Vy1=2*A(II)*Dx+B(II)
5090 SUBEND

```

```

5100 SUB Smospl2a(REAL X(*),Y(*),Sigy,S,A(*),B(*),C(*))
5110 !
5120 !
5130 ! CALCUL LES COEFFICIENTS A,B,C DE LA FONCTION SPLINE PARABOLIQUE
5140 ! DE LISSAGE A L'AIDE DES POINTS DE DONNEES X(N) ET Y(N), N=1,...,Nn
5150 !
5160 !
5170 ! C(1)+C(2)+...+C(Nn)=Y(1)+Y(2)+...+Y(Nn)
5180 ! SQR(C(1)-Y(1))+SQR(C(2)-Y(2))+...+SQR(C(Nn)-Y(Nn))<S*SQR(Sigy)
5190 !
5200 ! ENTREE: X,Y LES POINTS DE DONNEES
5210 !     Sigy DEVIATION STANDARD DES DONNEES DE Y
5220 !     S PARAMETRE DE REGULARISATION (S=Nn OU S=Nn-1)
5230 !     Nn LE NOMBRE DE POINTS DE DONNEES
5240 !
5250 ! SORTIE: A,B,C LES COEFFICIENTS DE LA FONCTION SPLINE PARABOLIQUE
5260 !     DE LISSAGE.
5270 !
5280 INTEGER N,K

```

```

5290 REAL Dx_dx,Det,J,La,La0,La1,La2,Sn,Sd,S1,S2,S11,S12,S21,S22,V,W0,W1,W2
5291 N=SIZE(X,1)
5292 Nn=N
5300 ALLOCATE REAL Dc(-1:N),Dx(-1:N),P(-1:N),Q(-1:N),R(-1:N)
5310! VALEURS INITIALES DES PARAMETRES
5320 B(1)=DROUND(FNDer1(X(1),X(2),X(3),X(4),Y(1),Y(2),Y(3),Y(4)),14)
5330 C(1)=DROUND(Y(1),14)
5340 J=0
5341 Soman=0
5350 FOR N=1 TO Nn-1
5360 C(N+1)=DROUND(Y(N+1),14)
5370 Dx(N)=DROUND(X(N+1)-X(N),14)
5380 A(N)=DROUND((C(N+1)-C(N))/Dx(N)-B(N),14)
5390 V=DROUND(A(N),14)
5400 B(N+1)=DROUND(B(N)+2*A(N),14)
5410 A(N)=DROUND(A(N)/Dx(N),14)
5411 Soman=DROUND(Soman+A(N),14)
5420 J=DROUND(J+V*A(N),14)
5430 NEXT N
5431 IF ABS(Soman)>0 THEN
5440 J=J/2 ! LA NORME L2 DE LA SECONDE DERIVE DE LA SPLINE
5450! CALCUL DE P,Q,R ET S
5460 S11=0
5470 S12=0
5480 S21=0
5490 S22=0
5500 R(1)=0
5510 R(2)=0
5520 FOR N=1 TO Nn
5530 SELECT N
5540 CASE =1
5550 P(1)=1
5560 Q(1)=0
5570 CASE =2
5580 P(2)=0
5590 Q(2)=1
5600 CASE ELSE
5610 Dx_dx=Dx(N-1)/Dx(N-2)
5620 P(N)=P(N-1)+Dx_dx*(P(N-1)-P(N-2))
5630 Q(N)=Q(N-1)+Dx_dx*(Q(N-1)-Q(N-2))
5640 END SELECT
5650 S11=S11+P(N)
5660 S12=S12+Q(N)
5670 S21=S21+X(N)*P(N)
5680 S22=S22+X(N)*Q(N)
5690 NEXT N
5700 Det=S11*S22-S12*S21
5710 V=S11
5720 S11=S22/Det
5730 S12=-S12/Det
5740 S21=-S21/Det
5750 S22=V/Det
5760 W0=-S*(Sigy)^2
5770 W1=0
5780 W2=0
5790 La=0
5800 LOOP
5810! CALCUL LA0
5820 Sn=0
5830 Sd=0
5840 FOR N=1 TO Nn-1
5850 V=A(N)^2
5860 Sn=Sn+V
5870 Sd=Sd+V/Dx(N)
5880 NEXT N
5890 La0=-Sn/Sd

```

```

5900! CALCUL DC(N) POUR N=1,2,...,NN
5910   S1=0
5920   S2=0
5930   FOR N=3 TO Nn
5940     R(N)=R(N-1)+Dx(N-1)*((R(N-1)-R(N-2))/Dx(N-2)+A(N-1)+A(N-2))
5950     S1=S1-R(N)
5960     S2=S2-X(N)*R(N)
5970   NEXT N
5980! RESOLUTION DE L'EQUATION QUADRATIQUE AVEC LA1 ET LA2 RESPECTEES
5990   W0=W0+La*(La*W2+2*W1)
6000   W1=0
6010   W2=0
6020   FOR N=1 TO Nn
6030     SELECT N
6040       CASE =1
6050         Dc(1)=S11*S1+S12*S2
6060       CASE =2
6070         Dc(2)=S21*S1+S22*S2
6080       CASE ELSE
6090         Dc(N)=P(N)*Dc(1)+Q(N)*Dc(2)+R(N)
6100     END SELECT
6110     W1=W1+Dc(N)*(C(N)-Y(N))
6120     W2=W2+Dc(N)^2
6130   NEXT N
6140   La2=(-W1-FNSign(W1)*SQRT(W1^2-W0*W2))/W2
6150   La1=W0/W2/La2
6160! CHOIX DE La DANS La0,La1 ET La2
6170   IF La1>La2 THEN
6180     La=La1
6190   ELSE
6200     La=La2
6210   END IF
6220   IF La0<0 THEN
6230     La=.9999*MAX(La1,La0)
6240   ELSE
6250     La=.9999*MIN(La0,La2)
6260   END IF
6270! CALCUL LES PARAMETRES DU SPLINE
6280   FOR N=1 TO Nn
6290     C(N)=C(N)+La*Dc(N)
6300   NEXT N
6310   FOR N=1 TO Nn-1
6320     A(N)=A(N)+La*A(N)/Dx(N)
6330   NEXT N
6340   K1=ABS(La*(Sn+La*Sd/2))
6350   K2=.001*J
6360   EXIT IF K1<K2
6370   END LOOP
6380 ! LE NOUVEAU J EST PLUS PETIT QUE 0.1% DE SA VALEUR INITIAL
6390   FOR N=1 TO Nn-1
6400     B(N)=(C(N+1)-C(N))/Dx(N)-A(N)*Dx(N)
6410   NEXT N
6411   END IF
6420   DEALLOCATE Dc(*),Dx(*),P(*),Q(*),R(*)
6430   SUBEND

6440 !
6450 !
6460 DEF FNDer1(REAL X0,X1,X2,X3,Y0,Y1,Y2,Y3)
6470 !
6480 !
6490 ! LA VALEUR DE dx/dy POUR x=X0 EST CALCULEE VIA L'INTERPOLATION DE
6500 ! LA DIFFERENTIATION DU POLYNOME DE LAGRANGE (X0,Y0),...,(X3,Y3)
6510 !
6520 ! ENTREE: X0,X1,X2,X3,Y0,Y1,Y2,Y3 LES POINTS DE DONNEES

```

```

6530 !
6540 ! SORTIE: Der1 LE PARAMETRE DE LA REPONSE
6550 !
6560 REAL Der1,C0,C1,C2,C3,Dx1,Dx2,Dx3
6570 Dx1=X1-X0
6580 Dx2=X2-X0
6590 Dx3=X3-X0
6600 C0=1/Dx1-1/Dx2-1/Dx3
6610 C1=Dx2*Dx3/Dx1/(X2-X1)/(X3-X1)
6620 C2=Dx1*Dx3/Dx2/(X1-X2)/(X3-X2)
6630 C3=Dx1*Dx2/Dx3/(X1-X3)/(X2-X3)
6640 Der1=C0*Y0+C1*Y1+C2*Y2+C3*Y3
6641 Der1=PROUND(Der1,-10)
6650 RETURN Der1
6660 FNEND

110 END
120 SUB Intspl3(X(*),Y(*),S(*))
130 !
140 !
150 ! *****
160 !
170 ! SOUS-PROGRAMME Intspl3
180 !
190 ! DESCRIPTION: SOUS-PROGRAMME QUI PERMET DE DETERMINER S(1) A
200 ! S(N). LA METHODE UTILISE CONSISTE A DETERMINER
210 ! LA DERIVE PREMIERE DES POINTS [X(1),Y(1)] ET
220 ! [X(N),Y(N)], D'ASSOCIER CES VALEURS A S(1) ET S(N)
230 ! ET A PARTIR DE CES VALEURS, ETABLIR UNE FONCTION
240 ! DE RECURRENCE POUR DETERMINER S(2)...S(N-1).
250 !
260 ! ENTRER: X(*),Y(*) OU X(*) REPRESENTES LES POINTS DE MESURE
270 ! Y(*) LA VALEUR DE LA MESURE
280 !
290 ! SORTIE: S(*)
300 !
310 ! *****
320 !
330 !
340 N=SIZE(X,1)
350 !
360 !
370 ! *****
380 ! RECHERCHE DE S1 ET SN
390 ! *****
400 !
410 !
420 C1=-(1/(X(2)-X(1)))+1/(X(3)-X(1))+1/(X(4)-X(1))
430 C2=1/(X(2)-X(1))*(X(3)-X(1))/(X(3)-X(2))*(X(4)-X(1))/(X(4)-X(2))
440 C3=1/(X(3)-X(1))*(X(2)-X(1))/(X(2)-X(3))*(X(4)-X(1))/(X(4)-X(3))
450 C4=1/(X(4)-X(1))*(X(2)-X(1))/(X(2)-X(4))*(X(3)-X(1))/(X(3)-X(4))
460 S(1)=C1*Y(1)+C2*Y(2)+C3*Y(3)+C4*Y(4)
470 Cn=-(1/(X(N-1)-X(N)))+1/(X(N-2)-X(N))+1/(X(N-3)-X(N))
480 Cn1=1/(X(N-1)-X(N))*(X(N-2)-X(N))/(X(N-2)-X(N-1))*(X(N-3)-X(N))/(X(N-3)-X(N-1))
490 Cn2=1/(X(N-2)-X(N))*(X(N-1)-X(N))/(X(N-1)-X(N-2))*(X(N-3)-X(N))/(X(N-3)-X(N-2))
500 Cn3=1/(X(N-3)-X(N))*(X(N-1)-X(N))/(X(N-1)-X(N-3))*(X(N-2)-X(N))/(X(N-2)-X(N-3))
510 S(N)=Cn*Y(N)+Cn1*Y(N-1)+Cn2*Y(N-2)+Cn3*Y(N-3)
520 !
530 !
540 ! *****
550 ! DETERMINATION DES COEFFICIENTS S(2) A S(N-1)
560 ! *****
570 !
580 !
590 ALLOCATE At(1:N-2),Bt(1:N-2),Ct(1:N-2),R(1:N-2),U(1:N-2),Gam(1:N-2)

```

```

600 !
610 !*****
620 ! DETERMINATION DES COEFF POUR N=2 JUSQU'A N=N-1
630 !*****
640 !
650 R(1)=3*(X(3)-X(2))*(Y(1)-Y(2))/(X(1)-X(2))
660 R(1)=R(1)+3*(X(2)-X(1))*(Y(2)-Y(3))/(X(2)-X(3))
670 R(1)=R(1)-S(1)*(X(3)-X(2))
680 R(N-2)=3*(X(N)-X(N-1))*(Y(N-2)-Y(N-1))/(X(N-2)-X(N-1))
690 R(N-2)=R(N-2)+3*(X(N-1)-X(N-2))*(Y(N-1)-Y(N))/(X(N-1)-X(N))
700 R(N-2)=R(N-2)-S(N)*(X(N-1)-X(N-2))
710 FOR I=2 TO N-3 STEP 1
720   R(I)=3*(X(I+2)-X(I+1))*(Y(I)-Y(I+1))/(X(I)-X(I+1))
730   R(I)=R(I)+3*(X(I+1)-X(I))*(Y(I+1)-Y(I+2))/(X(I+1)-X(I+2))
740 NEXT I
750 At(1)=0
760 Bt(1)=2*(X(3)-X(1))
770 Ct(1)=X(2)-X(1)
780 At(N-2)=X(N)-X(N-1)
790 Bt(N-2)=2*(X(N)-X(N-2))
800 Ct(N-2)=0
810 FOR I=2 TO N-3
820   At(I)=X(I+2)-X(I+1)
830   Bt(I)=2*(X(I+2)-X(I))
840   Ct(I)=X(I+1)-X(I)
850 NEXT I
860 !
870 !
880 !*****
890 ! RESOLUTION DE LA MATRICE TRIDIAGONALE
900 !*****
910 !
920 !
930 IF Bt(1)=0 THEN
940   PRINT "ARRETE LE PROGRAMME, AJOUTE OPTION POUR EQUATION"
950   SUBEXIT
960 END IF
970 Bet=Bt(1)
980 U(1)=R(1)/Bet
990 FOR J=2 TO N-2
1000   Gam(J)=Ct(J-1)/Bet
1010   Bet=Bt(J)-At(J)*Gam(J)
1020   IF Bet=0 THEN
1030     PRINT "ALGORITHME NE FONCTIONNE PAS POUR CE CAS"
1040     SUBEXIT
1050   END IF
1060   U(J)=(R(J)-At(J)*U(J-1))/Bet
1070 NEXT J
1080 FOR J=N-3 TO 1 STEP -1
1090   U(J)=U(J)-Gam(J+1)*U(J+1)
1100 NEXT J
1110 !
1120 !
1130 !*****
1140 ! U(J) CONTIENT LES VALEURS POUR S(2) A S(N-1)
1150 !*****
1160 !
1170 !
1180 FOR J=2 TO N-1
1190   S(J)=U(J-1)
1200 NEXT J
1210 DEALLOCATE At(*),Bt(*),Ct(*),R(*),U(*),Gam(*)
1220 SUBEND
1230 !
1240 !

```

```

1250 !
1260 !
1270 SUB Optspl3b(X(*),Y(*),S(*))
1280 !
1290 !
1300 !*****
1310 !
1320 !   SOUS-PROGRAMME Optspl3b
1330 !
1340 !   FONCTION: TROUVE S(1)...S(N) A PARTIR DE LA MINIMISATION
1350 !             DE LA NORME 2
1360 !
1370 !   ENTRER: X(*),Y(*) OU X(*) SONT LES POINTS DE MESURE
1380 !             ET Y(*) LA MESURE
1390 !
1400 !   SORTIE: S(*) LES VALEURS DE S(1)...S(N)
1410 !
1420 !*****
1430 !
1440 !
1450 N=SIZE(X,1)
1460 ALLOCATE Dt(1:N-1),Deltay(1:N-1)
1470 ALLOCATE Af(1:N-1),Bt(1:N-1),Gm(1:N-1),A(1:N-1)
1480 !
1490 !***** INITIALISATION *****
1500 !
1510 FOR I=1 TO N-1
1520   Dt(I)=X(I+1)-X(I)
1530   Deltay(I)=Y(I+1)-Y(I)
1540   S(I)=Deltay(I)/Dt(I)
1550 NEXT I
1560 Af(1)=0
1570 Bt(1)=1
1580 Gm(1)=0
1590 Af(2)=0
1600 Bt(2)=0
1610 Gm(2)=1
1620 Sum11=0
1630 Sum12=0
1640 Sum22=0
1650 Sum1=0
1660 Sum2=0
1670 FOR I=3 TO N-1
1680   Q=(Dt(I)+Dt(I-1))/(Dt(I-1)+Dt(I-2))
1690   P=Q-2-3*Dt(I)/Dt(I-1)
1700   R=S(I)-S(I-1)*(1+Q)+Q*S(I-2)
1710   Af(I)=P*Af(I-1)-Q*Af(I-2)+R
1720   Bt(I)=P*Bt(I-1)-Q*Bt(I-2)
1730   Gm(I)=P*Gm(I-1)-Q*Gm(I-2)
1740 NEXT I
1750 FOR I=1 TO N-1
1760   Dx3=Dt(I)^3
1770   Sum11=Sum11+Bt(I)^2/Dx3
1780   Sum22=Sum22+Gm(I)^2/Dx3
1790   Sum12=Sum12+Gm(I)*Bt(I)/Dx3
1800   Sum1=Sum1-Af(I)*Bt(I)/Dx3
1810   Sum2=Sum2-Af(I)*Gm(I)/Dx3
1820 NEXT I
1830 A(1)=(Sum1*Sum22-Sum2*Sum12)/(Sum22*Sum11-Sum12^2)
1840 A(2)=(Sum1-Sum11*A(1))/Sum12
1850 FOR I=1 TO N-1
1860   A(I)=Af(I)+Bt(I)*A(1)+Gm(I)*A(2)
1870 NEXT I
1880 K=Dt(2)/Dt(1)
1890 B1=(S(2)-S(1)-(2+3*K)*A(1)-A(2))/(1+K)

```



```

1900 C1=S(1)-B1-A(1)
1910 S(1)=C1
1920 FOR I=1 TO N-1
1930   S(I+1)=A(I)+2*(Y(I)-Y(I+1))/(X(I)-X(I+1))-S(I)
1940 NEXT I
1950 SUBEND
1960 !

1970 !
1980 !
1990 SUB Valspl3(X(*),Y(*),S(*),Xm,Ym)
2000 !
2010 !
2020 !*****
2030 !
2040 ! SOUS-PROGRAMME Valspl3
2050 !
2060 !   FONCTION : FAIT L'INTERPOLATION CUBIQUE DU POINT (Xm,Ym).
2070 !   POUR CE FAIRE LE S-P A BESOIN DES POINTS DE MESURE
2080 !   (X(*),Y(*)) ET DES VARIABLES S(*).
2090 !
2100 !   ENTREE: X(*),Y(*),S(*),Xm
2110 !
2120 !   SORTIE: Ym
2130 !
2140 !*****
2150 !
2160 !
2170 N=SIZE(X,1)
2180 Sortir=1
2190 I=0
2200 WHILE Sortir=1
2210   I=I+1
2220   SELECT I
2230   CASE <=N
2240     IF Xm<X(1) THEN
2250       PRINT "Xm N'EST PAS COMPRIS ENTRE ";X(1);" ET ";X(N)
2260       Sortir=0
2270     END IF
2280     IF Xm>X(N) THEN
2290       PRINT "Xm N'EST PAS COMPRIS ENTRE ";X(1);" ET ";X(N)
2300       Sortir=0
2310     END IF
2320     IF X(I)>Xm THEN
2330       Sortir=0
2340     END IF
2350   CASE >N
2360     Sortir=0
2370   END SELECT
2380 END WHILE
2390 IF Xm<X(N) AND Xm>=X(1) THEN
2400   I=I-1
2410   D=Y(I)
2420   C=S(I)
2430   B=(3*(Y(I)-Y(I+1))/(X(I)-X(I+1))-2*S(I)-S(I+1))/(X(I+1)-X(I))
2440   A=(S(I)+S(I+1)-2*(Y(I)-Y(I+1))/(X(I)-X(I+1)))/(X(I+1)-X(I))^2
2450   Ym=A*(Xm-X(I))^3+B*(Xm-X(I))^2+C*(Xm-X(I))+D
2460 END IF
2470 IF Xm=X(N) THEN
2480   Ym=Y(N)
2490 END IF
2500 SUBEND

2510 SUB Optspl3(X(*),Y(*),S(*))

```

```

2520 !
2530 !
2540 !*****
2550 !
2560 !   SOUS-PROGRAMME Optspl3
2570 !
2580 !   FONCTION: TROUVE S(1)...S(N) A PARTIR DE LA MINIMISATION
2590 !             DE LA NORME 2
2600 !
2610 !   ENTRER: X(*),Y(*) OU X(*) SONT LES POINTS DE MESURE
2620 !             ET Y(*) LA MESURE
2630 !
2640 !   SORTIE: S(*) LES VALEURS DE S(1)...S(N)
2650 !
2660 !*****
2670 !
2680 !
2690 !   N=SIZE(X,1)
2700 !   ALLOCATE Dt(1:N-1),Deltay(1:N-1),A(1:N-1),B(1:N-1),C(1:N-1)
2710 !
2720 !***** INITIALISATION *****
2730 !
2740 !   FOR I=1 TO N-1
2750 !     Dt(I)=X(I+1)-X(I)
2760 !     Deltay(I)=Y(I+1)-Y(I)
2770 !     S(I)=Deltay(I)/Dt(I)
2780 !   NEXT I
2790 !   A(1)=1
2800 !   B(1)=0
2810 !   C(1)=0
2820 !   A(2)=0
2830 !   B(2)=1
2840 !   C(2)=0
2850 !   Sum11=0
2860 !   Sum12=0
2870 !   Sum22=0
2880 !   Sum1=0
2890 !   Sum2=0
2900 !   FOR I=3 TO N-1
2910 !     R=(Dt(I)+Dt(I-1))/(Dt(I-1)+Dt(I-2))
2920 !     P=R-2-3*Dt(I)/Dt(I-1)
2930 !     Q=S(I)-S(I-1)*(1+R)+R*S(I-2)
2940 !     A(I)=P*A(I-1)-R*A(I-2)
2950 !     B(I)=P*B(I-1)-R*B(I-2)
2960 !     C(I)=P*C(I-1)-R*C(I-2)+Q
2970 !   NEXT I
2980 !   FOR I=1 TO N-1
2990 !     Dx3=Dt(I)^3
3000 !     Sum11=Sum11+A(I)^2/Dx3
3010 !     Sum22=Sum22+B(I)^2/Dx3
3020 !     Sum12=Sum12+A(I)*B(I)/Dx3
3030 !     Sum1=Sum1-A(I)*C(I)/Dx3
3040 !     Sum2=Sum2-B(I)*C(I)/Dx3
3050 !   NEXT I
3060 !   A(1)=(Sum1*Sum22-Sum2*Sum12)/(Sum22*Sum11-Sum12^2)
3070 !   A(2)=(Sum1-Sum11*A(1))/Sum12
3080 !   FOR I=3 TO N-1
3090 !     A(I)=A(I)*A(1)+B(I)*A(2)+C(I)
3100 !   NEXT I
3110 !   K=Dt(2)/Dt(1)
3120 !   B(1)=(S(2)-S(1)-(2+3*K)*A(1)-A(2))/(1+K)
3130 !   C(1)=S(1)-B(1)-A(1)
3140 !   S(1)=C(1)
3150 !   FOR I=1 TO N-1
3160 !     S(I+1)=A(I)+2*(Y(I)-Y(I+1))/(X(I)-X(I+1))-S(I)
3170 !   NEXT I

```

3180 SUBEND

```

3190 SUB Der_valspi3(X(*),Y(*),S(*),Xm,Ym)
3200 !
3210 !
3220 !*****
3230 !
3240 ! SOUS-PROGRAMME Valspi3
3250 !
3260 !     FONCTION : FAIT L'INTERPOLATION CUBIQUE DU POINT (Xm,Ym).
3270 !     POUR CE FAIRE LE S-P A BESOIN DES POINTS DE MESURE
3280 !     (X(*),Y(*)) ET DES VARIABLES S(*).
3290 !
3300 !     ENTREE: X(*),Y(*),S(*),Xm
3310 !
3320 !     SORTIE: Ym
3330 !
3340 !*****
3350 !
3360 !
3370 N=SIZE(X,1)
3380 Sortir=1
3390 I=0
3400 WHILE Sortir=1
3410 I=I+1
3420 SELECT I
3430 CASE <=N
3440 IF Xm<X(1) THEN
3450 PRINT "Xm N'EST PAS COMPRIS ENTRE ";X(1);" ET ";X(N)
3460 Sortir=0
3470 END IF
3480 IF Xm>X(N) THEN
3490 PRINT "Xm N'EST PAS COMPRIS ENTRE ";X(1);" ET ";X(N)
3500 Sortir=0
3510 END IF
3520 IF X(I)>Xm THEN
3530 Sortir=0
3540 END IF
3550 CASE >N
3560 Sortir=0
3570 END SELECT
3580 END WHILE
3590 IF Xm<X(N) AND Xm>=X(1) THEN
3600 I=I-1
3610 D=Y(I)
3620 C=S(I)
3630 B=(3*(Y(I)-Y(I+1))/(X(I)-X(I+1))-2*S(I)-S(I+1))/(X(I+1)-X(I))
3640 A=(S(I)+S(I+1)-2*(Y(I)-Y(I+1))/(X(I)-X(I+1)))/(X(I+1)-X(I))^2
3650 Ym=3*A*(Xm-X(I))^2+2*B*(Xm-X(I))+C
3660 END IF
3670 IF Xm=X(N) THEN
3680 Ym=S(N)
3690 END IF
3700 SUBEND

```

```

14 END
20 SUB Intspi2(X(*),Y(*),A(*),B(*),C(*))
30 !
40 !
50 !*****
60 !
70 ! SOUS-PROGRAMME Intspi2
80 !
90 ! DESCRIPTION: SOUS-PROGRAMME QUI PERMET DE DETERMINER S(1) A

```

```

100 !      S(N). LA METHODE UTILISE CONSISTE A DETREMINER
110 !      LA DERIVE PREMIERE DES POINTS [X(1),Y(1)] ET
120 !      [X(N),Y(N)], D'ASSOCIER CES VALEURS A S(1) ET S(N)
130 !      ET A PARTIR DE CES VALEURS, ETABLIR UNE FONCTION
140 !      DE RECURRENCE POUR DETERMINER S(2)...S(N-1).
150 !
160 !      ENTRER: X(*),Y(*) OU X(*) REPRESENTES LES POINTS DE MESURE
170 !      Y(*) LA VALEUR DE LA MESURE
180 !
190 !      SORTIE: S(*)
200 !
210 ! *****
220 !
230 !
231 OPTION BASE 1
240 N=SIZE(X,1)
260 !
270 !
280 ! *****
290 ! RECHERCHE DE S1 ET SN
300 ! *****
310 !
320 !
330 C1=-(1/(X(2)-X(1))+1/(X(3)-X(1))+1/(X(4)-X(1)))
340 C2=1/(X(2)-X(1))*(X(3)-X(1))/(X(3)-X(2))*(X(4)-X(1))/(X(4)-X(2))
350 C3=1/(X(3)-X(1))*(X(2)-X(1))/(X(2)-X(3))*(X(4)-X(1))/(X(4)-X(3))
360 C4=1/(X(4)-X(1))*(X(2)-X(1))/(X(2)-X(4))*(X(3)-X(1))/(X(3)-X(4))
370 B(1)=C1*Y(1)+C2*Y(2)+C3*Y(3)+C4*Y(4)
380 !
390 !
400 !
401 A(1)=(Y(2)-Y(1))/(X(2)-X(1))^2-B(1)/(X(2)-X(1))
402 C(1)=Y(1)
410 FOR I=1 TO N-2
420 B(I+1)=2*(Y(I+1)-Y(I))/(X(I+1)-X(I))-B(I)
430 C(I+1)=Y(I+1)
440 A(I+1)=(Y(I+2)-Y(I+1))/(X(I+2)-X(I+1))^2-B(I+1)/(X(I+2)-X(I+1))
450 NEXT I
1190 SUBEND
1200 !
1210 !

1220 !
1230 !
1240 SUB Optspi2(X(*),Y(*),A(*),B(*),C(*))
1241 OPTION BASE 1
1250 !
1260 !
1270 ! *****
1280 !
1290 ! SOUS-PROGRAMME Optspi2
1300 !
1310 ! FONCTION: TROUVE S(1)...S(N) A PARTIR DE LA MINIMISATION
1320 ! DE LA NORME 2
1330 !
1340 ! ENTRER: X(*),Y(*) OU X(*) SONT LES POINTS DE MESURE
1350 ! ET Y(*) LA MESURE
1360 !
1370 ! SORTIE: S(*) LES VALEURS DE S(1)...S(N)
1380 !
1390 ! *****
1400 !
1410 !
1420 N=SIZE(X,1)
1430 ALLOCATE Dt(1:N-1)

```

```

1440 ALLOCATE S(1:N-1)
1450 !
1460 !***** INITIALISATION *****
1470 !
1480 FOR I=1 TO N-1
1490   Dt(I)=X(I+1)-X(I)
1510   S(I)=(Y(I+1)-Y(I))/Dt(I)
1520   C(I)=Y(I)
1530 NEXT I
1600 Sum11=0
1610 Sum12=0
1650 FOR I=1 TO N-1
1651   IF I=1 THEN
1652     Bt=0
1653   ELSE
1660     Bt=Bt+COS(PI*(K-1))*(S(I)-S(I-1))
1661   END IF
1670   Sum11=Sum11+1/Dt(I)
1680   Sum12=Sum12+Bt/Dt(I)
1720 NEXT I
1721 A(1)=-Sum12/Sum11
1722 B(1)=S(1)-A(1)
1730 FOR I=2 TO N-1
1740   B(I)=B(I-1)+2*A(I-1)
1750   A(I)=S(I)-B(I)
1760   A(I-1)=A(I-1)/Dt(I-1)
1800 NEXT I
1810 A(N-1)=A(N-1)/Dt(N-1)
1970 SUBEND

1980 !
1990 !
2000 !
2010 SUB Valspl2(X(*),Y(*),A(*),B(*),C(*),Xm,Ym)
2011 OPTION BASE 1
2020 !
2030 !
2040 !*****
2050 !
2060 ! SOUS-PROGRAMME Valspl2
2070 !
2080 !   FONCTION : FAIT L'INTERPOLATION CUBIQUE DU POINT (Xm,Ym).
2090 !   POUR CE FAIRE LE S-P A BESOIN DES POINTS DE MESURE
2100 !   (X(*),Y(*)) ET DES VARIABLES S(*).
2110 !
2120 !   ENTREE: X(*),Y(*),S(*),Xm
2130 !
2140 !   SORTIE: Ym
2150 !
2160 !*****
2170 !
2180 !
2190 N=SIZE(X,1)
2200 Sortir=1
2210 I=0
2220 WHILE Sortir=1
2230   I=I+1
2240   IF Xm<X(1) THEN
2250     PRINT "Xm N'EST PAS COMPRIS ENTRE ";X(1);" ET ";X(N)
2260     Sortir=0
2270   END IF
2280   IF Xm>X(N) THEN
2290     PRINT "Xm N'EST PAS COMPRIS ENTRE ";X(1);" ET ";X(N)
2300     Sortir=0
2310   END IF

```

```

2311 IF Xm=X(N) THEN
2312   I=N
2313   Sortir=0
2314 END IF
2320 IF X(I)>Xm THEN
2330   Sortir=0
2340 END IF
2350 END WHILE
2360 IF Xm<=X(N) AND Xm>=X(1) THEN
2370   I=-1
2380   Ym=A(I)*(Xm-X(I))^2+B(I)*(Xm-X(I))+C(I)
2390 END IF
2400 SUBEND

2401 !
2402 !
2410 SUB Der_vspl2(X(*),Y(*),A(*),B(*),C(*),Xm,Ym)
2411 OPTION BASE 1
2420 N=SIZE(X,1)
2430 Sortir=1
2440 I=0
2450 WHILE Sortir=1
2460   I=I+1
2470   IF Xm<X(1) THEN
2480     PRINT "Xm N'EST PAS COMPRIS ENTRE ";X(1);" ET ";X(N)
2490     Sortir=0
2500   END IF
2510   IF Xm>X(N) THEN
2520     PRINT "Xm N'EST PAS COMPRIS ENTRE ";X(1);" ET ";X(N)
2530     Sortir=0
2540   END IF
2541   IF Xm=X(N) THEN
2542     I=N
2543     Sortir=0
2544   END IF
2550   IF X(I)>Xm THEN
2560     Sortir=0
2570   END IF
2580 END WHILE
2590 IF Xm<=X(N) AND Xm>=X(1) THEN
2600   I=-1
2610   Ym=2*A(I)*(Xm-X(I))+B(I)
2620 END IF
2630 SUBEND

```

Les programmes pour la procédure 3 sont pour les données réelles.  
L'algorithme de calcul est indiqué visiblement.

Les programmes pour la procédure 3 (PCR3) en MATLAB sont:

```

clear
%
%   cette simulation est pour tmin=0, tmax=30, pmin=3.75 pmax=30;

```

```

% et un nombre de temperature egal a 7
%
% pour les deux sinus
%
% l'erreur sur la temperature est de .05
% l'erreur sur la tension est de .002
% l'erreur sur la pression est de .1
%
% pour le guide
%
% l'erreur sur la temperature est de .05
% l'erreur sur la tension est de .002
% l'erreur sur la pression est de .1
%

rand('normal');
load partir
if partir ==0
    debutp=1;
    debutt=1;
    clic
    niter_t=input('entrer le nombre d'iteration de temperature [3]: ');
    if isempty(niter_t)
        niter_t=3;
    end

    niter_p=input('entrer le nombre d'iteration de pression [5]: ');
    if isempty(niter_p)
        niter_p=5;
    end

    Memaxs=zeros(niter_p,niter_t);
    Memaxc=zeros(niter_p,niter_t);
    Memoys=zeros(niter_p,niter_t);
    Memoyc=zeros(niter_p,niter_t);
    nbt=7;
else
    debutp=i;
    debutt=j;
end

pmin=2.75;,, pmax=31;,, tmin=15;,, tmax=35;
sdp=.01;,,sdv=.002;,,sdt=.01;
var(1)=sdv^2;
var(2)=sdt^2;
var(3)=sdp^2;

% ***** pour les deux sinus *****

for j=debutt:niter_t

    if debutp==1
        interpoint=5;
    end
    [mat_ps, mat_pc, vec_t]=trv_pt(tmin,tmax,nbt);

    for i=debutp:niter_p
        partir=1;
        save partir partir j i Memaxs Memaxc Memoys Memoyc interpoint nbt ...
            niter_t niter_p

        [mat_psn, mat_pcn]=det_p(mat_ps,mat_pc,interpoint);
        [los1,los2]=size(mat_psn);
    end
end

```

```

[loc1,loc2]=size(mat_pcn);
mat_psnp=mat_psn+sdp*rand(mat_psn);

l=find(mat_psnp<0);
if isempty(l)==0
    mat_psnp(l)=zeros(length(l),1);
end

l=find(mat_psnp>30);
if isempty(l)==0
    mat_psnp(l)=30*ones(length(l),1);
end

mat_pcnp=mat_pcn+sdp*rand(mat_pcn);

l=find(mat_pcnp<0);
if isempty(l)==0
    mat_pcnp(l)=zeros(length(l),1);
end

per=det_freq;
l=find(mat_pcnp>(30-per/4));
if isempty(l)==0
    mat_pcnp(l)=(30-per/4)*ones(length(l),1);
end
vec_tp=vec_t+sdv*rand(vec_t);
vec_tp(1)=tmin;
vec_tp(length(vec_tp))=tmax;
[mat_vs, mat_vc]=trv_v(mat_psnp, mat_pcnp, vec_tp);
[mat_cts,mat_cps,mat_ctc,mat_cpc]=trv_c(mat_ps,mat_pc,vec_t);

mat_vsp=mat_vs+sdv*rand(mat_vs);
mat_vcp=mat_vc+sdv*rand(mat_vc);

[mas,mbs,mcs,mds]=eta_abcd(mat_psn,mat_vsp,mat_ps,mat_cts,mat_cps,var);
[mac,mbc,mcc,mdc]=eta_abcd(mat_pcn,mat_vcp,mat_pc,mat_ctc,mat_cpc,var);

% ici nous avons pour les deux sinus ma mb mc md

%***** pour le guide *****

[vec_pg,vec_tg]=detg_pt(tmin,tmax,pmin,pmax,15,15);

vec_pgp=vec_pg+sdp*rand(vec_pg);
vec_tgp=vec_tg+sdv*rand(vec_tg);

mat_vg=det_vg(vec_pgp,vec_tgp);
mat_vgp=mat_vg+sdv*rand(mat_vg);
[vec_ctg,vec_cpg]=detg_c(vec_pg,vec_tg);

[mag,mbg,mcg,mdg]=etag_abc(vec_tg,mat_vgp,vec_ctg,vec_cpg,var);

save trans mat_ps mat_psn mat_pc mat_pcn vec_t vec_pg vec_tg mat_vgp ...
mat_vsp mat_vcp mas mbs mcs mds mac mbc mcc mdc mag mbg mcg mdg ...
pmin pmax tmin tmax var

[emax,emoy]=valu2(var);

Memax(i,j)=emax;
Memoy(i,j)=emoy;

%
% calcul des nouvelles matrices mat_pcn mat_psn
%
% [mat_psn,mat_pcn]=det_mat(mat_retps,mat_retpc,mat_psn,mat_pcn);

```



```

interpoint=interpoint+2;

save edit;
clear
load edit;
rand('normal');

end
% load val_init;
% [mat_ps,mat_psn,mat_pc,mat_pcn,vec_t]=det_tsc(v_tret,pmin,pmax,mat_ps,mat_psn,mat_pc,mat_pcn,vec_t);
nbt=nbt+2;
end
partir=0;
save partir partir;
save r_0514 j i Memaxs Memaxc Memoys Memoyc interpoint nbt ...
niter_t niter_p pmin pmax tmin tmax var□

```

```

function [emax, emoy ]=evalu2(var)
%
% programme d'evaluation
% retourne: 4 valeurs d'erreurs (2 erreurs moyennes, 2 erreurs max)
%          2 matrices de pression
%          une valeur de temperature
%
% pour fonctionner besoins de:
%   mat_ps, mat_psn, mat_pc, mat_pcn, vec_t, vec_pg, vec_tg, mat_vgp
%   mat_vsp, mat_vcp, mas, mbs, mcs, mds, mac, mbc, mcc, mdc, mag,
%   mbg, mcg, mdg, pmin, pmax, tmin, tmax.
%
%

```

```

load trans;
rand('normal');
sdv=sqrt(var(1));
sdt=sqrt(var(2));

```

```

CS=1;
CC=0;

```

```

nbinters=length(mat_ps(:,1));
nbinterc=length(mat_pc(:,1));

```

```
load donnee1
```

```

v_teva=temp;
v_pev=p(2:length(p)-3);

```

```

%
% evaluation de mat_psev
%

```

```
[mat_vs,mat_vc]=trv_v(mat_ps,mat_pc,vec_t);
```

```

%
% calcul des matrices de tension
% m_vs, m_vc, m_vg

```

```

%
[m_vs, m_vc, m_vg]=trv_vscg(v_teva,v_pev);

%
% ajout des perturbations
%

m_vs=m_vs+sdv*rand(m_vs);
m_vc=m_vc+sdv*rand(m_vc);
m_vg=m_vg+sdv*rand(m_vg);
v_tevap=v_teva+sdt*rand(v_teva);
if v_tevap(1)<15
    v_tevap(1)=15;
end
if v_tevap(length(v_tevap))>35
    v_tevap(length(v_tevap))=35;
end

%
% calcul de la pression reconstitue
%

nt=length(v_teva);
n=length(v_pev);
for k=1:nt
    temp=v_tevap(k);
    for l=1:n
        entree=0;
        if l==1
            entree=1;
        else
            if v_pev(l-1)~=v_pev(l)
                entree=1;
            end
        end
    end

    if entree==1

% *****
% *****
% *****  DEBUT DE L'ALGORITHME  *****
% *****
% *****

%
%   CALCUL A PARTIR DU GUIDE
%

        for kk=1:length(vec_pg)
            v_int(kk)=valspl3(vec_tg,mag(kk,:),mbg(kk,:),mcg(kk,:),mdg(kk,:),temp);
        end
        [ag,bg,cg,dg]=intspl3(v_int,vec_pg);
        if m_vg(l,k)<min(v_int)
            tm_vg=min(v_int);
        elseif m_vg(l,k)>max(v_int)
            tm_vg=max(v_int);
        else
            tm_vg=m_vg(l,k);
        end
        pg=valspl3(v_int,ag,bg,cg,dg,tm_vg);

%
%   choix du capteur
%

```

```

if abs(m_vc(l,k)-2.5)>abs(m_vs(l,k)-2.5)
    tenm=m_vs(l,k);
    mat_p=mat_ps;
    mat_v=mat_vs;
    mat_pn=mat_psn;
    mat_vn=mat_vsp;
    ma=mas;
    mb=mbs;
    mc=mcs;
    md=mds;
    choix=CS;
    nbinter=nbinters;
else
    tenm=m_vc(l,k);
    mat_p=mat_pc;
    mat_v=mat_vc;
    mat_pn=mat_pcn;
    mat_vn=mat_vcp;
    ma=mac;
    mb=mbc;
    mc=mcc;
    md=mdc;
    nbinter=nbinterc;
    choix=CC;
end
choix

%
% calcul de la pression a partir du sinus choisit
%
boucle=1;
bou_count=1;
while(boucle)

    l=find(temp<=vec_t);
    vec_p=mat_p(:,l(1));
    vec_pn=mat_pn(:,l(1));
    vec_v=mat_v(:,l(1));
    pos_temp=l(1);
    count=1;
    for j=1:2:length(vec_p-1)
        if vec_p(j)~=vec_p(j+1)
            vec_ptr(count)=vec_p(j);
            vec_vtrs(count)=vec_v(j);
            count=count+1;
            vec_ptr(count)=vec_p(j+1);
            vec_vtrs(count)=vec_v(j+1);
            count=count+1;
        end
    end
    [ec_min,li]=sort(abs(vec_ptr-pg));
    pos=li(bou_count);
    if (floor(pos/2)*2)==pos
        posmax=pos;
        posmin=pos-1;
    else
        posmax=pos+1;
        posmin=pos;
    end
    psup=vec_ptr(posmax);
    penteref=vec_ptr(posmax)-vec_ptr(posmin);
    penteref=(vec_vtrs(posmax)-vec_vtrs(posmin))/penteref;
    if penteref>0
        penteref=1;
    else
        penteref=-1;
    end
end

```

```

end
psup_ant=psup;
if pos_temp~=1
    while pos_temp~=1
        pos_temp=pos_temp-1;
        [Srt,Isrt]=sort(abs(mat_p(2:2:nbinter,pos_temp)-psup));
        Isrt=Isrt*2;
        for kk=1:length(Isrt)
            if sign(mat_v(Isrt(kk),pos_temp) ...
                -mat_v(Isrt(kk)-1,pos_temp))==penteref
                break;
            end
        end
        psup=mat_p(Isrt(kk),pos_temp);
        if abs(psup_ant-psup)>3
            pos_temp=pos_temp+1;
            psup=psup_ant;
            break;
        else
            psup_ant=psup;
        end
    end
end

%
% recherche des intervalles pour interpolation
%
inc=1;
continue=0;
for kk=pos_temp:length(vec_t)
    for jj=2:2:nbinter
        if mat_p(jj,kk)==psup
            if mat_p(jj,kk)~=mat_p(jj-1,kk)
                pente=mat_p(jj,kk)-mat_p(jj-1,kk);
                pente=(mat_v(jj,kk)-mat_v(jj-1,kk))/pente;
                pente=sign(pente);
                if pente==penteref
                    if (pente*tenm)>=(pente*(mat_v(jj-1,kk)-.1)) ...
                        &(pente*tenm)<=((mat_v(jj,kk)+.1)*pente)
                        mat_pintval1=mat_p(jj-1,kk);
                        mat_pintval2=mat_p(jj,kk);
                        imin=find(mat_pn(:,kk)==mat_pintval1);
                        imax=find(mat_pn(:,kk)==mat_pintval2);
                        if length(imin)>1 & length(imax)==1
                            ecc_min=99e99;
                            for lk=1:length(imin)
                                if (imax-imin(lk))<ecc_min & (imax-imin(lk))>0
                                    ipos=lk;
                                    ecc_min=imax-imin(lk);
                                end
                            end
                            imin=imin(ipos);
                        end
                        ma_iv(:,inc)=ma(imin:imax,kk);
                        mb_iv(:,inc)=mb(imin:imax,kk);
                        mc_iv(:,inc)=mc(imin:imax,kk);
                        md_iv(:,inc)=md(imin:imax,kk);
                        mv_iv(:,inc)=mat_vn(imin:imax,kk);
                        mp_iv(:,inc)=mat_pn(imin:imax,kk);
                        vt_iv(inc)=vec_t(kk);
                        inc=inc+1;
                        if inc>4
                            continue=1;
                        end
                    end
                end
            end
        end
    end
end

```

```

        end
    end
end

if kk<length(vec_t)
    [Srt,Isrt]=sort(abs(mat_p(2:2:nbinter,kk+1)-psup));
    Isrt=Isrt*2;
    for lk=1:length(Isrt)
        if sign(mat_v(Isrt(lk),kk+1)-mat_v(Isrt(lk)-1,kk+1))==penteref
            break;
        end
    end
    psup=mat_p(Isrt(lk),kk+1);
end

end

%
% interpolation de p a partir de ma_iv, mb_iv, mc_iv, md_iv, mp_iv
% mv_iv, vt_iv
%
    if continue==1
        inc=inc-1;
        for kk=1:inc
            if tenm<min(mv_iv(:,kk))
                ttenm=min(mv_iv(:,kk));
            elseif tenm>max(mv_iv(:,kk));
                ttenm=max(mv_iv(:,kk));
            else
                ttenm=tenm;
            end
            vp_int(kk)=newspl3(mp_iv(:,kk),mv_iv(:,kk),ma_iv(:,kk),mb_iv(:,kk),mc_iv(:,kk),md_iv(:,kk),ttenm);
        end
        [v_a,v_b,v_c,v_d]=intspl3(vt_iv,vp_int);
        p_int(l,k)=valspl3(vt_iv,v_a,v_b,v_c,v_d,temp);
        if abs(p_int(l,k)-pg)<1 | bou_count==2
            boucle=0;
            if bou_count==2
                if abs(p_int_pre-pg)<abs(p_int(l,k)-pg)
                    p_int(l,k)=p_int_pre;
                end
            end
        else
            bou_count=2;
            p_int_pre=p_int(l,k);
        end
        if abs(p_int(l,k)-pg)>.1
            p_int(l,k)=pg;
        end
    else
        p_int(l,k)=pg;
        boucle=0;
    end
    clear ma_iv mb_iv mc_iv md_iv mp_iv mv_iv vt_iv v_int vp_int
    clear vec_ptr vec_vtrs
end

% *****
% *****
% ***** FIN DE L'ALGORITHME *****
% *****
% *****
    else
        p_int(l,k)=p_int(l-1,k);
    end
end
end

end

```

```

%
% calcul des erreurs
%

mat_pev=v_pev*ones(1,nt);
err=abs(p_int-mat_pev);
emax=max(max(err));
emoy=sum(sum(err.^2));
[n,m]=size(err);
nbelem=n*m;
emoy=sqrt(emoy/nbelem);

function [mat_cts, mat_cps, mat_ctc, mat_cpc]=trv_c(mat_ps,mat_pc,vec_t)
%
% fonction qui determine les constantes pour variances
%
% [mat_cts, mat_cps, mat_ctc, mat_cpc]=det_c(mat_ps,mat_pc,vec_t)
%

[ns,ms]=size(mat_ps);
v1=carte(vec_t,mat_ps(:,1));
[nc,mc]=size(mat_pc);
v2=carte(vec_t,mat_pc(:,1));
A=2*pi/25;
B=pi/50;

mat_cps1=(2.5*cos(A*mat_ps+B*v1)*A).^2;
mat_cts1=(2.5*cos(A*mat_ps+B*v1)*B).^2;
mat_cps=(mat_cps1(2:2:ns,:)+mat_cps1(1:2:ns-1,:))/2;
mat_cts=(mat_cts1(2:2:ns,:)+mat_cts1(1:2:ns-1,:))/2;

mat_cpc1=(2.5*sin(A*mat_ps+B*v1)*A).^2;
mat_ctc1=(2.5*sin(A*mat_ps+B*v1)*B).^2;
mat_cpc=(mat_cpc1(2:2:nc,:)+mat_cpc1(1:2:nc-1,:))/2;
mat_ctc=(mat_ctc1(2:2:nc,:)+mat_ctc1(1:2:nc-1,:))/2;

function [mat_vs, mat_vc]=det_v(mat_psn, mat_pcn, vec_t)
%
% fonction qui tourne deux matrice de tension.
% [mat_vs, mat_vc]=det_v(mat_psn, mat_pcn, vec_t)
%

n=length(mat_psn(:,1));
m=length(vec_t);
mat_vs=zeros(n,m);
mat_vc=zeros(n,m);
mat_t=ones(n,m)*diag(vec_t);

A=2*pi/25;
B=pi/50;

mat_vs=2.5+2.5*sin(A.*mat_psn+B.*mat_t);
mat_vc=2.5+2.5*sin(A.*mat_pcn+B.*mat_t-pi/2);

```

```

function [ma,mb,mc,md]=eta_abcd(mat_x,mat_y,mat_pos,mat_ct,mat_cp,variance)
%
% fonction qui trouve des matrices de coefficients.
% Ces coefficients sont trouves a partir de mat_x, mat_y, mat_pos
%
% [ma,mb,mc,md] = eta_abcd(mat_x,mat_y,mat_pos,mat_ct,mat_cp,variance)
%
% variance = vecteur de trois elements
%     variance(1) = variance de la tension
%     variance(2) = variance de la temperature
%     variance(3) = variance de la pression
%
%     mat_ct = matrice de constante pour variance
%     mat_cv = matrice de constante pour variance
%
%

```

```

[n m]=size(mat_pos);
[dim1, dim2]=size(mat_x);

```

```

ma=zeros(dim1,dim2);
mb=zeros(dim1,dim2);
mc=zeros(dim1,dim2);
md=zeros(dim1,dim2);

```

```

for i=1:m
    for j=1:2:n-1
        pmin=mat_pos(j,i);
        pmax=mat_pos(j+1,i);
        pos_min=find(mat_x(:,i)==pmin);
        pos_max=find(mat_x(:,i)==pmax);
        if length(pos_min)>1 & length(pos_max)==1
            ec_min=99e99;
            for kk=1:length(pos_min)
                if (pos_max-pos_min(kk))<ec_min & (pos_max-pos_min(kk))>0
                    posi_pos=kk;
                    ec_min=pos_max-pos_min(kk);
                end
            end
            pos_min=pos_min(posi_pos);
        end
        if length(pos_min)==1;
            v_x=mat_x(pos_min:pos_max,i);
            v_y=mat_y(pos_min:pos_max,i);
            S=pos_max-pos_min+1;
            S=(S-sqrt(S*3));
            kk=(j+1)/2;
            dy=mat_cp(kk,i)*variance(3)+mat_ct(kk,i)*variance(2)+variance(1);
            dy=sqrt(dy);
            [va,vb,vc,vd]=smospl3c(v_x,v_y,dy,S);
            ma(pos_min:pos_max,i)=va;
            mb(pos_min:pos_max-1,i)=vb;
            mc(pos_min:pos_max-1,i)=vc;
            md(pos_min:pos_max-1,i)=vd;
        end
    end
end
end

```

```

function [vec_ctg, vec_cpg]=detg_c(vec_pg,vec_tg)
%
% fonction qui determine les constantes pour variances
%
% [vec_ctg, vec_cpg]=detg_c(vec_pg,vec_tg)
%
%

```

```

ng=length(vec_pg);
[temp,pres]=carte(vec_tg,vec_pg);
A=2*pi/300;
B=pi/200;
C=pi/24;

mat_cpg=(2.5*cos(A*pres+B*temp+C)*A).^2;
mat_ctg=(2.5*cos(A*pres+B*temp+C)*B).^2;
mat_cpg=mat_cpg';
mat_ctg=mat_ctg';

vec_cpg=sum(mat_cpg)/length(mat_cpg(:,1));
vec_ctg=sum(mat_ctg)/length(mat_ctg(:,1));

function [vec_pg,vec_tg]=detg_pt(tmin,tmax,pmin,pmax,nbt,nbp)
%
% fonction qui trouve un vecteur de pression, un vecteur de
% temperature et une matrice de tension.
%
% [vec_pg,vec_tg,mat_vg]=detg_ptv(tmin,tmax,pmin,pmax,nbt,nbp)
%

past=(tmax-tmin)/(nbt-1);
pasp=(pmax-pmin)/(nbp-1);

vec_pg=pmin:pasp:pmax;
vec_tg=tmin:past:tmax;

function [mag,mbg,mcg,mdg]=etag_abc(vec_tg,mat_vg,vec_ctg,vec_cpg,variance)
%
% fonction qui trouve des matrices de coefficients.
% Ces coefficients sont trouves a partir de mat_x, mat_y, mat_pos
%
% [mag,mbg,mcg,mdg] = etag_abc(vec_t,mat_vg,vec_ctg,vec_cpg,variance)
%
% variance = vecteur de trois elements
%     variance(1) = variance de la tension
%     variance(2) = variance de la temperature
%     variance(3) = variance de la pression
%
%     vec_ctg = matrice de constante pour variance
%     vec_cvg = matrice de constante pour variance
%
%

m=length(mat_vg(:,1));
N=length(mat_vg(1,:));
S=floor(N-sqrt(3*N));
[dim1, dim2]=size(mat_vg);

mag=zeros(dim1,dim2);
mbg=zeros(dim1,dim2);
mcg=zeros(dim1,dim2);
mdg=zeros(dim1,dim2);

for i=1:m
    v_x=vec_tg;
    v_y=mat_vg(i,:);
    dy=vec_cpg(i)*variance(3)+vec_ctg(i)*variance(2)+variance(1);
    dy=sqrt(dy);
    [va,vb,vc,vd]=smospl3c(v_x,v_y,dy,S);

```



```

    mag(i,:)=va';
    mbg(i,1:N-1)=vb';
    mcg(i,1:N-1)=vc';
    mdg(i,1:N-1)=vd';
end

function [mat_vs, mat_vc, mat_vg]=trv_vscg(vec_t,vec_p);
%
% fonction qui calcule les vecteurs de tension
% vec_vs, vec_vc, vec_vg a partir de vec_t et vec_p
%
% [vec_vs, vec_vc, vec_vg]=det_vscg(vec_t,vec_p)
%

A=1/25;B=1/100;C=-1/4;

[x,y]=carte(vec_t,vec_p);

mat_vs=5*(cos((A*y+B*x+C)*pi)).^2;

C=1/2;

mat_vc=5*(cos((A*y+B*x+C)*pi)).^2;

A=1/300;B=1/400;C=25/48;

mat_vg=5*(cos((A*y+B*x+C)*pi)).^2;

function ym=valspl3(x,a,b,c,d,xm)
%
% fonction qui evalue la valeur ym a partir du polynome
% f[x(i)]=a(i) + b(i)*(x-x(i)) + c(i)*(x-x(i))^2 + d(i)*(x-x(i))^3
%
%
% ym=valspl3(x,a,b,c,d,xm)
%
% entree:
% x = vecteur de base ou x(1)<x(2)<...<x(n)
% a, b, c, d = vecteur de coeff.
% xm = vecteur de valeurs a interpoler
%
% sortie:
% ym = vecteur de valeurs trouve
%

[n m]=size(xm);

if m>1, dim=m; else dim=n; end

[n m]=size(x);

if m>1, n=m; end

for j=1:dim

    suivant=0;
    vec_p=find(x>xm(j));
    if isempty(vec_p);
        if xm(j)==x(n)
            pos=n-1;

```

```

else
    disp(sprintf('xm n'est pas compris entre %g et %g',x(1),x(n)));
    suivant=1;
end
elseif isempty(vec_p)==0
    if vec_p(1)==1
        disp(sprintf('xm n'est pas compris entre %g et %g',x(1),x(n)));
        suivant=1;
    else
        pos=vec_p(1)-1;
    end
end
if suivant==0;
    h=xm(j)-x(pos);
    ym(j)=a(pos)+b(pos)*h+c(pos)*h^2+d(pos)*h^3;
else
    ym(j)=99e99;
end
end
end

```

```

function [a,b,c,d]=intspl3(x,y)
%
% fonction d'interpolation
% [a,b,c,d]=intspl3(x,y)
% ou x et y sont des vecteurs. Avec x(1)<x(2)<...<x(n);
% a, b, c, d, sont des vecteurs de coefficients d'un polynome
%  $f[x(i)] = a(i) + b(i)*(x-x(i)) + c(i)*(x-x(i))^2 + d(i)*(x-x(i))^3$ 
%

```

```

[n,m]=size(x);, if m>1, x=x';, end

```

```

[n,m]=size(y);, if m>1, y=y';, end

```

```

[n,m]=size(x);

```

```

a=zeros(n-1,1);

```

```

b=zeros(n-1,1);

```

```

d=zeros(n-1,1);

```

```

c=zeros(n,1);

```

```

ct=zeros(n-2,1);

```

```

H=zeros(n-1,1);

```

```

T=zeros(n-2,n-2);

```

```

V=zeros(n-2,1);

```

```

T1=zeros(n-2,n-2);

```

```

% ***** definition de la matrice T *****

```

```

for j=1:n-1, H(j,1)=x(j+1)-x(j);, end

```

```

for j=1:n-2, V(j,1)=2/3*(H(j,1)+H(j+1,1));, end

```

```

T1=diag(V);

```

```

T=T+T1;

```

```

T1=diag(H(2:n-2)/3,-1);

```

```

T=T+T1;

```

```

T1=diag(H(2:n-2)/3,1);

```

```

T=T+T1;

```

```

clear T1;

```

```

% ***** definition de la matrice QT *****

```

```

QT=zeros(n-2,n);

```

```

Q=zeros(n,n-2);
Q1=zeros(n+2,n+2);

for j=1:n-2, V(j)=(-1/H(j)+1/H(j+1));, end

Q1=diag(H(1:n-2).^(-1),-2);
QT=QT+Q1(3:n,:);
Q1=diag(H(2:n-1).^(-1),2);
QT=QT+Q1(1:n-2,:);
QT(:,2:n-1)=QT(:,2:n-1)+diag(V);
clear Q1;

%***** definition des condions frontieres *****

con1=(1/(x(2)-x(1))+1/(x(3)-x(1))+1/(x(4)-x(1)));
con2=1/(x(2)-x(1))*x(3)-x(1))/(x(3)-x(2))*x(4)-x(1))/(x(4)-x(2));
con3=1/(x(3)-x(1))*x(2)-x(1))/(x(2)-x(3))*x(4)-x(1))/(x(4)-x(3));
con4=1/(x(4)-x(1))*x(2)-x(1))/(x(2)-x(4))*x(3)-x(1))/(x(3)-x(4));
d0=con1*y(1)+con2*y(2)+con3*y(3)+con4*y(4);

con1=(1/(x(n-1)-x(n))+1/(x(n-2)-x(n))+1/(x(n-3)-x(n)));
con2=1/(x(n-1)-x(n))*x(n-2)-x(n))/(x(n-2)-x(n-1))*x(n-3)-x(n))/(x(n-3)-x(n-1));
con3=1/(x(n-2)-x(n))*x(n-1)-x(n))/(x(n-1)-x(n-2))*x(n-3)-x(n))/(x(n-3)-x(n-2));
con4=1/(x(n-3)-x(n))*x(n-1)-x(n))/(x(n-1)-x(n-3))*x(n-2)-x(n))/(x(n-2)-x(n-3));
dn=con1*y(n)+con2*y(n-1)+con3*y(n-2)+con4*y(n-3);

V=zeros(n-2,1);
V(1)=d0/2;
V(n-2)=dn/2;

%***** definition de la matrice T *****

T(1,1)=H(1)/2+2*H(2)/3;
T(n-2,n-2)=2/3*H(n-2)+H(n-1)/2;

%***** definition de la matrice Q *****

QT(1,1)=3/(2*H(1));
QT(1,2)=(3/2*H(1)+1/H(2));
QT(n-2,n-1)=(1/H(n-2)+3/2*H(n-1));
QT(n-2,n)=3/2*H(n-1);

V=V+QT*y;
ct=TV;

a=y(1:n-1,1);
c(2:n-1,1)=ct;
c(1)=3/2*(y(2)-y(1))/H(1)^2-3*d0/(2*H(1))-c(2)/2;
c(n)=3/2*(y(n)-y(n-1))/H(n-1)^2+3*dn/(2*H(n-1))-c(n-1)/2;

for j=1:n-1
    d(j)=(c(j+1)-c(j))/(3*H(j));
    b(j)=(y(j+1)-y(j))/H(j)-c(j)*H(j)-d(j)*H(j)^2;
end

function xm=newspl3(x,y,a,b,c,d,ym)
%
%fonction qui cherche xm lorsque ym est connue.
%Soit y(i) = a(i) + b(i)*( x-x(i) ) + c(i)*( x-x(i) )^2 + d(i)*( x-x(i) )^3
%Si ym est connue, xm est trouve par la methode de Newton-Raphson.
%
% xm=newspl3(x,y,a,b,c,d,ym)
%
```

```

[n m]=size(ym);

if m>1, dim=m;, else dim=n;, end

[n m]=size(x);

if m>1, n=m;, end

for j=1:dim

    suivant=0;
    vec_p=find(y>ym(j));
    if isempty(vec_p);
        disp(sprintf('ym n'est pas compris entre %g et %g',y(1),y(n)));
        suivant=1;
    else
        vec_p=find(y<=ym(j));
        if isempty(vec_p)
            disp(sprintf('ym n'est pas compris entre %g et %g',y(1),y(n)));
            suivant=1;
        else
            pente=y(2)-y(1);
            if pente>=0
                vec_p=find(y>ym(j));
                if isempty(vec_p)==0
                    pos=vec_p(1)-1;
                else
                    if y(length(y))==ym(j)
                        pos=length(y)-1;
                    end
                end
            else
                vec_p=find(y<ym(j));
                if isempty(vec_p)==0
                    pos=vec_p(1)-1;
                else
                    if y(length(y))==ym(j)
                        pos=length(y)-1;
                    end
                end
            end
        end
    end
    end
    end
    if suivant==0;

% methode de Newton-Raphson

    xini=(x(pos+1)+x(pos))/2;
    sortir=1;
    conteur=0;
    while sortir
        h=xini-x(pos);
        df=b(pos)+2*c(pos)*h+3*d(pos)*h^2;
        f=a(pos)-ym(j)+b(pos)*h+c(pos)*h^2+d(pos)*h^3;
        delx=-f/df;
        xini=xini+delx;

        if conteur<5

            if xini>x(pos+1)
                xini=x(pos+1);
            end

            if xini<x(pos)
                xini=x(pos);
            end
        end
    end

```

```

end
conteur=conteur+1;
if abs(dx)<1e-6
    sortir=0;
end
if conteur>10
    sortir=0;
end
end
xm(j)=xini;

```

```

else
    xm(j)=99e99;
end
end

```

```

function [a,b,c,d]=smospl3(x,y,dy,S)
%
% fonction spline de lissage utilisant les splines
% naturelles pour effectuer le lissage.
% entree: x = vecteurs de base
%          il faut que x(1)<x(2)<...<x(n)
%          y = vecteurs de coordonnees
%          dy = estime de la deviation standard
%          S = parametre de lissage
%
% [a,b,c,d]=smospl3(x,y,dy,S)
%
% sortie: a,b,c,d vecteurs de coefficients du polynome
%
%  $u(i) = a + b*(x-x(i)) + c*(x-x(i))^2 + d*(x-x(i))^3$ 
% ou u est un estimateur.
%

```

```

%***** initialisation et transposition des vecteurs *****

```

```

[n,m]=size(x);, if m>1, x=x';, end

```

```

[n,m]=size(y);, if m>1, y=y';, end

```

```

[n,m]=size(x);

```

```

a=zeros(n,1);
b=zeros(n-1,1);
d=zeros(n-1,1);
c=zeros(n-1,1);
ct=zeros(n,1);

```

```

D=diag(dy*ones(n,1));
H=zeros(n-1,1);
T=zeros(n-2,n-2);
V=zeros(n-2,1);
T1=zeros(n-2,n-2);

```

```

%***** definition de la matrice T *****

```

```

for j=1:n-1, H(j,1)=x(j+1)-x(j);, end
for j=1:n-2, V(j,1)=2/3*(H(j,1)+H(j+1,1));, end

```

```

T1=diag(V);
T=T+T1;
T1=diag(H(2:n-2)/3,-1);
T=T+T1;

```

```

T1=diag(H(2:n-2)/3,1);
T=T+T1;
clear T1;

%***** definition de la matrice QT *****

QT=zeros(n-2,n);
Q=zeros(n,n-2);
Q1=zeros(n+2,n+2);

for j=1:n-2, V(j)=(1/H(j)+1/H(j+1)), end

Q1=diag(H(1:n-2).^(-1),-2);
QT=QT+Q1(3:n,:);
Q1=diag(H(2:n-1).^(-1),2);
QT=QT+Q1(1:n-2,:);
QT(:,2:n-1)=QT(:,2:n-1)+diag(V);
clear Q1;
Q=QT';

M1=zeros(n-2,n-2);
M2=zeros(n-2,1);
M3=zeros(n-2,n-2);
M4=zeros(n,n);

%***** debut de l'algo *****

p=0;

M1=QT*D*D*Q;
M2=QT*y;
M4=D*Q;

R=zeros(n-2,n-2);
u=zeros(n-2,1);
v=zeros(n,1);

sortir=1;

while sortir==1
    M3=M1+p*T;
    R=chol(M3);
    u=M3\M2;
    v=M4*u;
    e=v'*v;
    if e>(S+.05*n)
        f=u'*T*u;
        w=R\'(T*u);
        g=w'*w;
        p=p+(e-sqrt(S*e))/(f-p*g);
    else
        sortir=0;
    end
end

ay=y-D*v;
[a,b,c,d]=intspl3(x,ay);

clear v u R M1 Q QT V T H D;
clear e f g w sortir n m j p;
clear x y ct M2 M3 M4;

```

```

function [a,b,c,d]=natspl3(x,y)
%
% fonction spline naturelles
% entree: x = vecteurs de base
%          il faut que x(1)<x(2)<...<x(n)
%          y = vecteurs de coordonnees
%
% [a,b,c,d]=natspl3(x,y)
%
% sortie: a,b,c,d vecteurs de coefficients du polynome
%
% u(i) = a + b*(x-x(i)) + c*(x-x(i))^2 + d*(x-x(i))^3
%

%***** initialisation et transposition des vecteurs *****

[n,m]=size(x); if m>1, x=x'; end

[n,m]=size(y); if m>1, y=y'; end

[n,m]=size(x);

a=zeros(n,1);
b=zeros(n-1,1);
d=zeros(n-1,1);
c=zeros(n,1);
ct=zeros(n,1);

H=zeros(n-1,1);
T=zeros(n-2,n-2);
V=zeros(n-2,1);
T1=zeros(n-2,n-2);

%***** definition de la matrice T *****

for j=1:n-1, H(j,1)=x(j+1)-x(j);, end
for j=1:n-2, V(j,1)=2/3*(H(j,1)+H(j+1,1));, end

T1=diag(V);
T=T+T1;
T1=diag(H(2:n-2)/3,-1);
T=T+T1;
T1=diag(H(2:n-2)/3,1);
T=T+T1;
clear T1;

%***** definition de la matrice QT *****

QT=zeros(n-2,n);
Q=zeros(n,n-2);
Q1=zeros(n+2,n+2);

for j=1:n-2, V(j)=-(1/H(j)+1/H(j+1));, end

Q1=diag(H(1:n-2).^(-1),-2);
QT=QT+Q1(3:n,:);
Q1=diag(H(2:n-1).^(-1),2);
QT=QT+Q1(1:n-2,:);
QT(:,2:n-1)=QT(:,2:n-1)+diag(V);
clear Q1;
Q=QT';

a=y;
c(2:n-1,1)=T\QT*a;

```

```
for j=1:n-1  
    d(j)=(ct(j+1)-ct(j))/(3*H(j));  
    b(j)=(a(j+1)-a(j))/H(j)-ct(j)*H(j)-d(j)*H(j)^2;  
end
```



**ANNEXE B**

## DONNÉES RÉELLES

Les valeurs présentées sont pour les données réelles d'un capteur de précision.

	15	16	17	18	19	20	21	← température
0	5.0702	4.8966	3.8663	2.9241	1.9947	1.3295	0.8344	
3	8.6306	8.4475	8.0534	7.4807	6.4826	5.6455	4.8003	
6	7.6202	7.8726	8.3256	8.8574	8.8034	9.1207	8.6472	
9	3.4218	4.2774	5.1807	5.9548	6.8969	7.6851	8.3684	
12	0.0674	0.1929	0.4929	1.0225	1.7883	2.7690	3.6811	
15	1.8591	1.2881	0.7331	0.3277	0.0809	0.1011	0.1700	
18	6.7455	6.0951	5.3434	4.2396	3.0571	2.1245	1.6008	
21	9.4052	9.3077	8.8907	8.3673	7.6148	6.8392	6.0059	
24	6.8488	7.2748	7.8867	8.4047	8.8159	8.7866	8.4066	
27	2.3054	2.8617	3.3810	4.2801	5.4863	6.2897	6.8187	
30	0.0512	0.0926	0.2659	0.5182	1.1511	1.8379	2.5222	

↑  
tension

	22	23	24	25	26	27	28	← température
0	0.3725	0.1282	0.1116	0.1523	0.4142	0.6837	1.4237	
3	3.9948	3.1180	2.5303	1.7870	1.2417	0.7360	0.2560	
6	8.4296	7.6835	7.2843	6.7663	5.8292	5.0250	4.1363	
9	8.7829	9.3082	9.4634	9.6138	9.2832	8.8864	8.3849	
12	4.5449	5.4465	6.3470	7.0912	7.6962	8.3041	8.9941	
15	0.4656	1.0345	1.7205	2.5464	3.2214	4.0288	4.9655	
18	0.9053	0.4093	0.1526	0.0356	0.0960	0.2604	0.7484	
21	5.2502	4.3654	3.3562	2.4632	1.6558	1.0917	0.5437	
24	8.1622	7.6370	6.9773	6.1588	5.5269	4.9327	3.8572	
27	7.4899	7.9392	8.1062	8.3806	8.2708	8.0760	7.6680	
30	3.3627	4.6130	5.6074	6.0828	7.0944	8.2400	8.7527	

↑  
tension

	29	30	31	32	33	34	35	← température
0	1.9278	2.6540	3.7148	4.6014	5.7344	6.3963	7.3108	
3	0.0900	0.0918	0.2342	0.4584	0.9491	1.6743	2.3472	
6	3.3239	2.4952	1.7726	1.1557	0.6305	0.1966	0.0514	
9	7.6412	6.9252	6.1494	5.4269	4.3537	3.4691	2.7128	
12	9.1777	9.3221	9.3224	9.1805	8.3887	8.1547	7.3415	
15	6.0906	6.8690	7.6100	7.9632	8.7149	9.0465	9.3885	
18	1.3412	1.8004	2.5298	3.6191	4.5548	5.3703	6.0219	
21	0.2109	0.0471	0.0850	0.2841	0.5291	0.9501	1.5751	
24	3.0750	2.3013	1.6267	1.0228	0.5471	0.2494	0.0542	
27	7.2555	6.6814	5.8987	5.2462	4.6564	3.6892	2.7386	
30	9.2441	9.5198	9.4151	9.5298	9.1242	8.6161	7.9535	

↑  
tension